

Viral Ateşlerin Tanısında Sağlık Bakanlığı Perspektifi ve Ülkemizde Son Beş Yılın Epidemiyolojisi

Uzm. Dr. Dilek Yağıçı Çağlayık
Türkiye Halk Sağlığı Kurumu
Ulusal Arbovirus ve Viral Zoonotik Hastalıklar Ünitesi

5. Türkiye EKMUD Kongresi, 21-25 Mayıs 2014, Antalya

Kurum Başkanı

Hukuk Müşavirliği

Strateji Geliştirme DB.

Denetim Hizmetleri DB.

Birinci Basamak Sağlık
Hizmetleri
Başkan Yardımcılığı

Bulaşıcı Hastalıklar
Kontrol Programları
Başkan Yardımcılığı

Bulaşıcı Olsayan Hastalıklar
Programları ve Kanser
Başkan Yardımcılığı

Tüketiciler ve Çalışan
Güvenliği
Başkan Yardımcılığı

Destek Hizmetleri
Başkan Yardımcılığı

Aile Hekimliği
Uygulama DB.

Erken Uyarı-Cevap ve
Saha Epidemiyolojisi DB.

Tütün ve Diğer Bağımlılık
Yapıcı Maddelerin
Mücadele DB.

Çalışan Sağlığı ve
Güvenliği DB.

Atama DB.

Aile Hekimliği İzleme ve
Değerlendirme DB.

Bulaşıcı Hastalıklar DB.

Kanser DB.

Cevre Sağlığı DB.

Öztük İşlen DB.

Aile Hekimliği Eğitim ve
Geliştirme DB.

Aşı ile Önlenebilir
Hastalıklar DB.

Ruh Sağlığı
Programları DB.

Tüketiciler Cüventiliği
Laboratuvarları DB.

Döner Sermaye
Yönetimi DB.

Toplum Sağlığı
Hizmetleri DB.

Zoonotik ve Vektörel
Hastalıklar DB.

Obezite, Diyabet ve
Metabolik
Hastalıklar DB.

Hafta Sağlığı
Laboratuvarları DB.

Satınalma ve İdari İşler DB.

Birinci Basamak Sağlık
Kuruluşları Planlama
ve Organizasyon DB.

Tüberküloz DB.

Kronik Hastalıklar, Yaşı
Sağlığı ve Özürtüler DB.

Biyolojik Ürünler
Araştırma ve
Geliştirme DB.

Istatistik ve Bilgi İşlem DB.

Mikrobiyoloji Referans
Laboratuvarları DB.

Kadın ve Üreme
Sağlığı DB.

Çocuk ve Ergen
Sağlığı DB.

1-Viral Ateş Tanımı ve Etiyolojisi

Viral ateşler;

- Arbovirus (artropod kaynaklı), robovirus (rodent kaynaklı) ve diğer zoonotik virusların neden olduğu (yarasa, maymun)
- Anı başlangıçlı, multisistemik ve ölümcül seyirli olabilen hastalıklardır.
- Etkenler, RNA virusudur.
- Farklı coğrafi bölgelerde; farklı vektörlerin taşıması nedeniyle farklı etkenler fakat benzer klinik özellikler izlenmektedir.

Sunum Planı

- 1-Viral ateş tanımı ve etiyolojisi
- 2-Tanı yöntemleri ve algoritmalar
- 3-Son beş yılın vaka verileri
- 4-Tanısal kapasiteyi ve kaliteyi arttırmaya yönelik yapılanlar ve hedefler

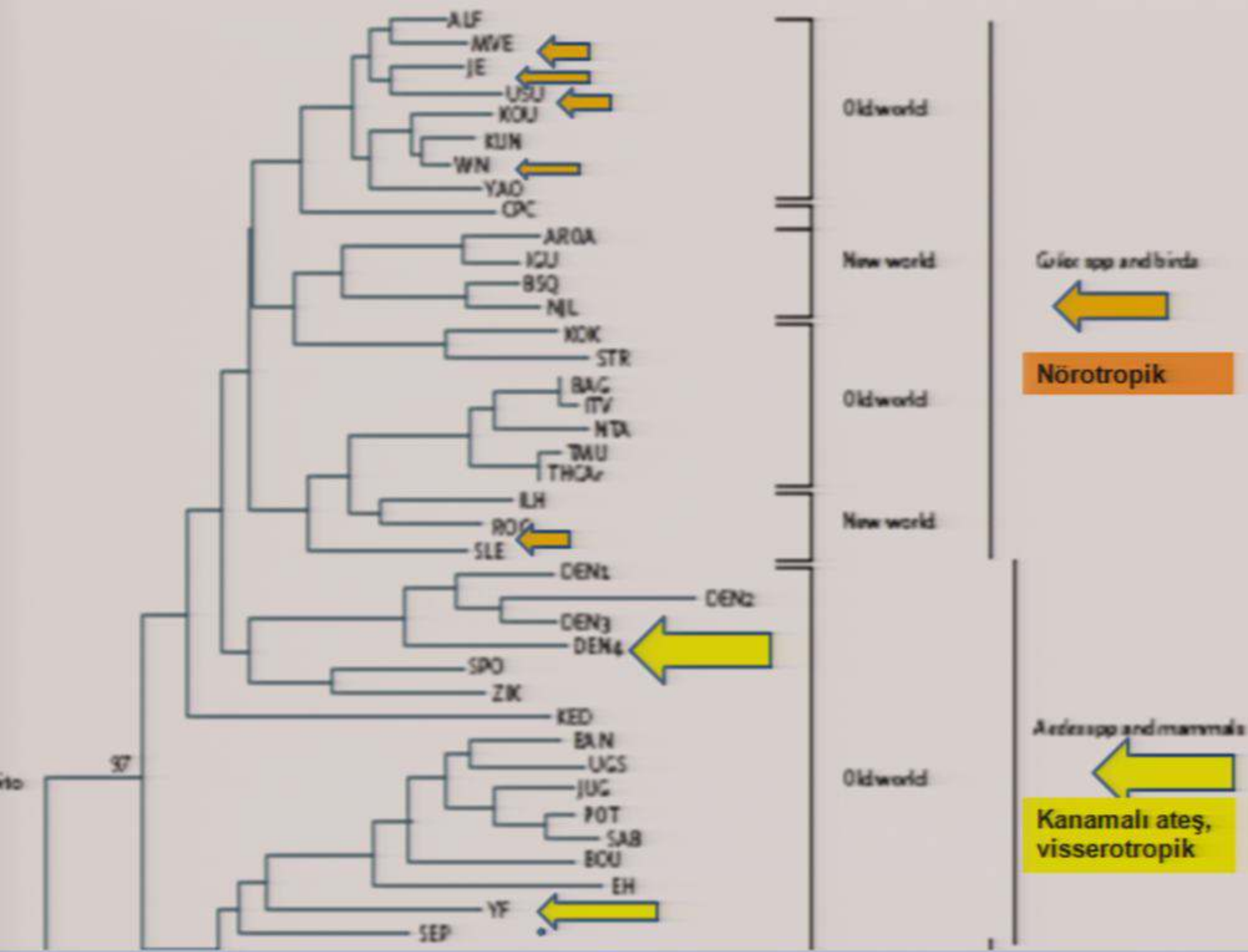
1-Viral Ateş Tanımı ve Etiyolojisi

Viral ateşler;

- Arbovirus (artropod kaynaklı), robovirus (rodent kaynaklı) ve diğer zoonotik virusların neden olduğu (yarasa, maymun)
- Anı başlangıcı, multisistemik ve ölümcül seyirli olabilen hastalıklardır.
- Etkenler, RNA virusudur.
- Farklı coğrafi bölgelerde; farklı vektörlerin taşıması nedeniyle farklı etkenler fakat benzer klinik özellikler izlenmektedir.

AİLE	CİNS	TÜR	COĞRAFİ DAĞILIM	VEKTÖR
<i>Bunyaviridae</i>	<i>Ortobunyavirus</i>	<ul style="list-style-type: none"> Kaliforniya ensefalit virusu Oropouche ateşi 	Amerika	<i>Aedes triseriatus</i> 
	<i>Nairovirus</i>	KKKAV	Asya, Afrika, Doğu Avrupa	
	<i>Phlebovirus</i>	<ul style="list-style-type: none"> Rift Vadisi Ateşi Virusu Tatarcık humması virusu 	Afrika, Asya Akdeniz havzası	<i>Phlebotomus (tatarcık)</i> 
	<i>Hantavirus</i>	Puumala , Hantaan Dobrova , Seoul Sin Nombre , Andes, Tula	Avrupa, Amerika	<i>Myodes glareolus</i> , (NE)  <i>Apodemus flavicollis</i> (RSKA) 

AİLE	CİNS	TÜR	COĞRAFİ DAĞILIM	VEKTÖR
Flaviviridae	Flavivirus (Sivrisinek kaynaklı)	Japon ensefaliti virus grubu (Batı Nil virusu, Murray vadisi ensefalit virusu, Usutu virus, JEV)	Asya-Afrika-Avrupa, Avustralya, Afrika-Avrupa, Asya	Culex spp. <i>Ochleratatus caspius</i> 
	Nörotropik, rezervuar kuşlar	Spondweni virus grubu (Zika virus)	Afrika, Asya	<i>Aedes spp.</i> 
	Visserotropik, kanamalı ateş, rezervuar maymun ve insan	Sarı humma virus grubu (Sarı humma virusu, Sepik virus) Deng virusu	Sahra altı Afrika ve Güney Amerika, Yeni Gine Tropik ve subtropik yerler	<i>Aedes spp.</i> <i>Aedes aegypti</i> <i>Aedes albopictus</i> 
	Rezervuar kemiriciler	Kene Kaynaklı Ensefalit virusu (TBE)	Avrupa, Asya	<i>Ixodes ricinus</i> , <i>Ixodes persulcatus</i>  
		Omsk kanamalı ateşi virusu	Batı Sibirya	<i>Dermacentor</i> 
		Kyasanur ormanı hastalığı virusu, Alkhurma virusu	Hindistan, Suudi Arabistan	<i>Haemaphysalis</i> 



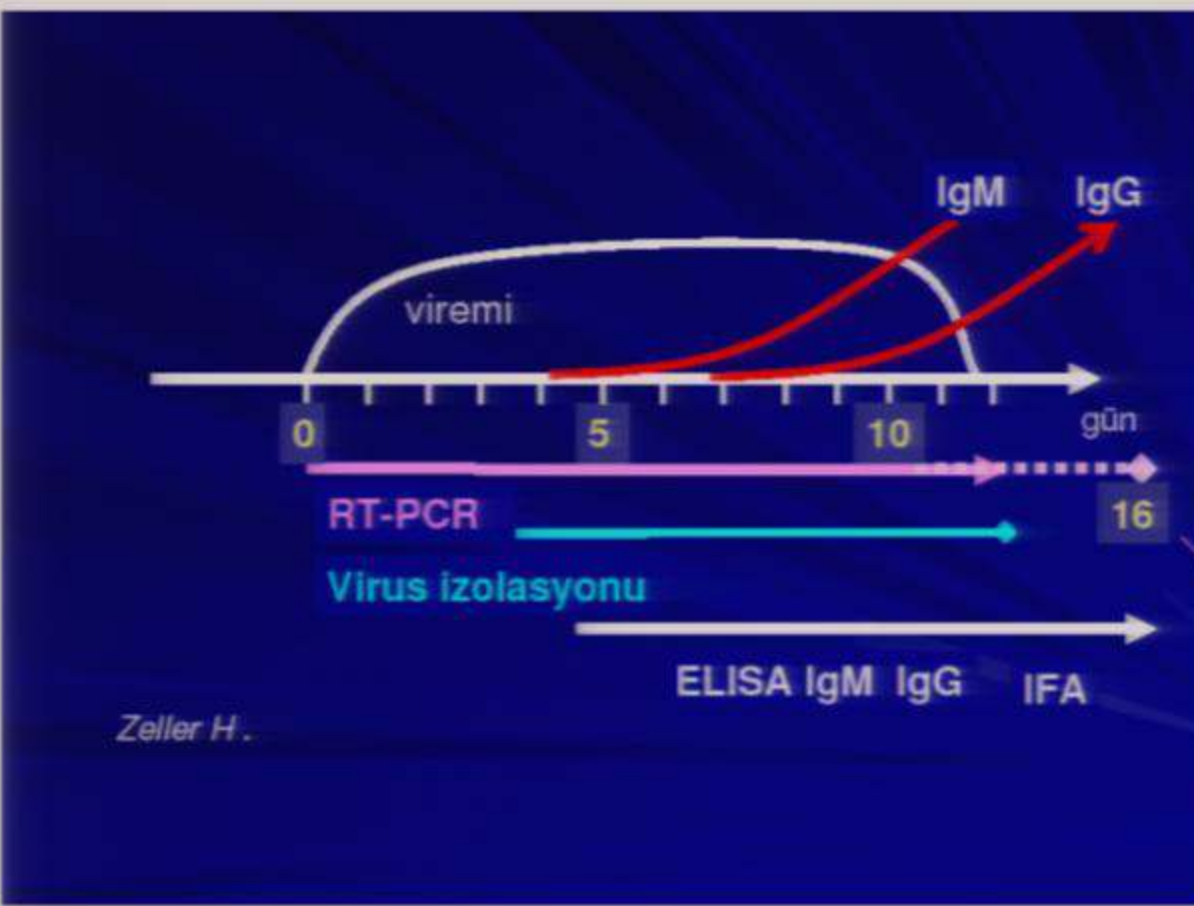
AİLE	CİNS	TÜR	COĞRAFİ DAĞILIM	VEKTÖR
<i>Togaviridae</i>	<i>Alphavirus</i>	<i>Chikungunya virus</i>	Güneydoğu Asya, Afrika	Aedes spp.
		<i>Sindbis virus</i>	Kuzey Avrupa, Avustralya, Çin, Güney Afrika	Culex spp.
<i>Arenaviridae</i>	<i>Arenavirus</i>	Lenfositik koryomenenjit virus	Avrupa, Amerika, Avustralya, Japonya	Ev faresi
		Lassa virus	Batı Afrika	Sığan
<i>Filoviridae</i>		Ebolavirus	Batı Afrika (Liberya, Gine, S. Leone)	Yarasa
		Marburgvirus	Kenya, Uganda, Angola	Maymun

2-Tanı yöntemleri

Tanısı konabilen arboviral etkenler;

1. KKKA
2. Hantavirus
3. Tatarcık humması
4. Batı Nil virusu
5. Kene kaynaklı ensefalit virusu
6. Japon Ensefaliti virusu
7. Sarı humma virusu
8. Deng ateşi virusu
9. Chikungunya virusu

Kırmızı Kongo Kanamalı Ateşi Virüsü Tanı Algoritması



İlk örnekte rRT-PCR

rRT-PCR
negatif



IgM

rRT-PCR
pozitif (806 vaka)

İkinci örnekte IgM (104 vaka)

İstenildiğinde (adli
vaka vb. gibi) IgG

Kırmızı Kongo Kanamalı Ateşi Virüsü Tanı Algoritması-2

rRT-PCR (gerçek zamanlı ters transkriptaz polimeraz zincir reaksiyonu)

- Ticari Kit(Kantitatif)
- *in-house* (Yapar et-al, HPA Protokoller-Kalitatif)

Serolojik Testler (IgM,IgG)

- ELISA (CDC protokolü)
- IFA (Ticari)

2- Tanı yöntemleri

CDC ELISA protokolü;

- Tüm dünyada referans yöntem olarak kabul edilmektedir.
- Capture ELISA (sandviç/tuzak ELISA)..özgüllüğü yüksek

-antihuman IgM(kaplama-1 gece)

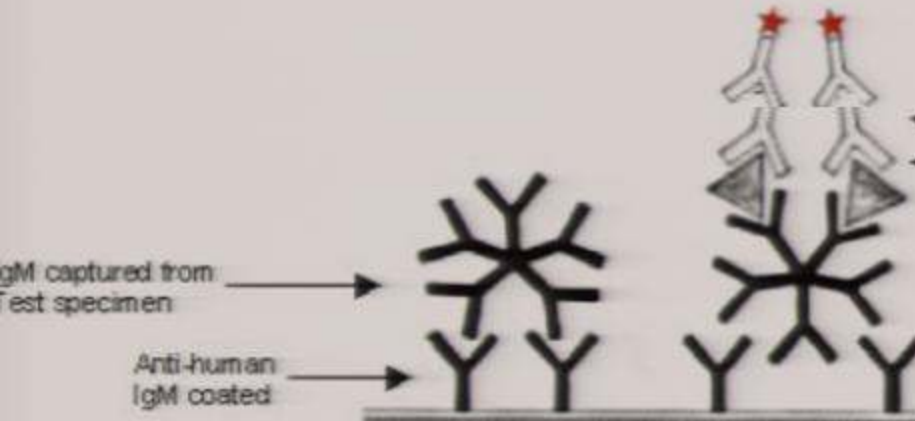
-hasta örneği (IgM)

-KKKA Antijeni (Pozitif ve negatif)

-HMAF (Hiperimmun mouse ascitic fluid)

-Konjugat (Antimouse IgM-HRP)

-Substrat



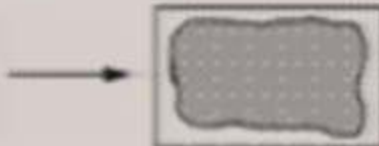
	1	2	3	4	5	6	7	8	9	10	11	12
A	0.111	SMPIE	SMPIE	0.077	0.065	SMPIE	0.048	0.048	0.074	0.054	0.038	0.038
B	0.098	SMPIE	SMPIE	0.111	0.043	SMPIE	0.052	0.048	0.057	0.057	0.057	0.057
C	SMPIE	SMPIE	SMPIE	0.077	0.054	SMPIE	0.052	0.049	0.074	0.054	0.049	0.049
D	0.093	SMPIE	SMPIE	0.111	0.049	SMPIE	0.052	0.052	0.074	0.054	0.054	0.054
E	SMPIE	SMPIE	SMPIE	0.111	0.049	SMPIE	0.052	0.052	0.074	0.054	0.054	0.054
F	0.098	SMPIE	SMPIE	0.111	0.049	SMPIE	0.052	0.052	0.074	0.054	0.054	0.054
G	SMPIE	SMPIE	SMPIE	0.111	0.049	SMPIE	0.052	0.052	0.074	0.054	0.054	0.054
H	SMPIE	SMPIE	SMPIE	0.111	0.049	SMPIE	0.052	0.052	0.074	0.054	0.054	0.054



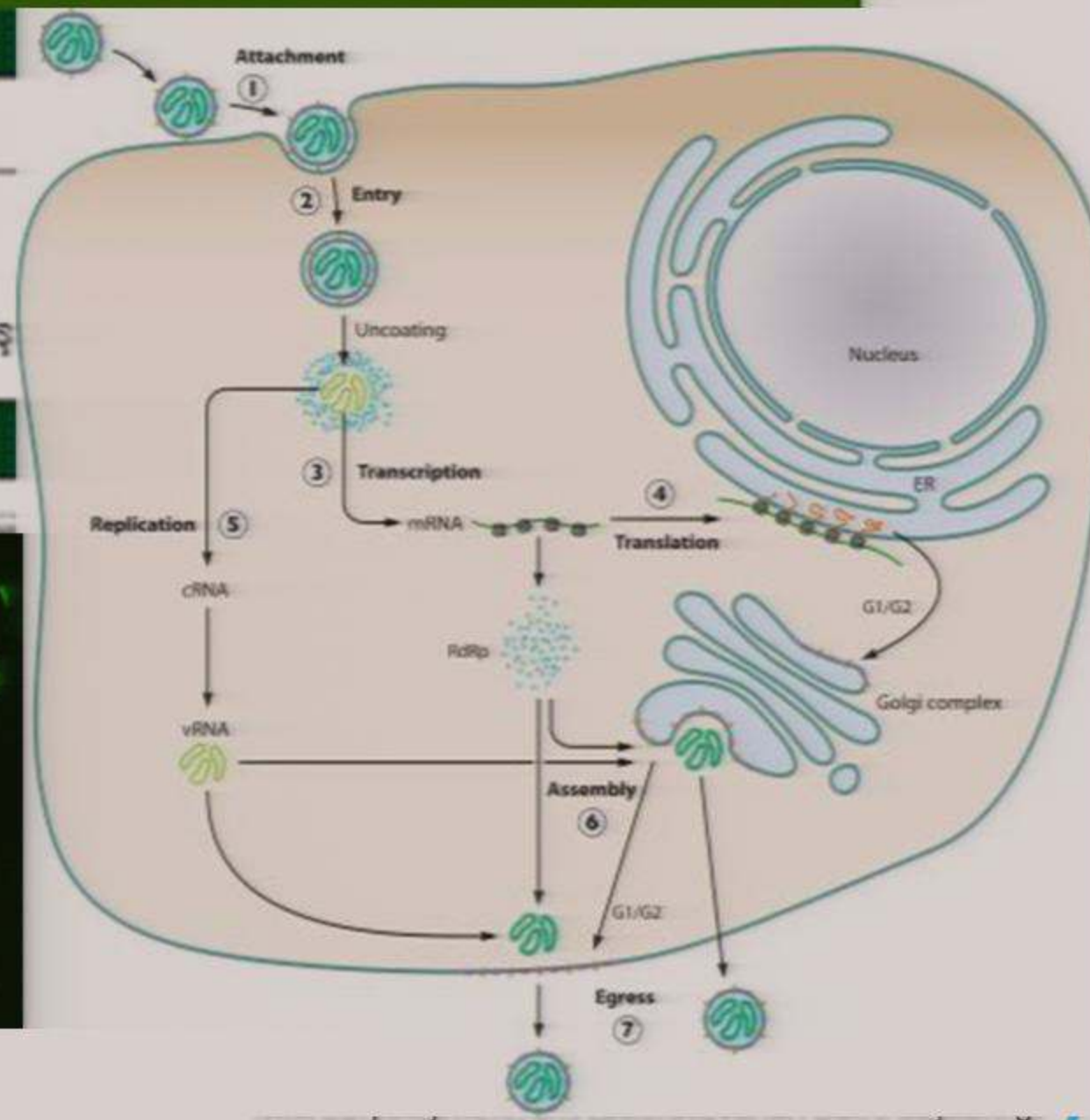
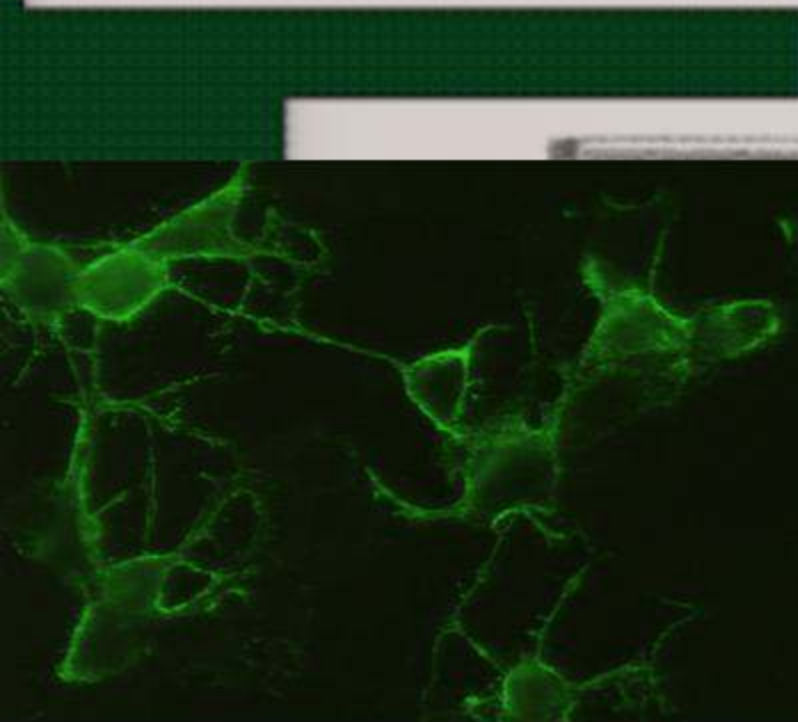
2- Tanı yöntemleri



doku kesit



doku kesiti cam
slaytlara sabitlenm iş



2- Tanı yöntemleri

Ticari IFA sisteminin referans yöntem ELISA'ya göre duyarlılık ve özgüllüğü

Table 4. Overall performance of assays compared in study of CCHF diagnostic tools

Parameter	IgM serology		IgG serology		Genome detection	
	ELISA	IFA	ELISA	IFA	qRT-PCR	LCD array
No. samples tested	138	90	137	92	71	70
No. true positive	43	31	41	31	39	40
No. false negative	6	2	10	5	10	8
No. true negative	88	57	86	56	21	21
No. false positive	1	0	0	0	1	1
Sensitivity, % (95% CI)	87.8 (75.2–95.3)	93.9 (79.8–99.3)	80.4 (66.9–90.2)	86.1 (70.5–95.3)	79.6 (65.7–89.8)	83.3 (69.8–92.5)
Specificity, % (95% CI)	98.9 (93.9–100.0)	100.0 (93.7–100.0)†	100.0 (95.8–100.0)	100.0 (93.6–100.0)	95.5 (77.2–99.9)	95.5 (77.2–99.9)

*CCHF, Crimean-Congo hemorrhagic fever; IFA, immunofluorescent assay; qRT-PCR, quantitative reverse transcription PCR; LCD, low-cost, low-density.

†One-sided 95% CI.

to 100.0%, with an overall sensitivity of 80.4% (95% CI 69.5%–91.3%). For the IgG IFA, sensitivity ranged from 40.0% to 100.0%, with an overall sensitivity of 86.1% (95% CI 74.8%–97.4%). Specificity was estimated to be 100% for both assays (Table 4).

the requirement for specific technical training (0.3/1). The observed scores for molecular tests were within the same range (6.0–6.3/10). Both molecular assays demonstrated low scores for technical complexity (1.3–1.5/2) and training requirements for equipment and technique (0.3–0.5/1).

2- Tanı yöntemleri

- ISO 15189 Akreditasyon çalışmaları**

(Uygunluğun ve geçerliliğin uluslararası bilimsel kriterlere göre kanıtlanması çalışması)

KKKA rRT-PCR Metod Validasyon

(Yöntem geçerlilik) testleri gerçekleştirildi.

1. Doğruluk çalışması
2. Tekrarlanabilirlik çalışması
3. Özgüllük çalışması
4. Analitik duyarlılık çalışması

QUALITY
CONTROL

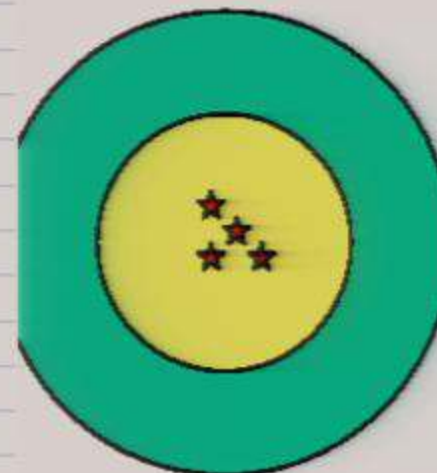


1-Doğruluk çalışması

- Referans materyal oluşturuldu.
 - Serum havuzu (13 örnekten 5 paket)
 - Ankara(AVZHÜ)
 - Erzurum
 - Samsun
- Dört (4) ayrı çalışma ile 13 örneğin sonucuyla ilgili olarak konsensusa varıldı.
- Doğruluk %100

2-Tekrarlanabilirlik çalışması (%CV) intra ve interassay (çalışma içi ve çalışmalar arası)

A	B	C	D	E	F	G	H	I	J	K	L	M	N
Referans Materyal (LAK Yeterlilik örnekleri): ct=19-20-21 olan yaklaşık 20 Pozitif hasta serumu+Dilusyonlar için KKKA PCR neg gönüllü sağlıklı serumu (17 Haziran 2013)													
Analist: Nilgün Gökalp													
Ref. Mat. No: Bulunan değer	Doğruluk %100				Doğruluk %100								
	17.6.2013 (1)	18.6.2013 (1)	18.6.2013 (2)										
1.	7,78E+06	8,51E+06	8,93E+06										
		8,22E+06											
			9,52E+06										
2.	6,28E+05												
3.	1,18E+05												
4.	1,24E+04	1,90E+04	5,99E+03										
		2,04E+04											
			1,31E+04										
(3X1/2)5	4,52E+04												
(3X1/4)6	4,03E+04												
(3X1/8)7	1,73E+04												
(1X1/2)8	2,95E+06												
(1X1/4)9	2,10E+06												
(1X1/8)10	9,50E+05												
11.	Negatif												
12.	Negatif												
13.	Negatif												



YP; %6

DP; %20

3-Özgüllük çalışması

No	Yılı	Lab Protokol	Hasta adı	Pozitiflik	matrix	KKKA-PCR
1	2013		864 H.B.	HBV	plazma	negatif
2	2013		865 A.Ç.	HBV	plazma	negatif
3	2013		866 H.E.	HBV	plazma	negatif
4	2013		867 M.S.	HBV	plazma	negatif
5	2013		868 N.E.	HBV	plazma	negatif
6	2013		191 N.K.	HCV	plazma	negatif
7	2013		192 S.I.	HCV	plazma	negatif
8	2013		195 S.E.	HCV	plazma	negatif
9	2013		201 M.G.	HCV	plazma	negatif
10	2013		227 M.A.B.	HCV	plazma	negatif
11	2013		115 H.K.	HIV	plazma	negatif
12	2013		169 K.İ.	HIV	plazma	negatif
13	2013		173 PAALYU	HIV	plazma	negatif
14	2013		216 N.D.	HIV	plazma	negatif
15	2013		229 Z.K.	HIV	plazma	negatif
16	2013		Ü.	SFV	serum	negatif
17	2013		U.	SFV	serum	negatif
18	2013	3179	İtir Beril Y	Kızamık	Tam kan	negatif
19	2013		Rega	Coxiella	Tam kan	negatif
20	2013			Coxiella	Tam kan	negatif
21	2013			Brucella	Tam kan	negatif

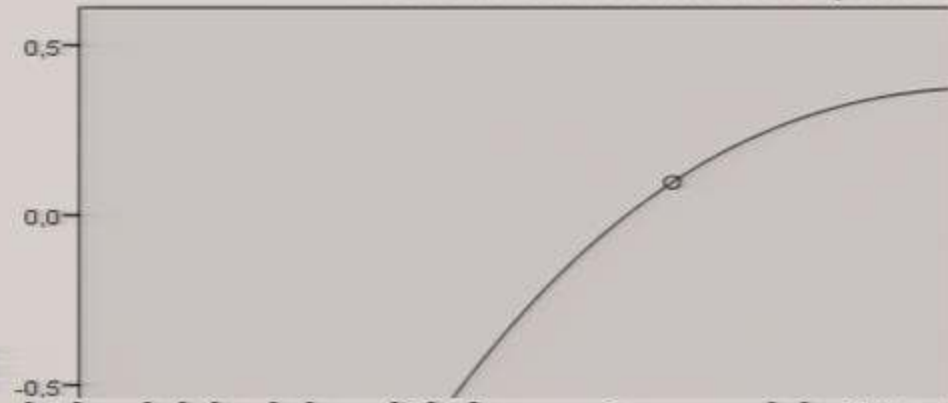
Özgüllük %100

4-Analitik Duyarlılık çalışması

referans Mat: 4 numaralı ref. Mat.serumun 1/2'lik 8 dilusyonu

predicted viral copy/ml	Örni	Çalışma içi-18.06.2013(1)	Çalışmalar arası18.06.2013(2)-19.06.2013(1,2,3)-20.06.2013(1,2,3)-21.06.2013(1,2,3*100mcl*)
11.800	4-0	1,66E+04	1,11E+04
5900	4-1	2,16E+03	5,18E+03
2950	4-2	1,39E+03	9,61E+02
1475	4-3	1,46E+03	4,28E+01
737	4-4	2,79E+02	1,15E+03
368	4-5	Negatif	Negatif
184	4-6	Negatif	Negatif
92	4-7	Negatif	Negatif
46	4-8	Negatif	Negatif
550		1131,479	887,261
600		1214,836	958,202
650		1300,992	1029,333
700		1391,787	1102,424
750		1489,769	1179,641
800		1598,877	1264,077
850		1726,056	1360,945
900		1886,076	1481,093
910		1924,725	1509,886
920		1966,713	1541,081
930		2012,880	1575,290
940		2064,442	1613,390
950		2123,249	1656,722
960		2192,339	1707,483
970		2277,277	1769,694
980		2390,187	1852,107
990		2568,147	1981,463

Probit Transformed Response



LOD(SS)mızı bulmak için dokuz (9) konsantrasyon için 13 çalışma yaptık.

%95 GA'da %95 olasılıkla ile saptama alt sınırımızın 1656 kopya/ml olduğunu gördük.

PCR ile saptama alt sınırı yüksek tespit edildiğinden, PCR negatif hastalarda tanısal algoritمامızına göre mutlaka IgM testi yapıyoruz.

	Method validation of a Crimean-Congo haemorrhagic fever real-time RT-PCR assay	24th ECCMID Barcelona, Spain 10 – 13 May 2014
Programme No:	R314	
Speaker:	Dilek Yagci Caglayik	
Author(s):	Yagci Caglayik D.; Menemenlioglu D.; Uyar Y.; Korukoglu G.; Ozutuk A.	
Affiliation(s):	National Arbovirus and Viral Zoonoses Reference and Research Laboratory, Public Health Institute of Turkey (Ankara, Turkey); Medical Microbiology, Istanbul University Cerrahpasa Medical Faculty (Istanbul, Turkey); Virology, Public Health Institute of Turkey (Ankara, Turkey); Microbiology and Clinical Microbiology, Dokuz Eylul University Faculty of Medicine (Izmir, Turkey)	
Subtopic:	Molecular biology, including diagnostics: Molecular virology	
Topic:	Publication Only	

Objectives

The aim of this study was to reveal the analytical performance features of a commercially available Altona marked Research Use Only qualitative Crimean Congo hemorrhagic fever virus (CCHFV) real time Reverse Transcription Polymerase Chain reaction (rt RT-PCR) test (Altona Diagnostics RealStar® CCHFV RT-PCR Kit 1.2, Germany).

Methods

In order to have a consensus reference material as no other means were achievable at that moment, 10 positive (low and high positive) and 3 negative serum pool samples were sent to two regional laboratories that are officially responsible from CCHFV diagnosis in Turkey and evaluated and confirmed for the results with PCR before the validation tests. Positive sera pools were prepared from 14 PCR positive patient sera and negative sera. Sera for dilutions were prepared from PCR negative CCHFV sera. All of the sera samples tested by three laboratories with PCR were found to be the same in this interlaboratory comparison hence the samples were accepted as reference material.

Validation experiments were performed to validate accuracy, precision, specificity and analytical sensitivity. Accuracy was determined with 3 positive, 3 low positive and 3 negative sera. For intra and interassay precision detections 1 positive and 1 low positive sera were used for each. Specificity was tested with 21 CCHFV-PCR negative but 5 HepatitisB, 5 HepatitisC, 5 HIV, 2 Sandfly fever virus, 2 Coxiella burnetii, 1 Brucella spp., 1 Measles PCR positive blood samples. Analytical sensitivity, also called limit of detection (LOD) test was done with serial 2 fold dilutions of known low positive reference material.

Probit model analysis (SPSS version 20) was used to detect the lowest viral copy that is positive in the 95% of the tests performed.

Results

Accuracy was detected as 100% with 13 reference sera samples. As CV% (coefficient of variance) values; Interassay precision was detected as 6.9% for high positive samples and 23% for low positive samples. Intraassay precision was 8.41% and 22.1% for high and low positive samples, respectively. Specificity was found to be 100%; neither bacterial nor viral pathogens showed positivity for CCHFV. According to the probit model the limit of detection for this assay was 2123 copies/ml.

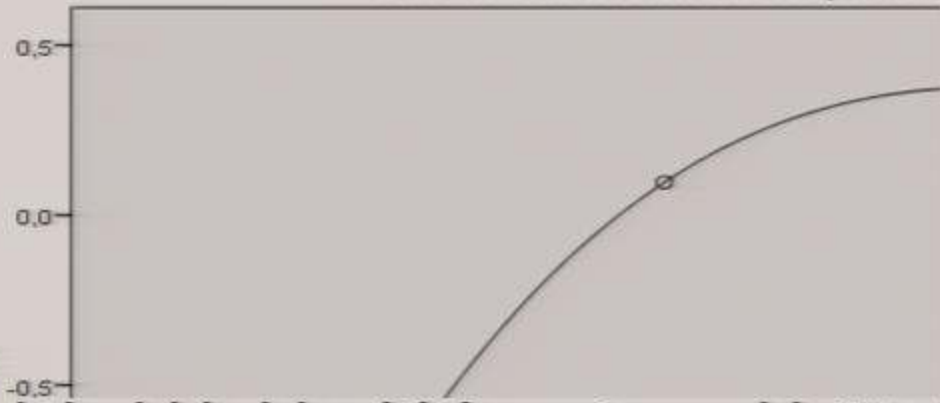
ISO 15189 belgesinin Analitik süreç ile ilgili gereklilikleri uyarınca; kullandığımız moleküller yöntem için uygunluk ve geçerliliği uluslararası bilimsel kriterlere göre kanıtlamış olduk.

4-Analitik Duyarlılık çalışması

referans Mat: 4 numaralı ref. Mat.serumun 1/2'lik 8 dilusyonu

predicted viral copy/ml	Örni	Çalışma içi-18.06.2013(1)	Çalışmalar arası18.06.2013(2)-19.06.2013(1,2,3)-20.06.2013(1,2,3)-21.06.2013(1,2,3*100mcf*)
11.800	4-0	1,66E+04	1,11E+04
5900	4-1	2,16E+03	5,18E+03
2950	4-2	1,39E+03	9,61E+02
1475	4-3	1,46E+03	4,28E+01
737	4-4	2,79E+02	1,15E+03
368	4-5	Negatif	Negatif
184	4-6	Negatif	Negatif
92	4-7	Negatif	Negatif
46	4-8	Negatif	Negatif
550		1131,479	887,261
600		1214,836	958,202
650		1300,992	1029,333
700		1391,787	1102,424
750		1489,769	1179,641
800		1598,877	1264,077
850		1726,056	1360,945
900		1886,076	1481,093
910		1924,725	1509,886
920		1966,713	1541,081
930		2012,880	1575,290
940		2064,442	1613,390
950		2123,249	1656,722
960		2192,339	1707,483
970		2277,277	1769,694
980		2390,187	1852,107
990		2568,147	1981,463

Probit Transformed Response



LOD(SS)mızı bulmak için dokuz (9) konsantrasyon için 13 çalışma yaptıktı.

%95 GA'da %95 olasılıkla ile saptama alt sınırımızın 1656 kopya/ml olduğunu gördük.

PCR ile saptama alt sınırı yüksek tespit edildiğinden, PCR negatif hastalarda tanışal algoritmamıza göre mutlaka IgM testi yapıyoruz.

title	Method validation of a Crimean-Congo haemorrhagic fever real-time RT-PCR assay	
Programme No:	R314	24th ECCMID
Speaker:	Dilek Yagci Caglayik	Barcelona, Spain 10 – 13 May 2014
Author(s):	Yagci Caglayik D.; Menemenlioglu D.; Uyar Y.; Korukoglu G.; Ozutuk A.	 ESCMID EUROPEAN SOCIETY OF CLINICAL MICROBIOLOGY AND INFECTIOUS DISEASES
Affiliation(s):	National Arbovirus and Viral Zoonoses Reference and Research Laboratory, Public Health Institute of Turkey (Ankara, Turkey); Medical Microbiology, Istanbul University Cerrahpasa Medical Faculty (Istanbul, Turkey); Virology, Public Health Institute of Turkey (Ankara, Turkey); Microbiology and Clinical Microbiology, Dokuz Eylul University Faculty of Medicine (Izmir, Turkey)	
Subtopic:	Molecular biology, including diagnostics: Molecular virology	
Topic:	Publication Only	

Objectives

The aim of this study was to reveal the analytical performance features of a commercially available Altona marked Research Use Only qualitative Crimean Congo hemorrhagic fever virus (CCHFV) real time Reverse Transcription Polymerase Chain reaction (rt RT-PCR) test (Altona Diagnostics RealStar® CCHFV RT-PCR Kit 1.2, Germany).

Methods

In order to have a consensus reference material as no other means were achievable at that moment, 10 positive (low and high positive) and 3 negative serum pool samples were sent to two regional laboratories that are officially responsible from CCHFV diagnosis in Turkey and evaluated and confirmed for the results with PCR before the validation tests. Positive sera pools were prepared from 14 PCR positive patient sera and negative sera. Sera for dilutions were prepared from PCR negative CCHFV sera. All of the sera samples tested by three laboratories with PCR were found to be the same in this interlaboratory comparison hence the samples were accepted as reference material.

Validation experiments were performed to validate accuracy, precision, specificity and analytical sensitivity. Accuracy was determined with 3 positive, 3 low positive and 3 negative sera. For intra and interassay precision detections 1 positive and 1 low positive sera were used for each. Specificity was tested with 21 CCHFV-PCR negative but 5 HepatitisB, 5 HepatitisC, 5 HIV, 2 Sandfly fever virus, 2 Coxiella burnetii, 1 Brucella spp., 1 Measles PCR positive blood samples. Analytical sensitivity, also called limit of detection (LOD) test was done with serial 2 fold dilutions of known low positive reference material.

Probit model analysis (SPSS version 20) was used to detect the lowest viral copy that is positive in the 95% of the tests performed.

Results

Accuracy was detected as 100% with 13 reference sera samples. As CV% (coefficient of variance) values; Interassay precision was detected as 6.9% for high positive samples and 23% for low positive samples. Intraassay precision was 8.41% and 22.1% for high and low positive samples, respectively. Specificity was found to be 100%; neither bacterial nor viral pathogens showed positivity for CCHFV. According to the probit model the limit of detection for this assay was 2123 copies/ml.

ISO 15189 belgesinin Analitik süreç ile ilgili gereklilikleri uyarınca; kullandığımız moleküler yöntem için uygunluk ve geçerliliği uluslararası arası bilimsel kriterlere göre kanıtlamış olduk.



Hantavirus Tanısı

RT-PCR (Standart ters transkriptaz polimeraz zincir reaksiyonu)

- *in-house* (Laboratuvar yapımı)-idrar!

Serolojik Testler (IgM, IgG)

- ELISA (Ticari)—yalancı pozitiflik, negatiflik
- IFA (Ticari)
- Immunblot (Ticari)

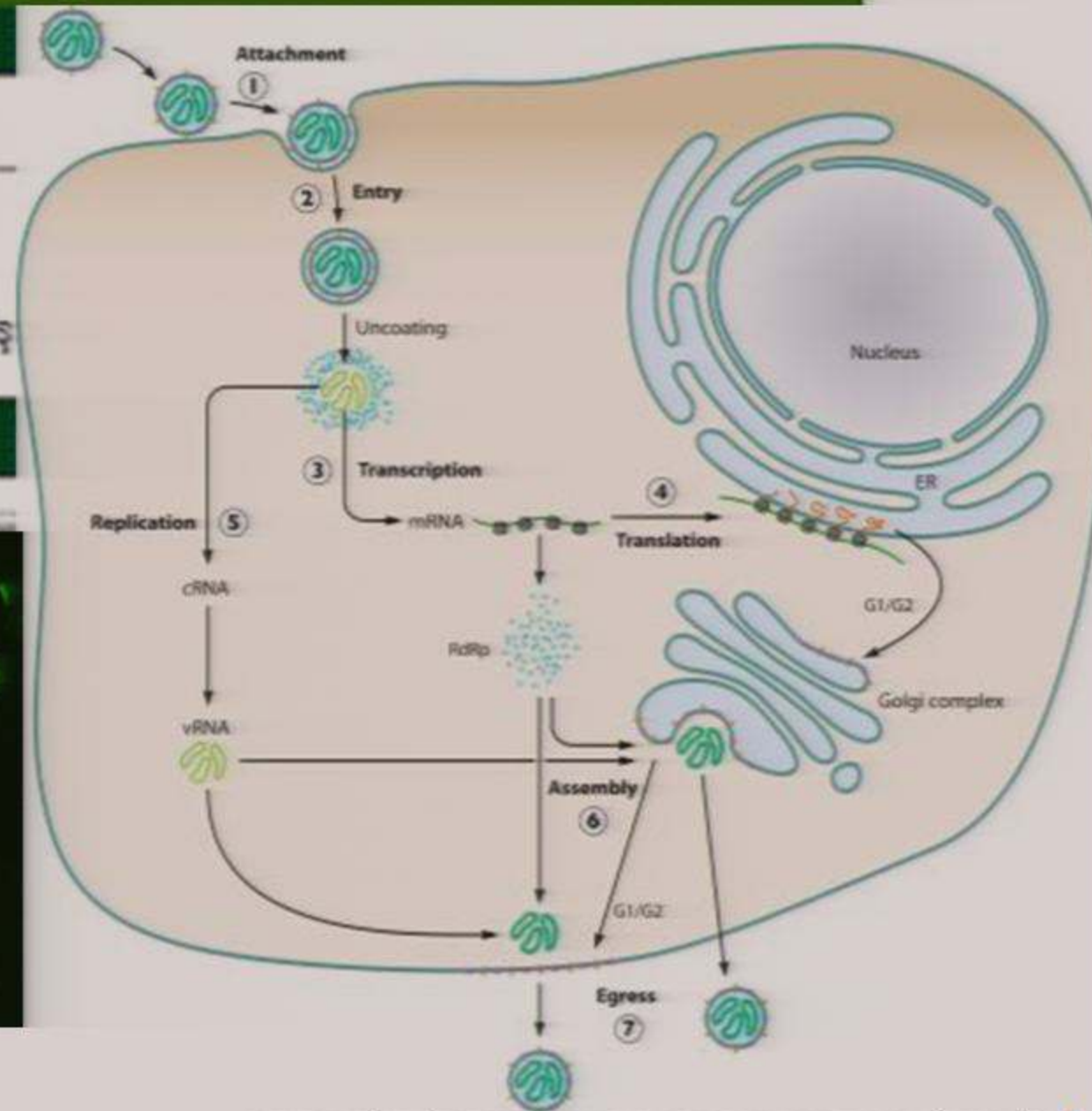
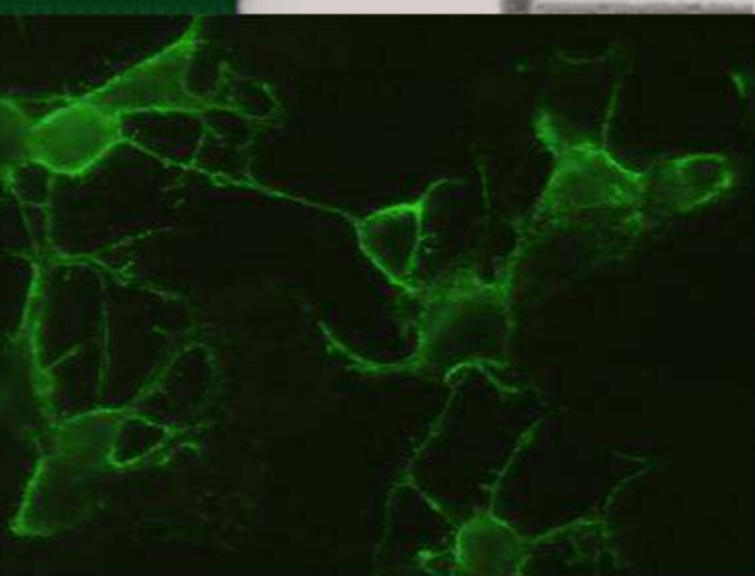
2- Tanı yöntemleri



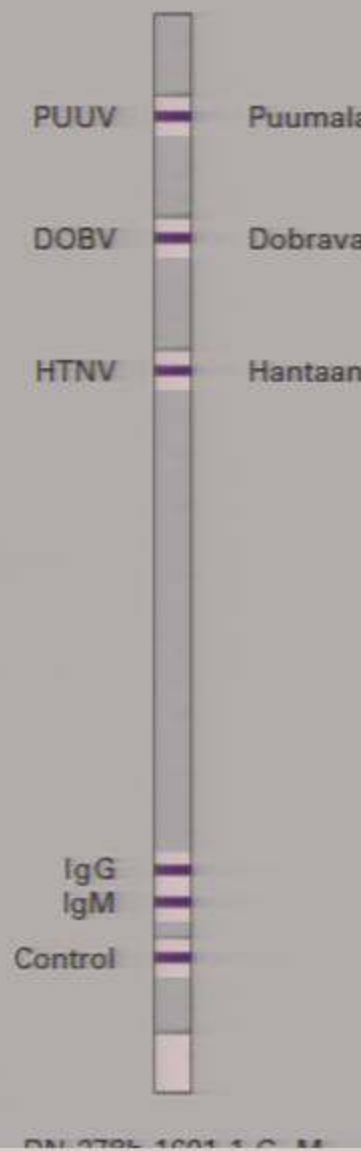
doku kesit



doku kesiti cam
slaytlara sabitlenm iş



Antigen combination



öntemleri

- Nükleokapsid antijenlerine karşı oluşan antikorlar yakalanıyor.

Tatarcık Humması Tanısı

rRT-PCR

- *in-house* (Laboratuvar yapımı)
- SFTurkeyV,SFSV,SFToscV,SFNV

Serolojik Testler (IgM, IgG)

- IFA (Ticari)

Batı Nil Virüsü Tanı Algoritması

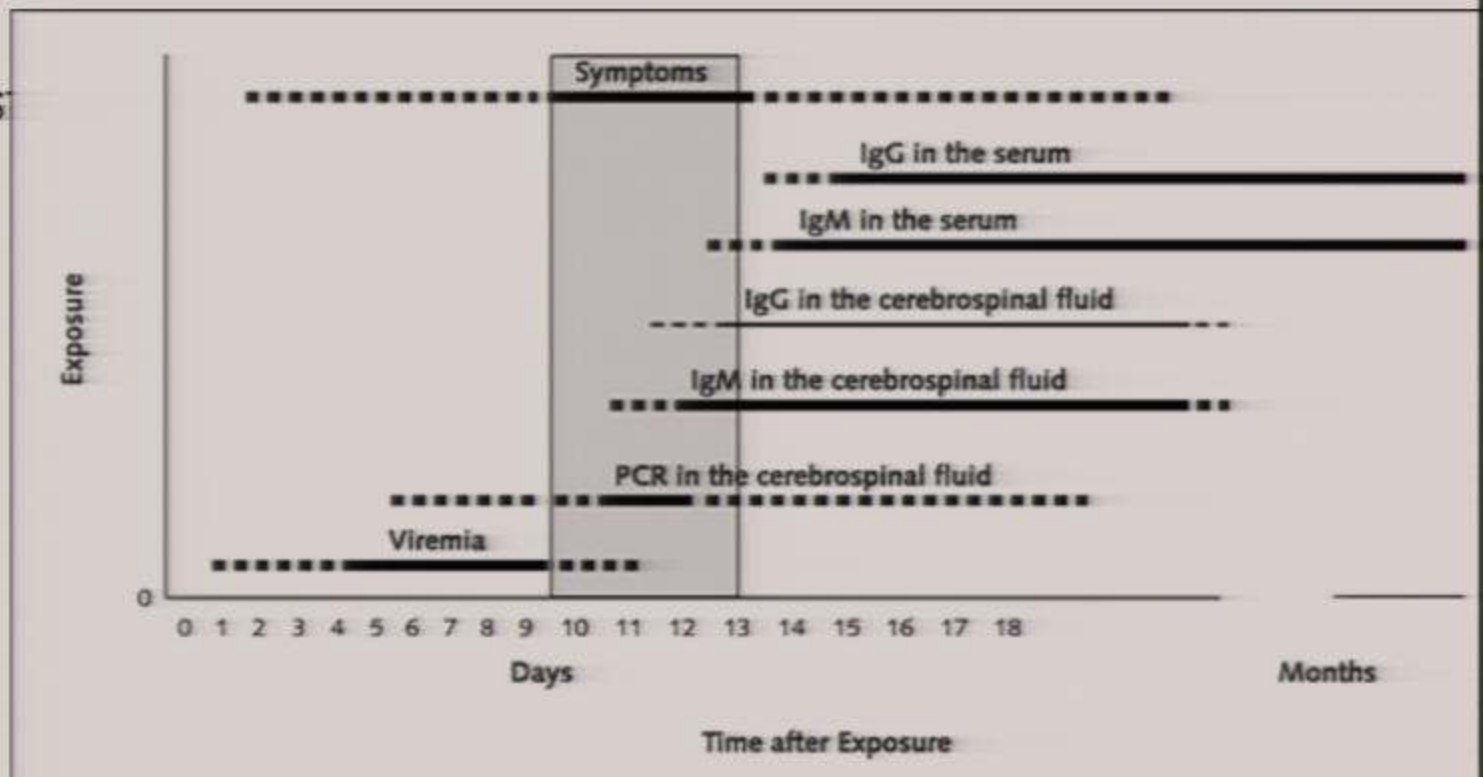
rRT-PCR (BOS, Serum ve İDRAR!)

- Ticari Kit(Kantitatif)
- *in-house* (Ozkul A et-al)

Serojistik Testler (IgM,IgG)

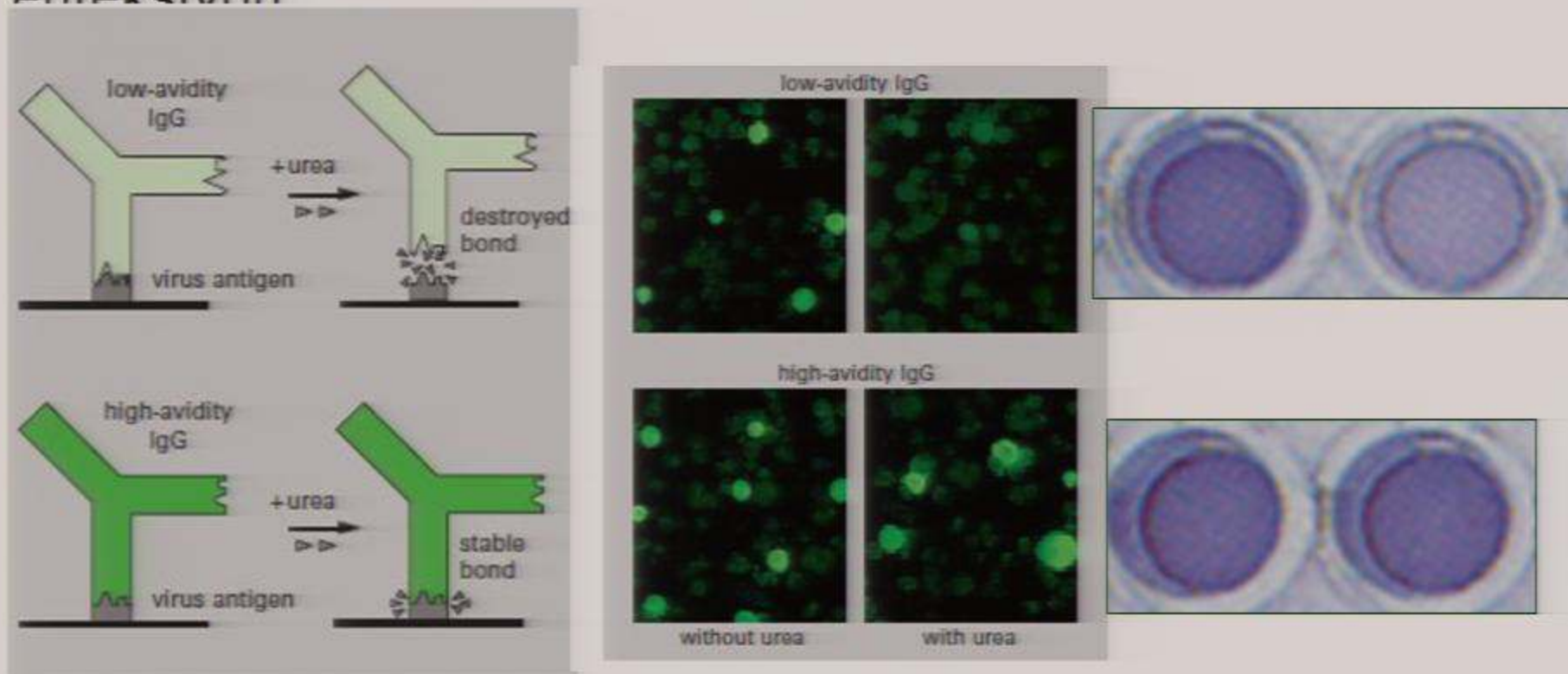
- ELISA (Ticari)
- IFA (Ticari)
- Avidite testi
- Nötralizasyon testi

Ann Intern Med. 2004;140(7):545-55



BNV Avidite testi

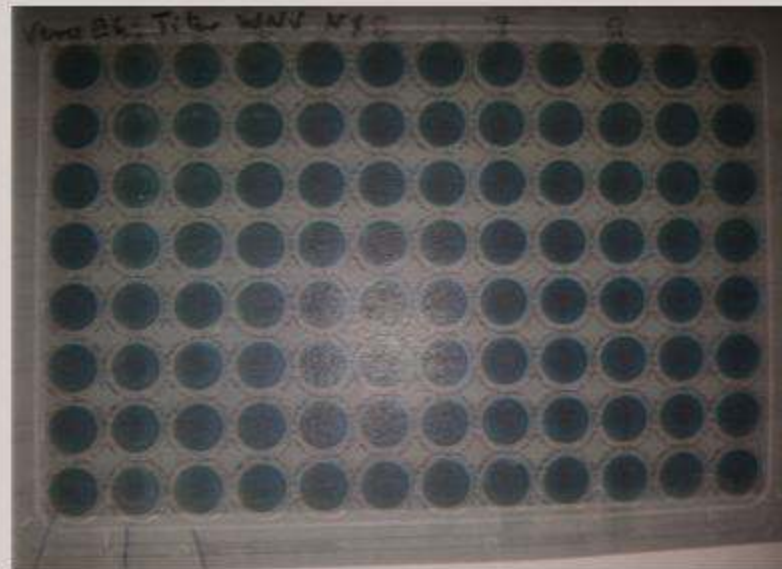
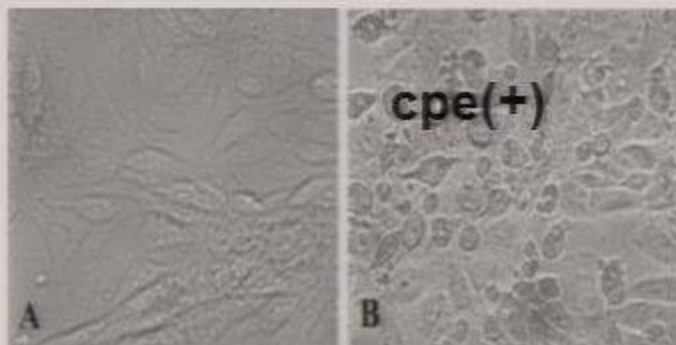
- Düşük avidite (üreli/üresiz OD <%40); <20 gün geçirilmiş enfeksiyon
- Yüksek avidite (>%60); >40 gün önce geçirilmiş enfeksiyon



BNV Mikronötralizasyon testi

Virus Titrasyonu (1. hafta)

- RKI ile eşleşme projesi kapsamında canlı viruslar (Lineage 1-NY99 ve Lineage 2-hEJa) 2013 yılı sonunda temin edildi.
- 2014 yılı başında BSL-3 laboratuvarında çalışmalara başlandı.
- Virus titrasyonu (Lineage 1-NY99 ve Lineage 2-hEJA) ($1/10....1/10^8$)..>cpe
- 1. gün; Vero E6 hücresi hazırlanıyor.
- 2. gün; virus ekleniyor.
- 5. gün; intakt hücre sayısına göre kuyucukların arasında cpe'ye neden olan virus titrasyonu ($TCID_{50}$) hesaplanır.



BNV Mikronötralizasyon testi (2. hafta)

- 1. gün Vero E6 hücresi ekiliyor.
- 2. gün hasta serumu ekleniyor. Ardından titre edilmiş virus ekleniyor.
- 5. gün invert mikroskop altında değerlendiriliyor.

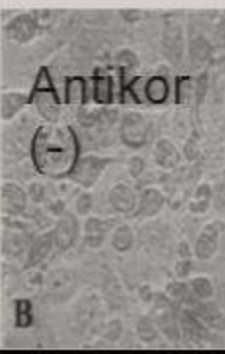
	1	2	3	4	5	6	7	8	9	10	11	12
A	Serum 1 1:5	Serum 1 1:5	Serum 2 1:5	Serum 2 1:5						cell control	virus control	
B	Serum 1 1:10	Serum 1 1:10	Serum 2 1:10	Serum 2 1:10						cell control	virus control	
C	Serum 1 1:20	Serum 1 1:20	Serum 2 1:20	Serum 2 1:20						cell control	virus control	
D	Serum 1 1:40	Serum 1 1:40	Serum 2 1:40	Serum 2 1:40						control titer-2	control titer-2	
E	Serum 1 1:80	Serum 1 1:80	Serum 2 1:80	Serum 2 1:80						control titer-1	control titer-1	
F	Serum 1 1:160	Serum 1 1:160	Serum 2 1:160	Serum 2 1:160						control titer	control titer	
G	Serum 1 1:320	Serum 1 1:320	Serum 2 1:320	Serum 2 1:320						control titer+1	control titer+1	
H	Serum 1 control	Serum 1 control	Serum 2 control	Serum 2 control						control titer+2	control titer+2	

Hasta serumunda nötralizan antikor varsa hücrelerde cpe izlenmiyor.

Antikor
(+)



Antikor
(-)



2- Tanı yöntemleri

- Kene kaynaklı ensefalit
ELISA ve IFA IgM, IgG
- Sarı humma
IFA IgM, IgG
- Dengue 1,2,3,4
Multiplex PCR ve IFA IgM, IgG
- Chikungunya
IFA IgM, IgG

3- Pozitif vaka verileri KKKA



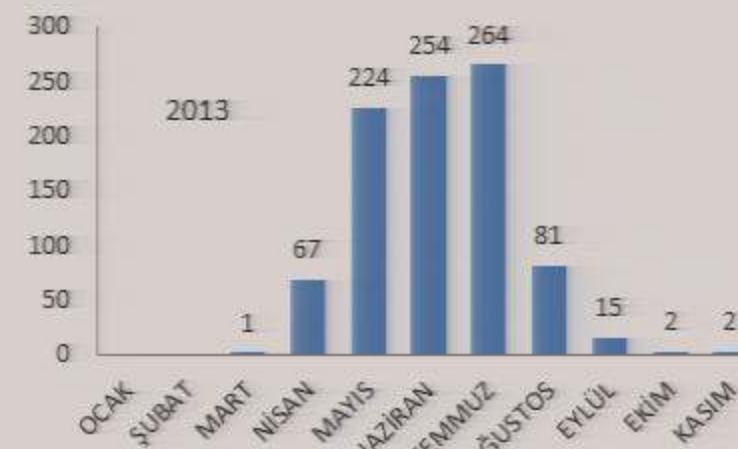
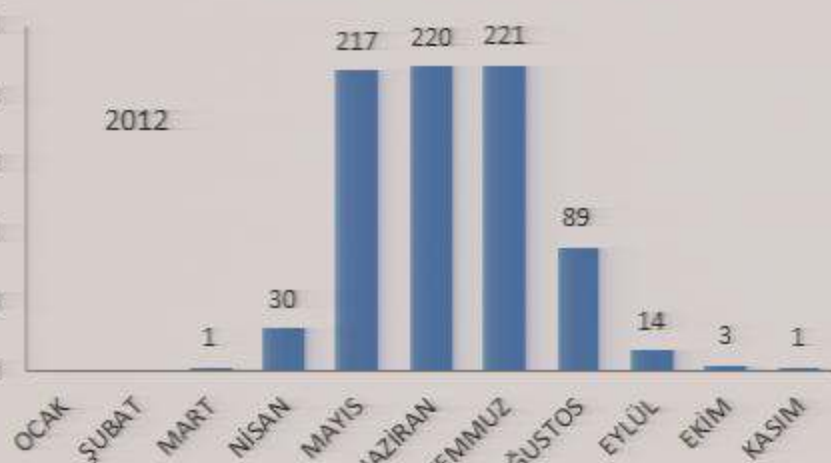
- Yaklaşık %5 mortalite
- En yüksek vaka sayısı Tokat (1800 vaka), Yozgat, Çorum, Sivas, Erzurum
- Vakanın henüz görülmemiş iller; Düzce, Karaman ve Kilis.



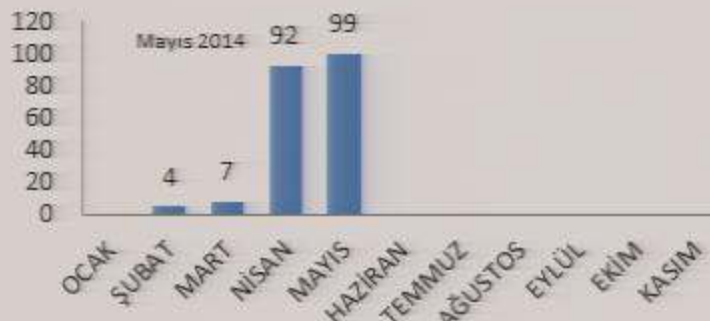
KKKA İNSİDANSINI İLLERE GÖRE DAĞILIMI (1/100.000), 2013



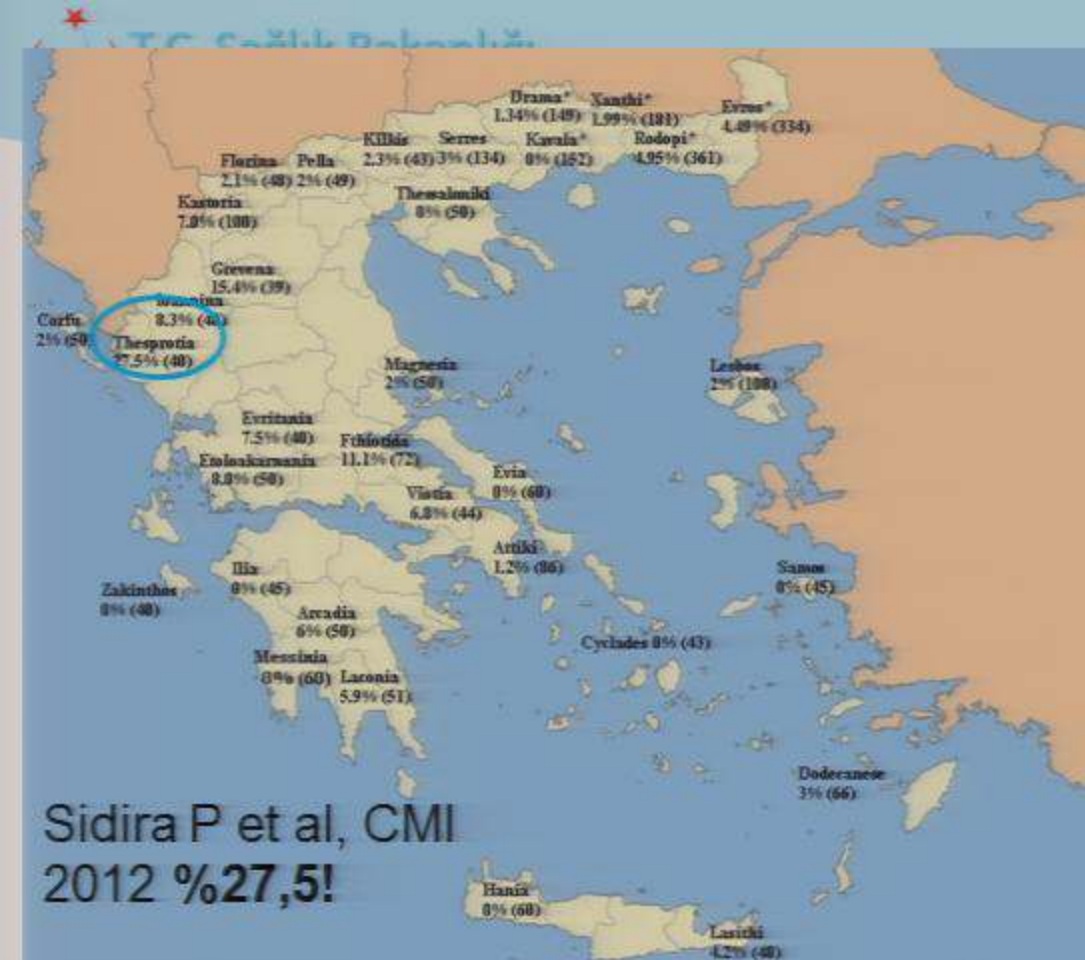
Aylara göre vaka dağılımı



Vakalar en çok Mayıs, Haziran ve Temmuz aylarında görülüyor.



*Zoonotik ve Vektörel Hastalıklar Daire Başkanlığı



Sidira P et al, CMI
2012 %27,5!

Vaka sayısı ile
seropozitiflik oranı
korele değil.

Sebep:

- 1-Dolaşan suşların
farklı olması
- 2-İmmun yanıtta
farklılık olması

Güneş T ve ark, EID 2009	%12,8 (Tokat)	~1800 vaka/184.000 kişi
Gargılı A ve ark, VBZ 2011	%10,9 (Kırklareli kırsalı)	~ 12 vaka/89.000 kişi
Bodur H ve ark, EID 2012	%10 (Endemik 12 il kırsalı)	
Ertuğrul B ve ark, Scand J Infect Dis 2012	%19,6 (Aydın kırsalı)	~ 60 vaka/1.000.000 kişi
Yagci-Caglayik D ve ark, JMV 2013	%16,7 (Yozgat kırsalı)	~ 840 vaka/97.000 kişi

Vaka sayılarıyla seropozitiflik oranı korele değil.

Sebep:

- 1-Dolaşan suşların farklı olması
- 2-İmmun yanıtta farklılık olması



Contents lists available at SciVerse ScienceDirect

International Journal of Infectious Di

journal homepage: www.elsevier.com/locate/i

The relationship between the human leukocyte : Crimean-Congo hemorrhagic fever in the Turkish

Esrail Akinci ^{a,*}, Hürrem Bodur ^a, Uğur Muşabak ^b, Rahşan I. S

^aAnkara Numune Education And Research Hospital, Infectious Diseases and Clinical Microbiology Departme

^bGüllane Military Medical Academy, Immunology and Allergy Division, Ankara, Turkey

Kontrol grubuna göre hasta grubunda;

HLA A23; şiddetli seyir

HLA B27; koruyucu

(Chikungunya'da ise; yatkınlık)

HLA A2; duyarlılıktan sorumlu bulunmuş.

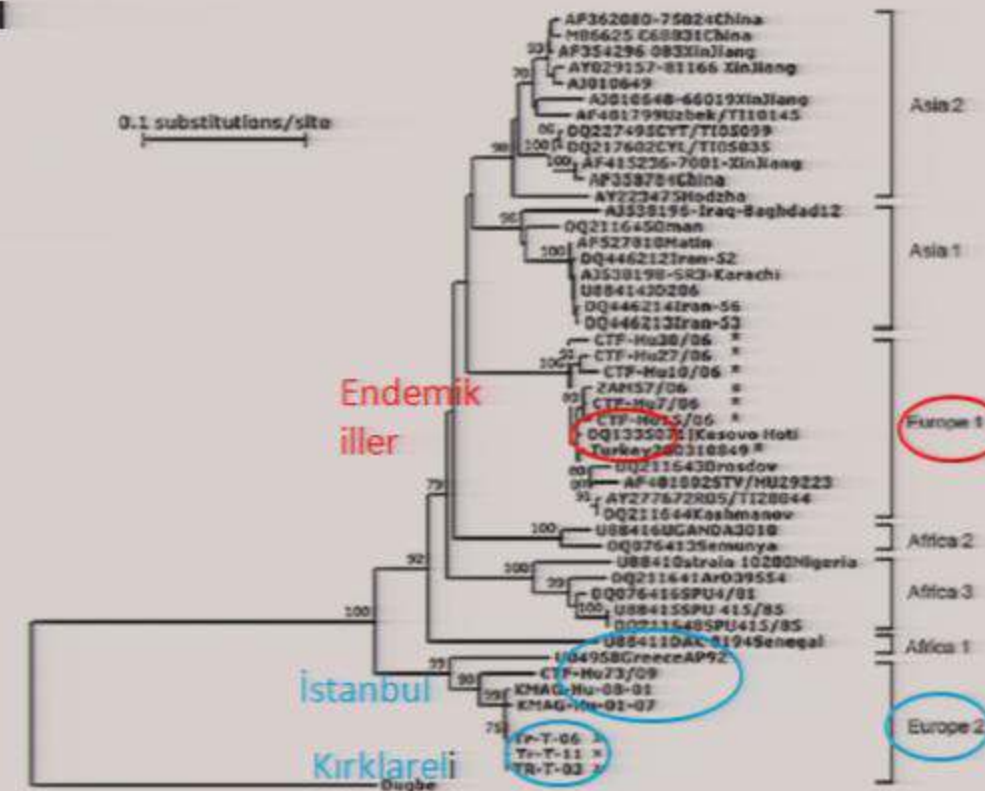


FIG. 3. The phylogenetic relationships of the CCHFV strains. Strains marked with * have been previously recorded from humans, those with # have been recorded from ticks in Turkey. Strains marked with x are recorded for the first time in this study.

Midilli K ve ark, BMC Infect Dis
2009
Gargılı A ve ark, VBZ 2011

3- Son beş yılın pozitif vaka verileri HANTAVİRUS



2009



2010

*Zoonotik ve Vektörel Hastalıklar Daire Başkanlığı



2011



2012

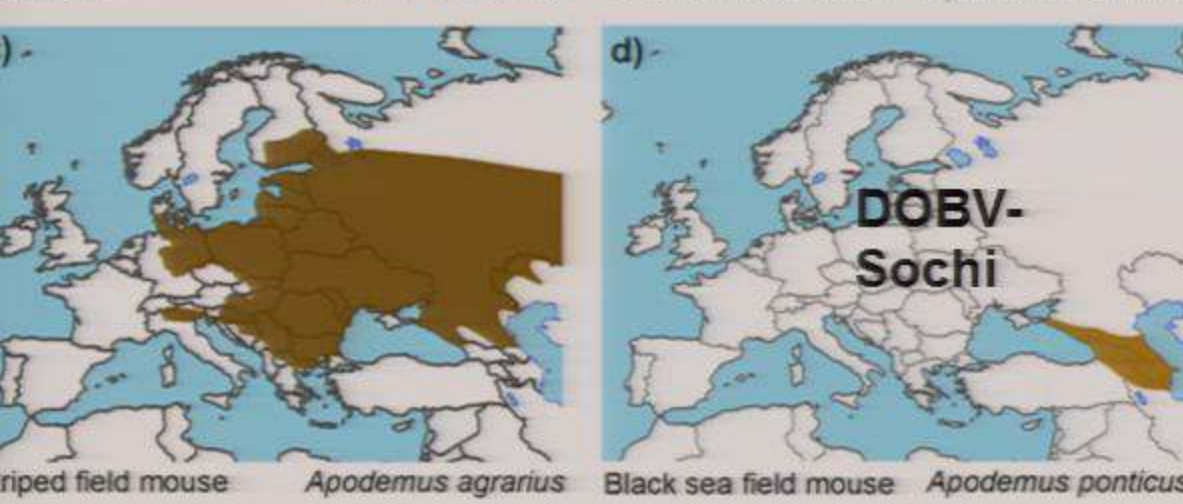
Hantavirus vakalarının dağılımı



2013



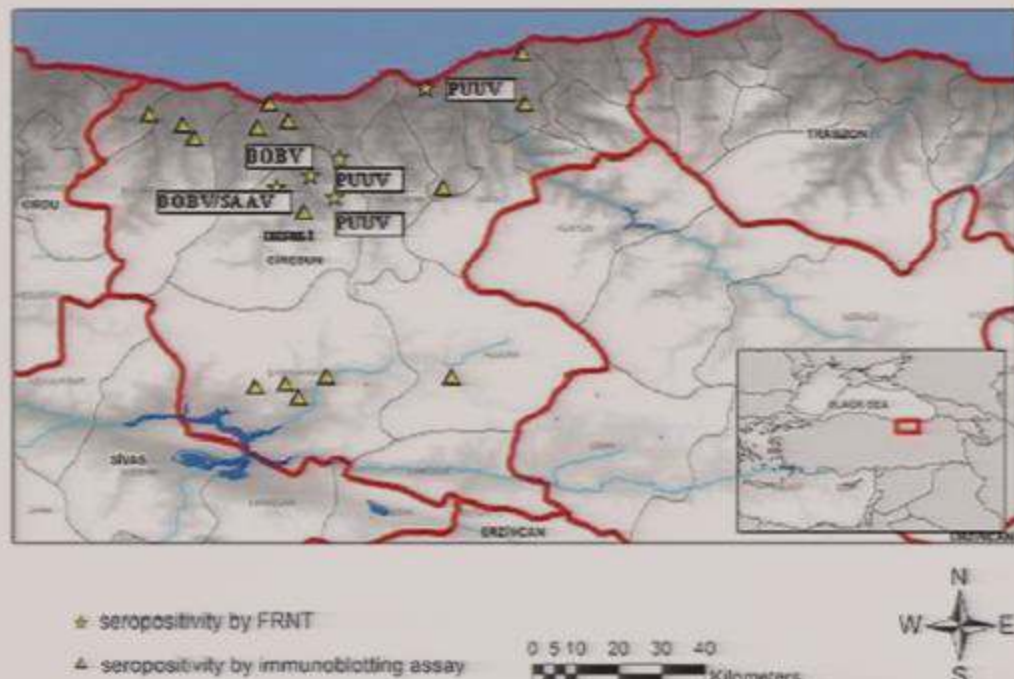
- Batı karadenizde Puumala serotipine, Trabzon ve Giresun başta olmak üzere Dobrava serotipi görülmüyor. İç batı Anadoluda da DOBV görülmüyor.
- Şimdiye kadar PCR pozitif 2 vaka oldu, 2si de İstanbuldan ve DOBV saptandı.
- Akdeniz kıyısında vaka görülmüyor.



İzmir ve Trabzon'da 2004'te rodentlerde PUUV varlığı serolojik olarak gösterilmiştir. Laakkonen J et al, Journal of Wildlife Diseases 2006

Avrupa'da PUUV ve DOBV taşıyan rodentler Türkiye'de de bulunuyor.

Bartın'da rodentlerde DOBV varlığı araştırıldı.
M. gloreolusta Ø
A. flavicollis %20'sinde DOBV RNA (+)
Öktem İMA ve ark, EID 2014



Gözalan A ve ark, VBZ 2013

FIG. 1. Map of Giresun, results of the seropositivity by using immunoblotting assay and focus reduction neutralization test (FRNT). (Color image available online at www.liebertpub.com/vbz).

- Seropozitiflik %3 (DOBV+PUUV)
- 2000 yılından itibaren fındık yerine kivi üretilmesi ve orman alanlarının azalması; rodentleri yiyecek bulmak için insanların yerleşim bölgelerine gitmeye zorladı.

HLA-B8, -DR3, -DQ2 alellerine sahip bireylerde hemodiyaliz ihtiyacının daha fazla ve прогнозun daha kötü olduğu; HLA-B27 aleline sahip olanlarda ise hastalığın daha hafif seyrettiği bildirilmektedir. Kaya S, Mikrobiyol bul 2014

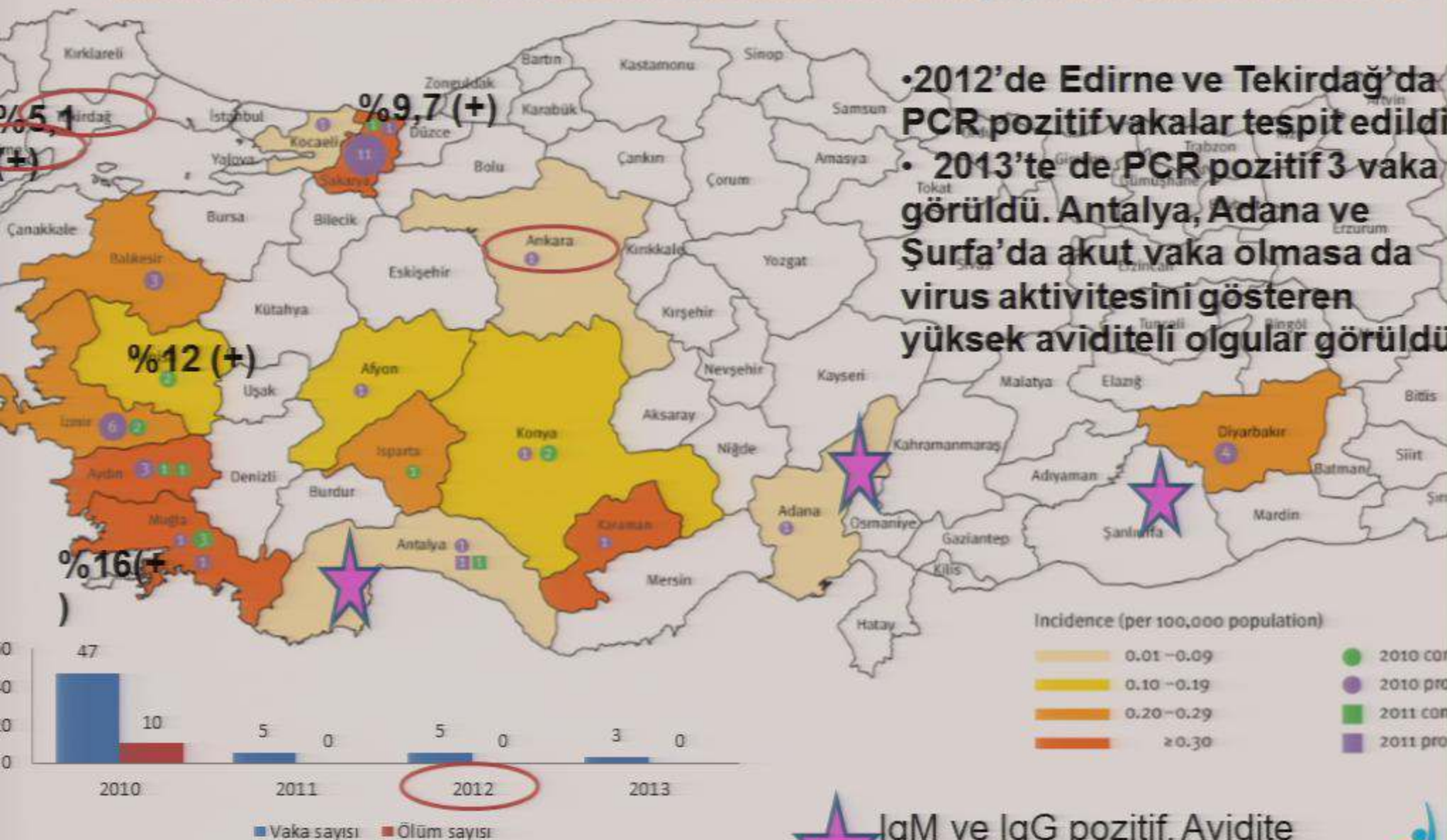
3- Son beş yılın pozitif vaka verileri **BATI NİL VİRUSU**

Emergence of West Nile virus infections in humans in Turkey, 2010 to 2011

FIGURE 2

Number of West Nile virus cases in 2010 (n=47) and 2011

H Kalaycioglu (h.kalaycioglu@hotmail.com)¹, G Korukluoglu¹, A Ozkul², O Oncul³, S Tosun³, O Karabay⁴, A Gozalan⁵, Y Uyar⁶, D Y Caglayik⁷, G Atasoylu⁸, A B Altas⁹, S Yolbakan¹⁰, T N Ozden¹¹, F Bayrakdar¹², N Sezak¹³, T S Peletli¹⁴, Z O Kurtcebe¹⁵, E Aydin¹⁶, M Ertek¹⁷



- 2012'de Edirne ve Tekirdağ'da PCR pozitif vakalar tespit edildi
- 2013'te de PCR pozitif 3 vaka görüldü. Antalya, Adana ve Şurfa'da akut vaka olmasa da virus aktivitesini gösteren yüksekaviditeli olgular görüldü

IgM ve IgG pozitif, Avidite
Mikro-yolcu Referans Laboratuvarları Daire Başkanlığı
yüksek

	POZİTİF (BOS)	POZİTİF (idrar)
PCR	POZİTİF (serum)	negatif (serum)
ELISA IgM	Negatif	POZİTİF
IFA IgM	POZİTİF	POZİTİF

2013 yılında, idrarda PCR pozitifliği yakalandı.

- Çocuk nörolojisinde optik nörit öntanısıyla izlenen hastada sonrasında şiddetli seyirli MS tanısı kondu.
- BNV enfeksiyonunun MS tetikleyicisi olabileceğini düşündürdü.
- BOS pozitifliği yakalanamayan hastalarda mutlaka idrar PCR bakmak gerekiyor.

3- Son beş yılın pozitif vaka verileri

- 2010 vakalarından sonra RSHMB tarafından Temmuz-Aralık 2011 arasında vaka çıkan 4 ilde (Sakarya, Manisa, Muğla, Edirne) vaka surveyansı başlatıldı.
- Vaka tanımına uyan 46 hastaya ait 51 örnek analiz edildi.
- Tam kan, plazma, lökosit, BOS, serumdan PCR çalışıldı. PCR pozitifliğine rastlanamadı.
- Serumda ELISA, IFA, PRNT (A.Ü.V.F.) çalışıldı.

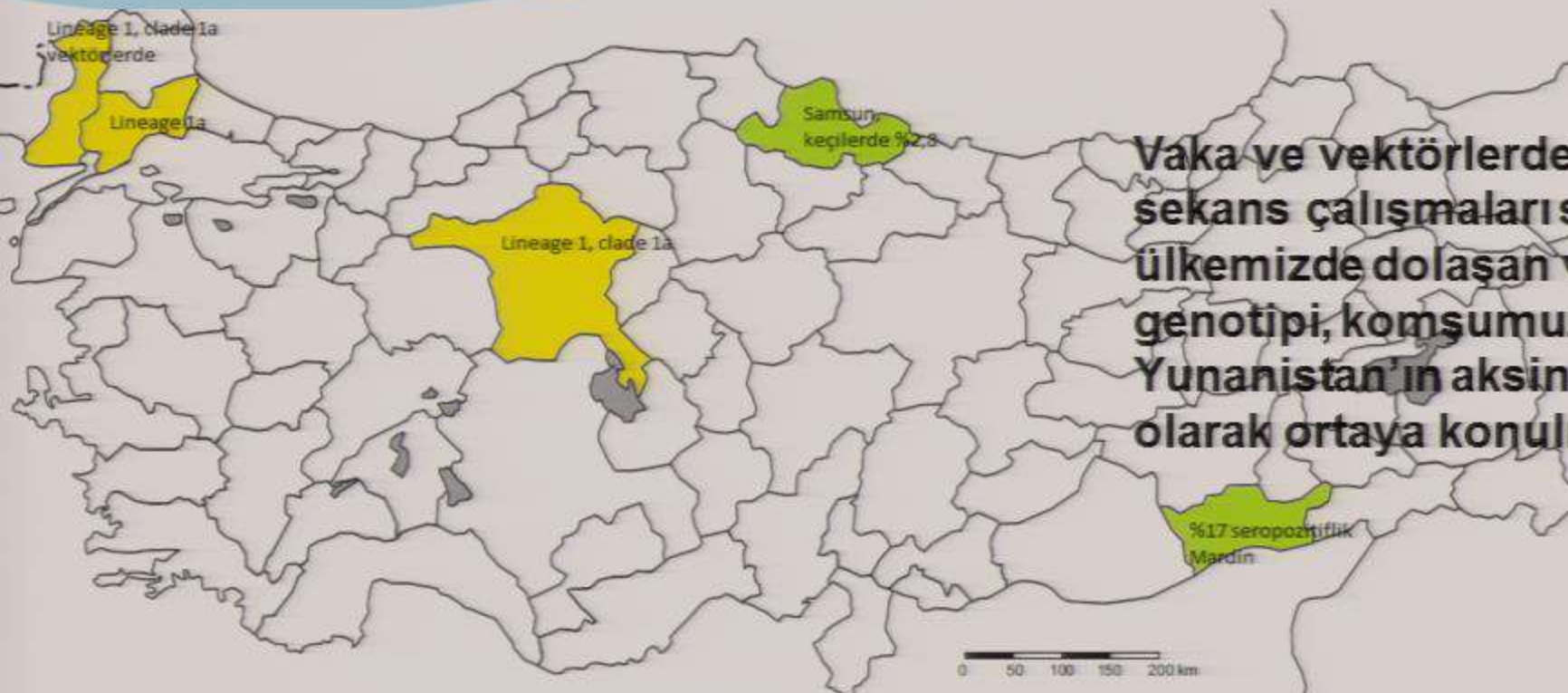
	ELISA IgM/IgG	IFA IgM/IgG	PRNT
5/54/018 9.10.2011)	Aradeğer/Negatif	Pozitif/Negatif	Pozitif
5/48/002 8.8.2011)	ELISA IgM/IgG	IFA IgM/IgG	PRNT
8.8.2011 (3. gün)	Aradeğer/Negatif	Pozitif/Negatif	Pozitif
12.2011 (3. ay)	Negatif/Negatif		Negatif
5/45/002 8.8.2011)	ELISA IgM/IgG	IFA IgM/IgG	PRNT
8.8.2011 (6. gün)	Pozitif/Negatif	Aradeğer /Negatif	Pozitif
10.2011 (2. ay)	Negatif/Negatif		Negatif
5/48/102 6.7.2011)	ELISA IgM/IgG	IFA IgM/IgG	PRNT
3.2011 (9.gün)	Negatif/ Pozitif		

Tekrar kanlarında nötralizasyon testi negatifleşti, IgG pozitifleşmedi.

- PRNT cut off değeri yükseltildi.
- Mikronötralizasyon yöntemi tanışal kapasiteye eklendi.
- Ülkemizde, çapraz rxn'a neden olan başka bir flavivirüsün dolaşıyor olabileceği düşünüldü.

Tekrar örnek istenen vakaların laboratuvar sonuçları-Sakarya

VS-54-005 (30.7.2011)	ELISA IgM/IgG	IFA IgM/IgG	PRNT
5.8.2011 (6. gün)	Pozitif/Negatif	Aradeğer/Negatif	Negatif
7.9.2011 (1. ay)	Pozitif/Negatif	Aradeğer/Negatif	Negatif
VS-54-121 (15.9.2011)	ELISA IgM/IgG	IFA IgM/IgG	PRNT
19.9.2011 (4. gün)	Aradeğer/Negatif	Aradeğer/Negatif	Negatif
21.10.2011 (1. ay)	Aradeğer/Negatif	Pozitif/Negatif	Pozitif
21.11.2011(2. ay)	Negatif/Negatif		Negatif



Vaka ve vektörlerden yapılan sekans çalışmaları sonucu ülkemizde dolaşan virusun genotipi, komşumuz Yunanistan'ın aksine Lineage 1 olarak ortaya konulmuştur.

- Erdem H ve ark, Clin Microbiol Infect 2013
- Ergunay K ve ark, VBZ 2013
- Karakoç ZÇ ve ark, VBZ 2013
- Albayrak H ve ark, J Arthropod-Borne Dis 2013
- Öcal M ve ark, Mikrobiyol Bul 2013

KAN BANKASI -BNV

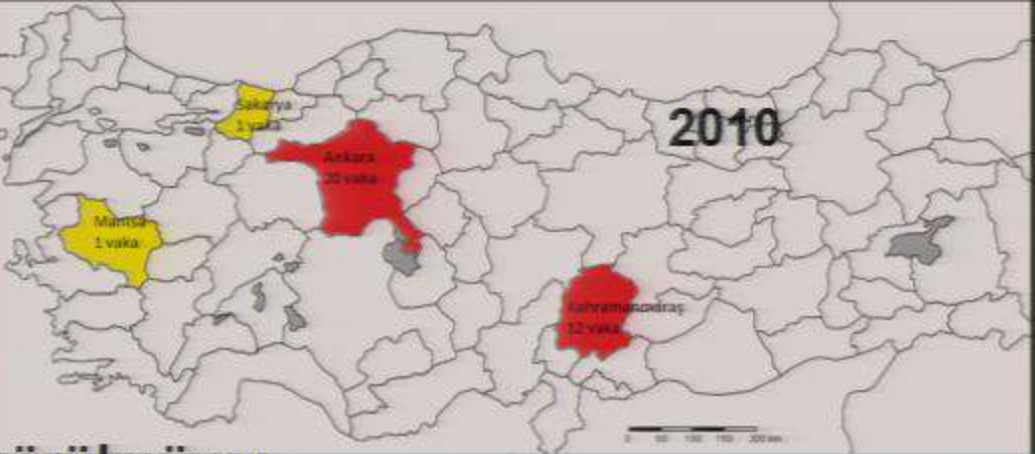
Kan bankası çalışmalarının hiçbirinde PCR pozitifliğe rastlanmadı.

- -Muğla, Sakarya, Edirne, Manisa
- -Ankara(2) (Ergunay K ve ark., Hızel K ve ark, Mikrobiyol Bul 2010)
- -Tekirdağ (Erdem H ve ark, Clin Microbiol Infect 2013)

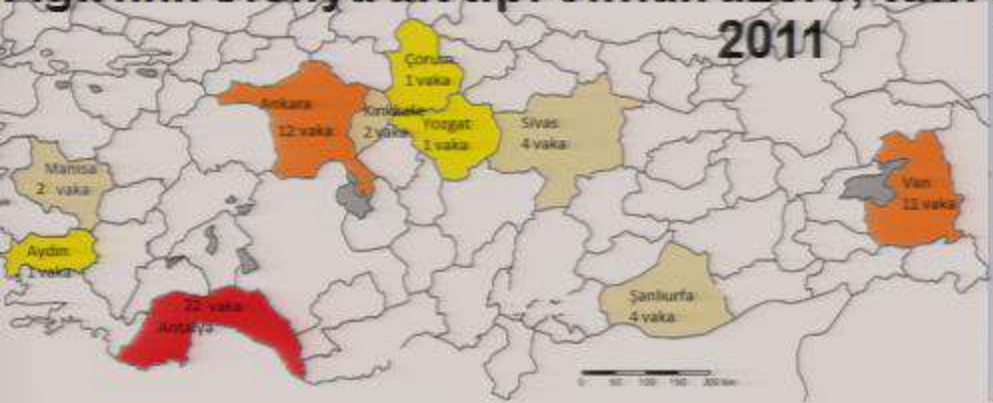
2009



2010



2011



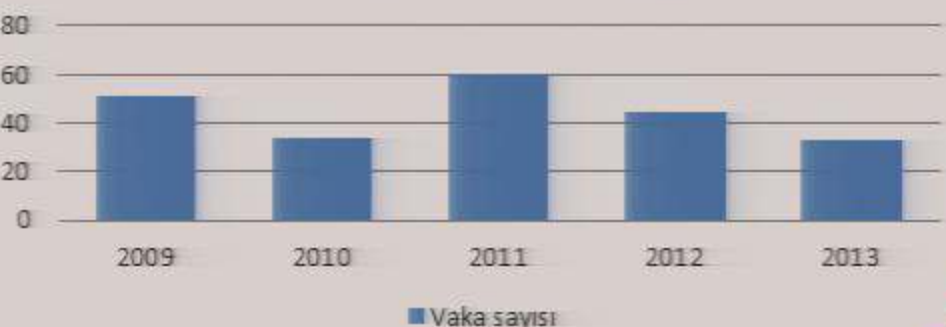
2012



2013



Ortalama 45 vaka/yıl



3- Son beş yılın pozitif vaka verileri Sandfly fever virus

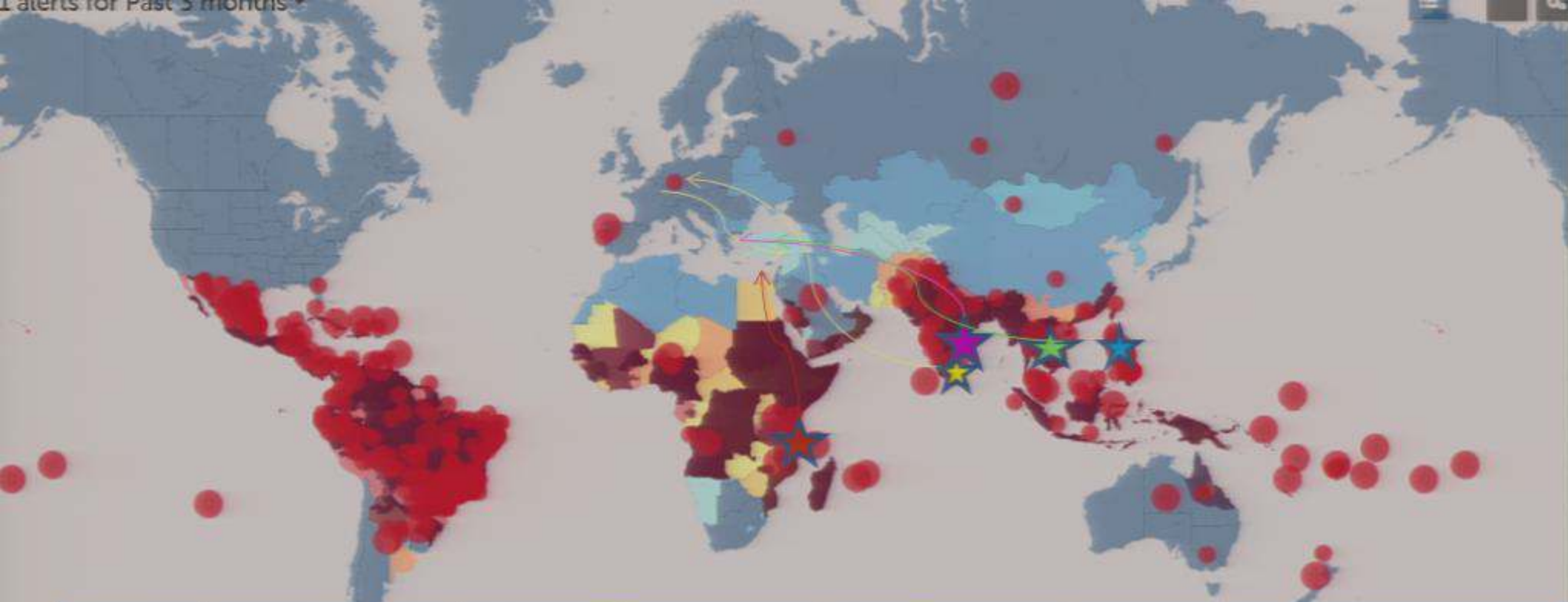
- Aynı virus ailesine mensup olmaları nedeniyle Sandfly IgM testinde, KKKA IgM testiyle çapraz reaksiyonlar izlenmektedir.
- Bunun için,
- -KKKA PCR ve Sandfly nötralizasyon testleri önemlidir.
- -SFV nötralizasyon testi de hedeflerimiz arasındadır.

3- Son beş yılın pozitif vaka verileri

- Temmuz 2011 Ankara'da tatarcık dağılımı
- *P. major* s.l. (38.9%), ..SFTV ile enfekte.
- *P. sergenti* (20.4%),
- *P. halepensis* (17.7%), and *P. papatasi* (10.2%),

Ergunay ve ark, 2013

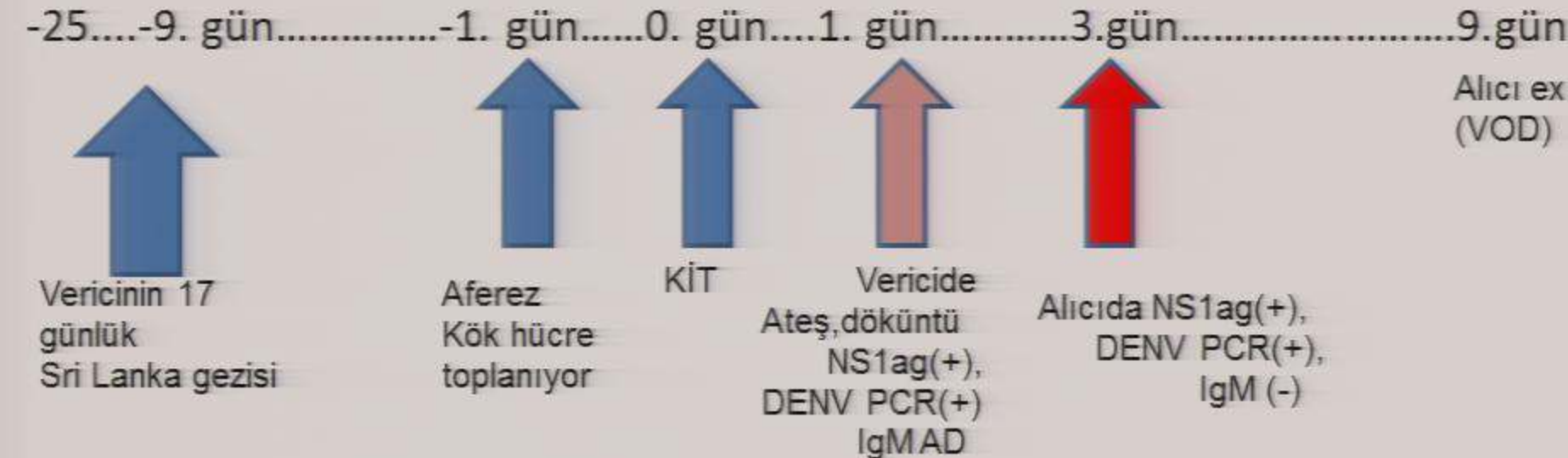
3- Son beş yılın pozitif vaka verileri **DANG ATEŞİ VE CHIKUNGUNYA**



	Tarih	Geldiği Ülke	Durumu	Uyruk	
1	Eylül 2011 (İzmir)	Hindistan	Sağ	İsviçre	DENV tip 3
2	Mart 2013 (Köln- Ankara**)	Sri Lanka (KIT sonrası)	Ex	Türkiye	DENV tip 1
3	Nisan 2014 (Ankara)	Tayland	Ex (otopsi numunesi)	Tayland	DENV tip 3
4	Nisan 2014 (İzmir)	Filipinler	Sağ	Filipinler	DENV tip 3
5	Mayıs 2014 (Antalya)	Tanzanya	Sağ	Tanzanya	DENV tip 3

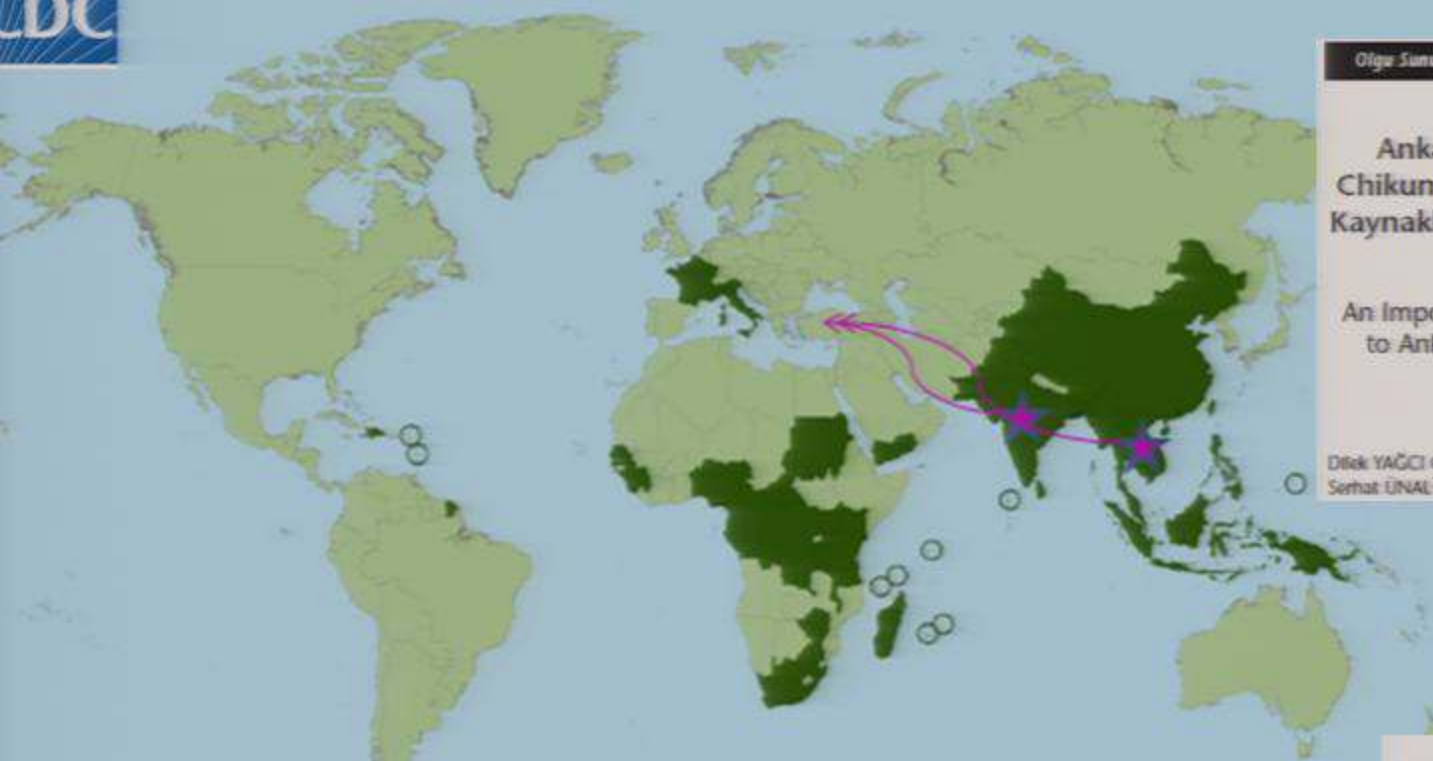
Dengue virus transmission due to allogeneic blood stem cell transplantation

Journals:	<i>Emerging Infectious Diseases</i>
Manuscript ID:	EID-14-0508.R1
Manuscript Type:	Dispatch
Date Submitted by the Authors:	04-May-2014
Complete List of Authors:	Punzel, Michael; Celllex Apheresis and Collection Center; MediaPark Klinik, Korukluoglu, Gulay; Refik Saydam: National Public Health Agency, Virology Dep. Yavuz Caglavik, Dilek; Refik Saydam: National Public Health Agency (RSNPA), Virology Reference and Research Laboratory Menemenlioglu, Dilek; Refik Saydam National Public Health Agency, Virology Dep. Bozdag, Sinem; Abdurrahman Yurtarslan Ankara Oncology Hospital, Tekgündüz, Emre; Abdurrahman Yurtarslan Ankara Oncology Hospital, Altuntas, Fevzi; Abdurrahman Yurtarslan Ankara Oncology Hospital, Burde, Bernd; MVZ Labor Dr. Quade & Kollegen, Gunther, Stephan; Bernhard Nocht Institute for Tropical Medicine, Department of Virology Tappe, Dennis; Bernhard Nocht Institute for Tropical Medicine, Department of Virology cadar, daniel; Bernhard Nocht Institute for Tropical Medicine, Department of Virology Schmidt-Chanasit, Jonas; Bernhard Nocht Institute for Tropical Medicine, Department of Virology.
Keywords:	Dengue, Transplantation, PCR, Germany, Turkey, Fatal



Countries and territories where chikungunya cases have been reported* (as of May 12, 2014)

CDC



Olgı Sunumu/Case Report

Mikrobiyol Bul 2012; 46(1): 122-

Ankara'ya Hindistan Yeni Delhi'den Gelen Bir Chikungunya Ateşi Olgusu: Türkiye'nin İlk Yurt Dış Kaynaklı Olgusu ve Literatürün Gözden Geçirilmesi

An Imported Chikungunya Fever Case from New Delhi, India to Ankara, Turkey: The First Imported Case of Turkey and Review of the Literature

Dilek YAĞCI CAĞLAYIK¹, Yavuz UYAR², Gülay KORUKLUOĞLU¹, Mustafa ERTEK², Serhat ÜNAL¹

24th ECCMID
Barcelona, Spain
10 – 13 May 2014

ESCMID European Society of Clinical Microbiology and Infectious Diseases

Tarih	Geldiği Ülke	Durumu	Özet
Aralık 2010 (Ankara)	Hindistan	Sağ (eşinde IgG+)	<p>Chikungunya: Chikungunya is a disease caused by IgM virus transmitted to humans by Aedes mosquitoes and presents with fever, headache, rash, and severe arthritis. Disease is endemic in Africa, Indian Ocean, West Pacific Ocean Islands, and in South-East Asia. Only one case of Chikungunya infection was reported two years ago in Thailand. In this report we presented our imported Chikungunya case from Turkey who visited Thailand.</p> <p>Cazet: A married couple admitted to our clinic with the complaints of fever, moderate Arthralgia in 2013 July. They had a history of travel to Thailand where they had spent 15 days two weeks ago. There was a history of mosquito bite during the trip. They had a sudden onset of high-grade fever (38.5/38.7°C), headache that lasted 15 days, along with a facial rash that spread to their hands, legs, and ankles, followed by arthralgias. Laboratory tests showed leucopenia ($<4000/\mu\text{L}$) in both of them. Thrombocytopenia ($120000/\mu\text{L}$), elevated levels of aspartate transaminase (117 U/L), and creatinine (1.4 mg/dL) were detected only in man.</p> <p>The culture, serology and blood were negative. Test results for Plasmodium spp., Toxoplasma spp., rubella, measles, varicella zoster and Cytomegalovirus were negative. Blood samples were tested at Thai Thailand National Public Health Agency. Virology Laboratory for Chikungunya virus CHIKV-antibodies, Anti-CHIKV IgM antibodies were positive and IgG antibodies were negative with confirmation test.</p>
Temmuz 2013 (Ankara)	Tayland	Sağ	<p>Chikungunya: Turkey is a non-endemic region for Chikungunya virus infection. Chikungunya disease should be considered in the differential diagnosis of patients with a history of travel to predominantly Africa, South-East Asia and who present acute polyarthralgia with joint pain and rash. Although Aedes mosquito is not the common vector of <i>Palms</i> mosquito found, <i>Aedes</i> being a transient member of fauna, may cause outbreaks due to import cases.</p>
Temmuz 2013 (Ankara)	Tayland	Sağ	<p>Chikungunya: Turkey is a non-endemic region for Chikungunya virus infection. Chikungunya disease should be considered in the differential diagnosis of patients with a history of travel to predominantly Africa, South-East Asia and who present acute polyarthralgia with joint pain and rash. Although Aedes mosquito is not the common vector of <i>Palms</i> mosquito found, <i>Aedes</i> being a transient member of fauna, may cause outbreaks due to import cases.</p>



Aseptic Meningitis due to Yellow Fever Vaccination

Mücahit Yemişen¹, Ümran Şumeyse Ertürk¹, Dilek Yağcı Çağlayık², Dilek Menemenli¹,
 Seven Uludokumacı¹, İlker İnanç Balkan¹, Bilgül Mete¹, Fehmi Tabak¹

¹Istanbul University Cerrahpaşa Medical Faculty, Division of Infectious Diseases and Clinical Microbiology

²Public Health Institution of Turkey, Microbiology Reference Laboratories Department, National Arbovirus and Zoonoses Reference and Research Laboratory



IgM, IgG Pozitif vakalar	Aşı öyküsü	Klinik	Durumu
Şubat 2012	Var	Aşı yanetkisi-menenjit (1 ay sonra)	Sağ
Aralık 2012	Var	Ateş, Hepatomegalı, LAP (Etiyopya)	Sağ

DIŞ KALİTE KONTROL



OPEN ACCESS Freely available online

PLOS NEGLIGIBLE
TROPICAL DISEASES

First International External Quality Assessment of Molecular Detection of Crimean-Congo Hemorrhagic Fever Virus

Camille Escadafal^{1,2*}, Stephan Ölschläger³, Tatjana Avšič-Županc⁴, Anna Papa⁵, Jessica Vanhomwegen^{2,6}, Roman Wölfel⁷, Ali Mirazimi⁸, Anette Teichmann¹, Oliver Donoso-Manzano⁹, Matthias Niedrig¹

1 Centre for Biosafety, Robert Koch Institute, Berlin, Germany, 2 European Public Health Microbiology Training Program (EUPHEM), European Centre for

- Avrupa 1 (Hoti suşu)
 - Avrupa 2 (AP-92 suşu)
 - Asya 1 (Afg09-2990 suşu)
 - Afrika 3 (Moritanya suşu)
- genotiplerinden oluşan panelin tümü yakalandı.
- ENIVD üyesi 47 referans laboratuvar (EHL, SHL, AVZHU)



Analysis of your laboratory's Qualitative EQA data

Analysis of your laboratory's performance on the core proficiency samples



The core proficiency samples in this EQA programme were:

WNV12-01, WNV12-02, WNV12-03, WNV12-04, WNV12-06, WNV12-07, WNV12-08, WNV12-10, WNV12-12

You reported 9/9 (100.0 %) of the core samples correctly.

Of the total datasets reported by all participants in this EQA programme, 72.2% reported correct results for all core proficiency samples.

Analysis of your laboratory's performance on all proficiency samples:

Your laboratory's qualitative results and performance scores

Sample	Sample Content	Sample Status	Qualitative		
			Sample Type	Your qualitative result	Your qualitative score
WNV12-06	West Nile Virus NY99	Frequently detected	Core	positive	0
WNV12-12	West Nile Virus NY99	Frequently detected	Core	positive	0
WNV12-10	West Nile Virus NY99	Frequently detected	Core	positive	0
WNV12-02	West Nile Virus NY99	Detected	Core	positive	0
WNV12-08	West Nile Virus NY99	Detected	Core	positive	0
WNV12-11	West Nile Virus NY99	Detected		positive	0
WNV12-03	West Nile Virus Heja	Detected	Core	positive	0
WNV12-07	West Nile Virus Heja	Detected	Core	positive	0
WNV12-01	West Nile Virus Ug37	Frequently detected	Core	positive	0
WNV12-05	Non-WNV Flaviviruses	Negative		negative	0
WNV12-09	Non-WNV Flaviviruses	Negative		negative	0
WNV12-04	WNV Negative	Negative	Core	negative	0
Sum Qualitative Panel Score				0	



ree participants did not return results. Two of these withdrew officially due to logistical issues.

. Panel composition

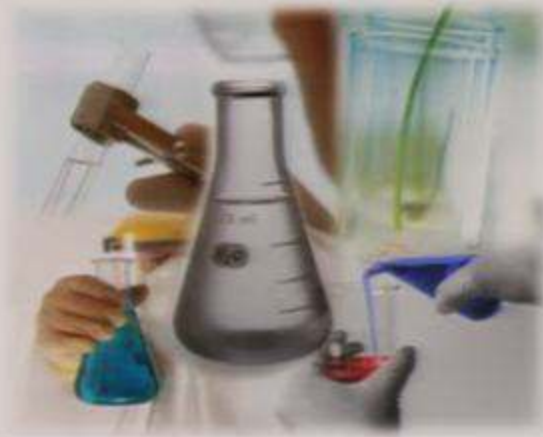
Sample code	Sample content	Sample * matrix	Sample conc. Copies/ml	Sample status
EPI_DENV13-03	Dengue Virus Type 1	VTM	1.0x10 ⁶	Frequently detected
EPI_DENV13-11	Dengue Virus Type 1	VTM	1.0x10 ⁵	Frequently detected
EPI_DENV13-07	Dengue Virus Type 1	VTM	1.0x10 ⁵	Frequently detected
EPI_DENV13-06	Dengue Virus Type 1	VTM	1.0x10 ⁴	Detected
EPI_DENV13-08	Dengue Virus Type 1	VTM	1.0x10 ³	Detected
EPI_DENV13-09	Dengue Virus Type 2	VTM	1.0x10 ⁵	Frequently detected
EPI_DENV13-04	Dengue Virus Type 2	VTM	1.0x10 ⁴	Detected
EPI_DENV13-10	Dengue Virus Type 3	VTM	2.8x10 ⁵	Detected
EPI_DENV13-01	Dengue Virus Type 3	VTM	2.8x10 ⁴	Detected
EPI_DENV13-05	Dengue Virus Type 4	VTM	1.2x10 ⁵	Detected
EPI_DENV13-12	Non-DENV Flaviviruses*	VTM	Each 1.0x10 ⁵	Negative
EPI_DENV13-02	DENV Negative VTM	VTM		Negative

RESULTS:

Sample ID	Qualitative Results	Quantitative Results		Comments
		Value	Cycle Threshold	
EPI_DENV13-01	positive		27.57	Dengue 3
EPI_DENV13-02	negative			Negative
EPI_DENV13-03	positive		18.50	Dengue 1
EPI_DENV13-04	positive		29.69	Dengue 2
EPI_DENV13-05	positive		22.53	Dengue 4
EPI_DENV13-06	positive		24.45	Dengue 1
EPI_DENV13-07	positive		21.68	Dengue 1
EPI_DENV13-08	positive		27.89	Dengue 1
EPI_DENV13-09	positive		27.79	Dengue 2
EPI_DENV13-10	positive		24.54	Dengue 3
EPI_DENV13-11	positive		22.25	Dengue 1
EPI_DENV13-12	negative			Negative



**T.C.
SAĞLIK BAKANLIĞI
TÜRKİYE HALK SAĞLIĞI KURUMU**



**2014 YILI
FİYAT TARİFELERİ
VE
ANALİZ BİLGİLERİ
REHBERİ**

a) Ulusal Viroloji Referans Merkez Laboratuvarları Analizleri

Bölüm:

ülkçe Halk Sağlığı Kurum
ikrobiyoloji Referans Laboratuvarları Direktör Başkanlığı
Ulusal Viroloji Referans Merkez Laboratuvarı

şirk Mh. Adnan Saygun Cad. No:55 F Blok 1-2. Kat
6100 Sıhhiye ANKARA
mail: viroloji@tshk.gov.tr

Bölüm:

Ulusal AIDS Doğrulama Merkezi ve Viral Hepatitler Ünitesi
Tel No: (0312) 565 55 53

Ulusal Döküntü Hastaları
Tel No: (0312) 565 55 52

Ulusal İfluenza Merkezi ve S
Tel No: (0312) 565 55 82

Ulusal Arbovirus ve Viral Zoonozlar
Tel No: (0312) 565 55 47

Ulusal Viral Kavaklı Gastrot
Tel No: (0312) 565 55 40

VİROLOJİK ARAŞTIRMA ANALİZLERİ					
HİZMET KODU	ANALİZLER	YÖNTEM	MİKTAR	ANALİZ ÜCRETİ	ANALİZ ÇOKETİ
120.364	West Nile Virus (Dikenli Ateş) Virüs (ELISA)	ELISA	4 ml. 2 kpl.	50	
120.365	West Nile Virus (Dikenli Ateş) Virüs (İmmuno)	ELISA, İmmuno	4 ml.	50	
100.728	West Nile Virus (Dikenli Ateş) virüs (Enzimik PCR)	Enzimik PCR (RT-PCR)	100. 4 ml. 100 ml.	250 TL 100 TL	
100.771	West Nile Virus (Dikenli Ateş) virüs (RT-PCR)	Enzimik Transkriptazi-PCR	100. 4 ml. 100 ml.	250 TL 100 TL	
120.372	Yellow Fever Virus (Sarı Hamamci) İgM (ELISA)	ELISA	4 ml. 2 kpl.	50	
120.374	Yellow Fever Virus (Sarı Hamamci) İgM (İFA)	IFA	4 ml. 2 kpl.	50	

VİRAL KONTAMİNAVON, VALİDAZİON VE KAN ÜMRİLEŞİ KONTROLÜ					
HİZMET KODU	ANALİZLER	YÖNTEM	MİKTAR	ANALİZ ÜCRETİ	ANALİZ ÇOKETİ
120.376	Fetal Cytomegalovirus (CMV), Herpesvirus	İmmuno	Her 1 kpl. 1 röpl.	100	
120.378	Plazma Faktör (Plazma Aktif Faktör), herber plazma (enzymleri)	İmmuno	Her 1 kpl. 1 röpl.	100	

** Viral: genetik, genotip, virusik, polimorfizmde, (iki patientin veya bireysinin polimorfizm düzensindeki iki patientin DNA serbestliklerinin farklılığından)***

*** 2014 Yılı Sağlık Uygulama Tüketici Hizmetlerine Kadar 2013 yılın fizik hizmetlerini 2014 hizmeti yerine

**VİROLOJİ LABORATUVARI ÖRNEK ALMA - GÖNDERME
KOSULLARI ve ANALİZLERE AIT AÇIKLAMALAR**

1. İNFEKSİYON

İnfeksiyonu Belirtmek
HIV (HCV) gibi viruslerin enflamatuar poliomorfizmde, Antikorlarımın sırasına deplas (toplantıya) ve diğer DNA viruslerin PCR'ye uygun enflamatuar poliomorfizmde. Bu nedenle enflamatuar PCR'lerin enflamatuar genotip, genotipiyle birlikte tespit edilebilir.

Hastalığın İhlali
Gastroenterit: Her 1. Lysis (toplantı) enflamatuar virus, enflamatuar virüsü her 1. Lysis (toplantı) 150-250 mili.

Plazma: Her 1. Lysis (toplantı) enflamatuar virus, enflamatuar virüsü her 1. Lysis (toplantı) 100-150 mili. Plazma fakto: enflamatuar virus (100-150 mili), enflamatuar virüsü her 1. Lysis (toplantı) 100-150 mili. Viral ülserlerde, ağız virusi (enflamatuar virus) ağız virusu (virüs). Günlük kapasite: 100-150 mili. Her 1. Lysis (toplantı) enflamatuar virus (100-150 mili), enflamatuar virüsü her 1. Lysis (toplantı) 100-150 mili. Viral ülserlerde, ağız virusi (enflamatuar virus) ağız virusu (virüs).

2. İNFEKSİYON

İnfeksiyonu Belirtmek
Hasta enflamatuar virus (virüs) enflamatuar, enflamatuar virüsü, enflamatuar virüs.

Hastalığın İhlali
Sepsis: İnfeksiyonun enflamatuar, enflamatuar virüsü.

Sepsis: İnfeksiyonun enflamatuar virüs (virüs) enflamatuar, enflamatuar virüsü, enflamatuar virüs.

Hastalığın İhlali
Albinoz: Albinozda virus (virüs) enflamatuar virüs (virüs) enflamatuar virüs (virüs).

Arbovirus ve Viral Zoonotik Hastalıklar Ünitesi Ekibi

- Uzm. Dr. Dilek Yağıçı Çağlayık
- Uzm. Dr. Dilek Menemenlioğlu
- Bio. Ahmet Aydemir
- Bio. Gökhan Kavuncuoğlu
- Bio. Nilgün Gökalp
- Bio. İhsan Durmaz
- Lab. Tekn. Songül Özen

Viroloji Merkez Laboratuvarı,
MRL Daire Başkanlığı,
Kurum Başkanlığına destekleri için teşekkür ederiz.

Sabrınız için teşekkür ederim.





Viral Kanamalı Ateşler Tedavide yeni ne var?

Dr. Güven ÇELEBİ

Bülent Ecevit Üniversitesi Tıp Fakültesi

Enfeksiyon Hastalıkları ve klinik Mikrobiyoloji AD

guvencelebi@yahoo.com

22 Mayıs 2014, Antalya

KKKA - Tedavi

- Destek tedavisi
 - Taze donmuş plazma
 - Trombosit süspansiyonu
 - Kan transfüzyonu
-
- Ribavirin
 - İmmünglobülin
 - Interferon
 - Steroid

The Efficacy of Oral Ribavirin in the Treatment of Crimean-Congo Hemorrhagic Fever in Iran

M. Mardani,¹ M. Keshtkar Jahromi,¹ K. Holakouie Naieni,²
and M. Zeinali³

Table 2. Absolute and relative frequency of outcome for 187 Iranian patients with suspected Crimean-Congo hemorrhagic fever, 1999–2001.

Patient group	Who died	No. (%) of patients	
		Total	
Treated with ribavirin	42 (30.2)	139 (74.7)	
Historical control	22 (45.8)	48 (25.7)	
Total	64 (34.2)	187 (100)	

NOTE. Relative risk, 0.66; 95% CI, 0.45–0.98; χ^2 , 3.87 ($P < .05$).

Characteristics of Patients with Crimean-Congo Hemorrhagic Fever in a Recent Outbreak in Turkey and Impact of Oral Ribavirin Therapy

Önder Ergönül, Aysel Çelikbaş, Başak Dokuzoğuz, Şebnem Eren,
Nurcan Baykam, and Harika Esener

Infectious Diseases and Clinical Microbiology Department, Ankara Numune Education and Research Hospital, Ankara, Turkey

We describe the epidemiological, clinical findings and the role of ribavirin therapy in patients who received a diagnosis of Crimean-Congo hemorrhagic fever (CCHF). All patients had immunoglobulin M antibodies and/or PCR results positive for CCHF virus in blood or tissue specimens. Eighty-six percent of the patients were considered to have severe cases of CCHF. The overall case-fatality rate was 2.8%. Eight patients were given ribavirin, and all 8 survived. We suggest using ribavirin to treat patients with CCHF, particularly those with severe cases.

Kontrol	Ribavirin
Ribavirin almayan ve ciddi seyirli 22 hastada fatalite % 4,5	Ribavirin alan 8 hastada fatalite yok

Crimean-Congo hemorrhagic fever in Southeast of Iran

Roya Alavi-Naini^{a,*}, Ali Moghtaderi^b, Hamid-Reza Koohpayeh^a,
 Batool Sharifi-Mood^a, Mohammad Naderi^a, Malyhe Metanat^a,
 Morteza Izadi^a

Table 2 Absolute and relative frequency of outcome
for 255 Iranian CCHF patients

Patient group	Number of patients (%)		Total
	Recovery	Death	
Treated with ribavirin	199 (84.3%)	37 (15.7%)	236 (92.5%)
No treatment	7 (36.8%)	12 (63.2%)	19 (7.5%)
Total	206 (80.8%)	49 (19.2%)	255 (100%)

RR=0.25; 95% CI (0.16-0.39); $\chi^2=25.54$; $P=0.000$.

ARTICLE

The role of ribavirin in the therapy of Crimean-Congo hemorrhagic fever: early use is promising

N. Tasdelen Fisgin · O. Ergonul · L. Dogancı · N. Tulek

	Erken Ribavirin tedavisi	Geç Ribavirin tedavisi	Kontrol Grup
	Semptom başladıkta sonraki ilk 4 gün içinde	Semptom başladıkta 5 gün ve sonrasında	Ribavirin almıyor
FATALİTE	1/21 (%5)	2/20 (%10)	3/11 (%27)
	P: 0,052 ← →	P: 0,067 ← →	

Crimean-Congo hemorrhagic fever in Southeast of Iran

Roya Alavi-Naini^{a,*}, Ali Moghtaderi^b, Hamid-Reza Koohpayeh^a,
 Batool Sharifi-Mood^a, Mohammad Naderi^a, Malyhe Metanat^a,
 Morteza Izadi^a

Table 2 Absolute and relative frequency of outcome
for 255 Iranian CCHF patients

Patient group	Number of patients (%)		Total
	Recovery	Death	
Treated with ribavirin	199 (84.3%)	37 (15.7%)	236 (92.5%)
No treatment	7 (36.8%)	12 (63.2%)	19 (7.5%)
Total	206 (80.8%)	49 (19.2%)	255 (100%)

RR=0.25; 95% CI (0.16-0.39); $\chi^2=25.54$; $P=0.000$.

ARTICLE

The role of ribavirin in the therapy of Crimean-Congo hemorrhagic fever: early use is promising

N. Tasdelen Fisgin · O. Ergonul · L. Dogancı · N. Tulek

	Erken Ribavirin tedavisi Semptom başladıkta sonraki ilk 4 gün içinde	Geç Ribavirin tedavisi Semptom başladıkta 5 gün ve sonrasında	Kontrol Grup Ribavirin almıyor
FATALİTE	1/21 (%5)	2/20 (%10)	3/11 (%27)
	P: 0,052 ← →	P: 0,067 ← →	



Crimean-Congo hemorrhagic fever in Eastern Turkey: clinical features, risk factors and efficacy of ribavirin therapy

Zulal Ozkurt^{a,*}, İlhami Kiki^b, Serpil Erol^a, Fuat Erdem^b, Neziha Yılmaz^c, Mehmet Parlak^a, Mehmet Gundogdu^b, Mehmet A. Tasyaran^a

Results: In multivariate analysis, farming (OR, 11.4), living in a rural area (OR, 10.05) and being bitten by tick (OR, 6.75) were determined as risk factors for CCHF. The rates of fever during hospitalization, confusion, neck stiffness, bleeding from multiple sites, and presence of petechia/ecchymosis were higher in the patients who died than in surviving ones. Additionally, the mean values of ALT, AST, LHD, CK, PTT, INR and urea were also higher, and the mean PLT count was lower in the patients who died. Mean recovery time was shorter in the cases treated with ribavirin than those of control. But, the need for blood and blood product, mean hospitalization duration, fatality rates, and hospital expenditure values were not significantly different between the group of patients treated with ribavirin and control groups.



Crimean-Congo hemorrhagic fever in Eastern Turkey: clinical features, risk factors and efficacy of ribavirin therapy

Ribavirin alan grupta iyileşme süresi daha kısa.
Ancak mortalite açısından fark yok

Res

and being bitten by tick (OR, 6.75) were determined as risk factors for CHF. The rates of fever during hospitalization, confusion, neck stiffness, bleeding from multiple sites, and presence of petechia/ecchymosis were higher in the patients who died than in surviving ones. Additionally, the mean values of ALT, AST, LHD, CK, PTT, INR and urea were also higher, and the mean PLT count was lower in the patients who died. Mean recovery time was shorter in the cases treated with ribavirin than those of control. But, the need for blood and blood product, mean hospitalization duration, fatality rates, and hospital expenditure values were not significantly different between the group of patients treated with ribavirin and control groups.

Efficacy of oral ribavirin treatment in Crimean-Congo haemorrhagic fever: A quasi-experimental study from Turkey

Journal of Infection (2009) 58, 238–244

Nazif Elaldi ^a, Hurrem Bodur ^b, Sibel Ascioglu ^{c,d,*}, Aysel Celikbas ^b,
Zulal Ozkurt ^e, Haluk Vahaboglu ^f, Hakan Leblebicioglu ^g, Neziha Yilmaz ^h,
Aynur Engin ^a, Mehmet Sencan ⁱ, Kemalettin Aydin ^j, Ilyas Dokmetas ^a,
Mustafa Aydin Cevik ^b, Basak Dokuzoguz ^b, Mehmet Ali Tasyaran ^e,
Recep Ozturk ^k, Mehmet Bakir ^a, Ramazan Uzun ^h

- 2003 yılında Ribavirin almayan 92 hasta,
- 2004 yılında Ribavirin alan 126 hasta ile kıyaslanıyor

Efficacy of oral ribavirin treatment in Crimean-Congo haemorrhagic fever: A quasi-experimental study from Turkey

Journal of Infection (2009) 58, 238–244

Nazif Elaldi ^a, Hurrem Bodur ^b, Sibel Ascioglu ^{c,d,*}, Aysel Celikbas ^b,
Zulal Ozkurt ^e, Haluk Vahaboglu ^f, Hakan Leblebicioglu ^g, Neziha Yilmaz ^h,
Aynur Engin ^a, Mehmet Sencan ⁱ, Kemalettin Aydin ^j, Ilyas Dokmetas ^a,
Mustafa Aydin Cevik ^b, Basak Dokuzoguz ^b, Mehmet Ali Tasyaran ^e,
Recep Ozturk ^k, Mehmet Bakir ^a, Ramazan Uzun ^h

- 2003 yılında Ribavirin almayan 92 hasta,
- 2004 yılında Ribavirin alan 126 hasta ile kıyaslanıyor

	Ribavirin Grubu N: 126	Kontrol Grubu N: 92	p
Hastanede yatis suresi	8 gün	9 gün	0,148
Fatalite	9 (%7,1)	11 (%11,9)	0,243

LETTERS TO THE EDITOR

DEBATE (see Elaldi N et al, Efficacy of oral ribavirin treatment in Crimean-Congo haemorrhagic fever: A quasi-experimental study from Turkey. *Journal of Infection* 2009; 58: 238–244)

Biases and misinterpretation in the assessment of the efficacy of oral ribavirin in the treatment of Crimean–Congo hemorrhagic fever.

Dear editor,

In March 2009 issue of the journal a study by Elaldi et al. was published on the efficacy of oral ribavirin.¹ The study reported ribavirin as not an efficacious, and even harmful drug in the treatment of Crimean–Congo hemorrhagic fever (CCHF), and stressed the necessity of a randomized controlled trial (RCT) to assess the efficacy of the ribavirin in CCHF infected patients. Such a conclusion was different from the previous reports on the efficacy of ribavirin in CCHF. In previous reports, almost all the authors concluded their reports by stressing that the ribavirin was found to be beneficial, although statistically no significance was reached. Therefore, it was interesting to read such a report in the journal, which has different conclusions. However, there were inconsistencies between the conclusions and the results of the report. The comments of the authors at the discussion were not tied to their results or they were contradictory.

Sir

I read the article by Elaldi N et al. appeared on Journal of Infection 2009 Mar;58(3):238–44 which is titled "Efficacy of oral ribavirin treatment in Crimean-Congo haemorrhagic fever: a quasi-experimental study from Turkey"¹ with a great concern. First of all, ethically, I assume there should be a declaration of "conflict of interest" at the end of the article according to the Committee on Publishing Ethics (COPE) and World Association of Medical Editors

Response to Ergonul: Scientific Evidence Versus Personal Beliefs In Crimean-Congo Haemorrhagic Fever Treatment

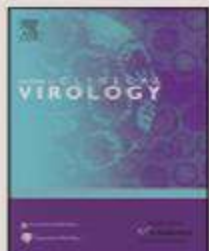
Dear editor,

We read Dr Ergonul's detailed letter with great interest, however, it is impossible to agree with any of his comments due to the reasons below.

P-value and sample size are completely different things than the author thinks

We would like to refer Dr. Ergonul to some basic statistics textbooks because he has a misunderstanding of the logic of calculation of sample size and power.^{1–3} Using a statistical software does not replace theoretical knowledge, nowadays, any statistical software can easily crunch some numbers as a sample size or power whenever you provide the necessary information. However, a wrong interpretation can lead to misleading conclusions like in this letter. First, sample size is not the necessary number that would "make" a finding statistically significant as used in this letter.^{1,2} In our study, effect size that is the difference between the mortality rates of ribavirin users and non-users was 4.8% (7.1% among ribavirin users vs. 11.9% among non-users, p-value = 0.24). This p-value shows that the difference between the mortality rates is more likely to be due to chance rather than due to the effect of ribavirin.³ Of course, increasing the sample size can make this or any other result statistically significant! What if the results were 11.9% vs. 12.0%, then it is possible to calculate 32,350 patients as the necessary sample size to reach statistical significance and therefore the author can still claim that ribavirin was beneficial and sample size was insufficient. According to his logic, for each and every study in the literature with a non-significant p-value, a sample size that would lead to a significant p-value can be calculated and the study can be labeled as having "insufficient" sample size. Obviously, this is the wrong way of thinking and using sample size calculations, it is neither the p-value, nor the sample size but the effect size that matters most in clinical

- Randomize, kontrollü çalışma!



The efficacy of ribavirin in the treatment of Crimean-Congo hemorrhagic fever in Eastern Black Sea region in Turkey

Iftihar Koksal*, Gurdal Yilmaz, Firdevs Aksoy, Hava Aydin, Ilknur Yavuz, Serap Iskender, Korhan Akcay, Sukru Erensoy, Rahmet Caylan, Kemalettin Aydin

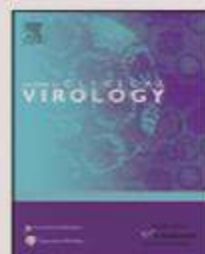
Karadeniz Technical University School of Medicine, Department of Infectious Disease and Clinical Microbiology, 61080 Trabzon, Turkey

Study design: In this prospective randomized cohort study 136 cases were included between June 2004 and August 2007. The diagnosis was confirmed in the CCHF reference laboratory of Refik Saydam National Hygiene Central Institute of the Turkish Ministry of Health. Patients either received ribavirin plus supportive therapy (Group A, n = 64) or supportive therapy only (Group B, n = 72). For the evaluation of efficacy

Prospektif, Randomize

Results: At baseline, there were no statistical differences in incubation time; hospitalization time; patients requiring platelet replacement therapy; the time taken for platelet levels to return to normal levels and mortality. In Group B, the rate of tick contact was higher ($p = 0.03$). In Group A, leukocyte levels took longer to return to the normal levels ($p = 0.02$).

Conclusion: In our study, there was no positive effect determined on clinical or laboratory parameters in CCHF patients treated with ribavirin, also it was observed that leukocyte levels took longer to return



	Ribavirin Grubu N: 64	Kontrol Grubu N: 72
İnkübasyon süresi	5,5 gün	4,9 gün
Hastaneye başvuru süresi	4,5 gün	3,9 gün
Fatalite	4 (%6,3)	4 (%5,6)

Study design: In this prospective randomized cohort study 136 cases were included between June 2004 and August 2007. The diagnosis was confirmed in the CCHF reference laboratory of Refik Saydam National Hygiene Central Institute of the Turkish Ministry of Health. Patients either received ribavirin plus supportive therapy (Group A, n = 64) or supportive therapy alone (Group B, n = 72). For the evaluation of efficacy, the patients were divided into two groups according to the treatment they received.

Prospektif, Randomize

Results: All the demographic parameters were similar in both groups. There were no statistical differences in incubation time; hospitalization time; patients requiring platelet replacement therapy; the time taken for platelet levels to return to normal levels and mortality. In Group B, the rate of tick contact was higher ($p = 0.03$). In Group A, leukocyte levels took longer to return to the normal levels ($p = 0.02$).

Conclusion: In our study, there was no positive effect determined on clinical or laboratory parameters in CCHF patients treated with ribavirin, also it was observed that leukocyte levels took longer to return

RESEARCH ARTICLE

Open Access

Ribavirin for Crimean-Congo hemorrhagic fever: systematic review and meta-analysis

Karla Soares-Weiser^{*1}, Sherine Thomas², Gail Thomson G³ and Paul Garner⁴

Results: 21 unique studies, including one randomised controlled trial of ribavirin, were included. Quality of the evidence was very low, with a Down and Black median score of 4 (maximum possible 33). Ribavirin treatment was not shown to be superior to no ribavirin treatment for mortality rate in a single RCT (RR: 1.13, 95%CI: 0.00 to 4.32, 136 participants, GRADE=low quality evidence); but ribavirin was associated with reduced mortality by 21% when compared to no ribavirin treatment in a meta-analysis (RR: 0.79, 95%CI: 0.63 to 0.95, 136 participants; GRADE=very low quality evidence). There were no significant differences in adverse events between the two groups.

**21 çalışma inceleniyor.
Ribavirin tedavisi daha üstün değil.**

Conclusions: No clear message or benefit is available from the current data on ribavirin as observational data are heavily confounded, and the one trial carried out has limited power. However, ribavirin could potentially have benefits in this condition and these results clearly indicate a pragmatic, randomised controlled trial in the context of good quality supportive care, is urgently needed and ethically justified.

Ribavirin for patients with Crimean–Congo haemorrhagic fever: a systematic review and meta-analysis

Sibel Ascioglu^{1,2*}, Hakan Leblebicioglu³, Haluk Vahaboglu⁴ and K. Arnold Chan²

¹Department of Internal Medicine, Faculty of Medicine, Marmara University, Istanbul, Turkey; ²Department of Clinical Bacteriology and Infectious Diseases, Saint Louis University, St. Louis, MO, USA; ³Department of Internal Medicine, Faculty of Medicine, Marmara University, Istanbul, Turkey; ⁴Department of Internal Medicine, Faculty of Medicine, Marmara University, Istanbul, Turkey

8 çalışma inceleniyor.
Ribavirin tedavisi daha üstün değil.

Results: One randomized controlled trial and seven observational studies met our inclusion criteria. Most observational studies suffered from different types of bias due to inappropriate selection of controls. Compilation of data from all included studies showed that ribavirin did not improve survival in CCHF (relative risk 1.06, 95% confidence interval 0.97–1.16). Analysis of secondary endpoints did not suggest a clinically significant beneficial effect either.

Conclusions: Our systematic review and meta-analysis revealed that the available data in the literature are inadequate to support a claim of efficacy of ribavirin in CCHF. We believe a real uncertainty exists over the benefit of ribavirin in the treatment of CCHF, which necessitates the urgent conduct of a randomized placebo-controlled trial.

Table 1
 CCHF-related mortality rate and ribavirin use in Turkey, 2004–2007

Year	Total number of CCHF patients	Number of patients using ribavirin	Mortality rate
2004	249	169 (67.9%)	5.2%
2005	266	58 (21.8%)	4.9%
2006	438	71 (16.2%)	6.2%
2007	717	85 (11.8%)	4.6%

Ribavirin is not effective against Crimean–Congo hemorrhagic fever: observations from the Turkish experience[☆]



CrossMark

Bahadır Ceylan, Aylin Calıca, Oznur Ak, Yasemin Akkoyunlu*, Vedat Turhan

Faculty of Medicine, Department of Infectious Diseases and Clinical Microbiology, Bezmialem Vakıf University, Vatan Cad, Fatih 34093, İstanbul, Turkey

ARTICLE INFO

Article history:

Received 27 December 2012

Received in revised form 25 February 2013

Accepted 26 February 2013

Corresponding Editor: Eskild Petersen,
Aarhus, Denmark

Keywords:

Crimean-Congo hemorrhagic fever
Ribavirin

SUMMARY

Crimean–Congo hemorrhagic fever (CCHF) is a viral infection associated with a high mortality rate. Ribavirin is the only drug used in the treatment of this disease. Studies investigating the effectiveness of ribavirin in CCHF have been retrospective and to date have included only a small number of cases. In recent years, due to climate changes, the number of cases of CCHF in Turkey has increased, and experience in the treatment of CCHF has improved. Several studies have evaluated the efficacy of ribavirin in Turkey, including one randomized controlled trial and two studies with a large number of cases. In these studies, ribavirin therapy was not shown to decrease mortality rates; the mortality rate was 2–9% in patients treated with ribavirin and 5.6–11% in those who were not treated with this drug. These findings suggest that patients with CCHF should be followed with supportive care only until randomized controlled trials with larger groups have been conducted.

Short Communication

Prompt Administration of Crimean-Congo Hemorrhagic Fever (CCHF) Virus Hyperimmunoglobulin in Patients Diagnosed with CCHF and Viral Load Monitorization by Reverse Transcriptase-PCR

Ayhan Kubar*, Mustafa Haciomeroglu¹, Aykut Ozkul², Umit Bagriacik³, Esragul Akinci⁴, Kenan Sener, and Hurrem Bodur⁴

*Gulhane Military School of Medicine, Ankara; ¹Refik Saydam Hygiene Center, Ankara;
²Ankara University Ankara, ³Gazi University Ankara, and*

SUMMARY: Crimean-Congo hemorrhagic fever virus (CCHFV), a member of the genus *Nairovirus* of the family *Bunyaviridae*, causes a severe disease in humans with high mortality rates. In Turkey, the number of patients with CCHF has increased since 2002. Here, we aimed to treat CCHF patients with CCHFV hyperimmunoglobulin. We prepared a CCHFV hyperimmunoglobulin product from 22 individuals who survived CCHF infection. A total of 26 CCHF patients were enrolled into this study. For CCHFV hyperimmunoglobulin administration, a Kubar Unit (KU) was defined. As a standard therapeutic approach, 400 KU of hyperimmunoglobulin were given to each patient as a single dose before viral load was detected. We used one-step real-time reverse transcriptase-PCR to monitor the viral load of CCHF patients. According to the one-step real-time PCR results, 15 patients with a viral load of 10^8 copies/mL or more were defined as high risk. In this high-risk group, the survival rate was found to be 86.6% (13/15) and 2 patients died despite CCHFV hyperimmunoglobulin administration. CCHF is a very serious and highly fatal infection, particularly for patients in the defined high-risk group. Prompt administration of CCHFV hyperimmunoglobulin might be a very promising new treatment approach, especially for high-risk individuals.

Short Communication

Prompt Administration of Crimean-Congo Hemorrhagic Fever (CCHF) Virus Hyperimmunoglobulin in Patients Diagnosed with CCHF and Viral Load Monitoring

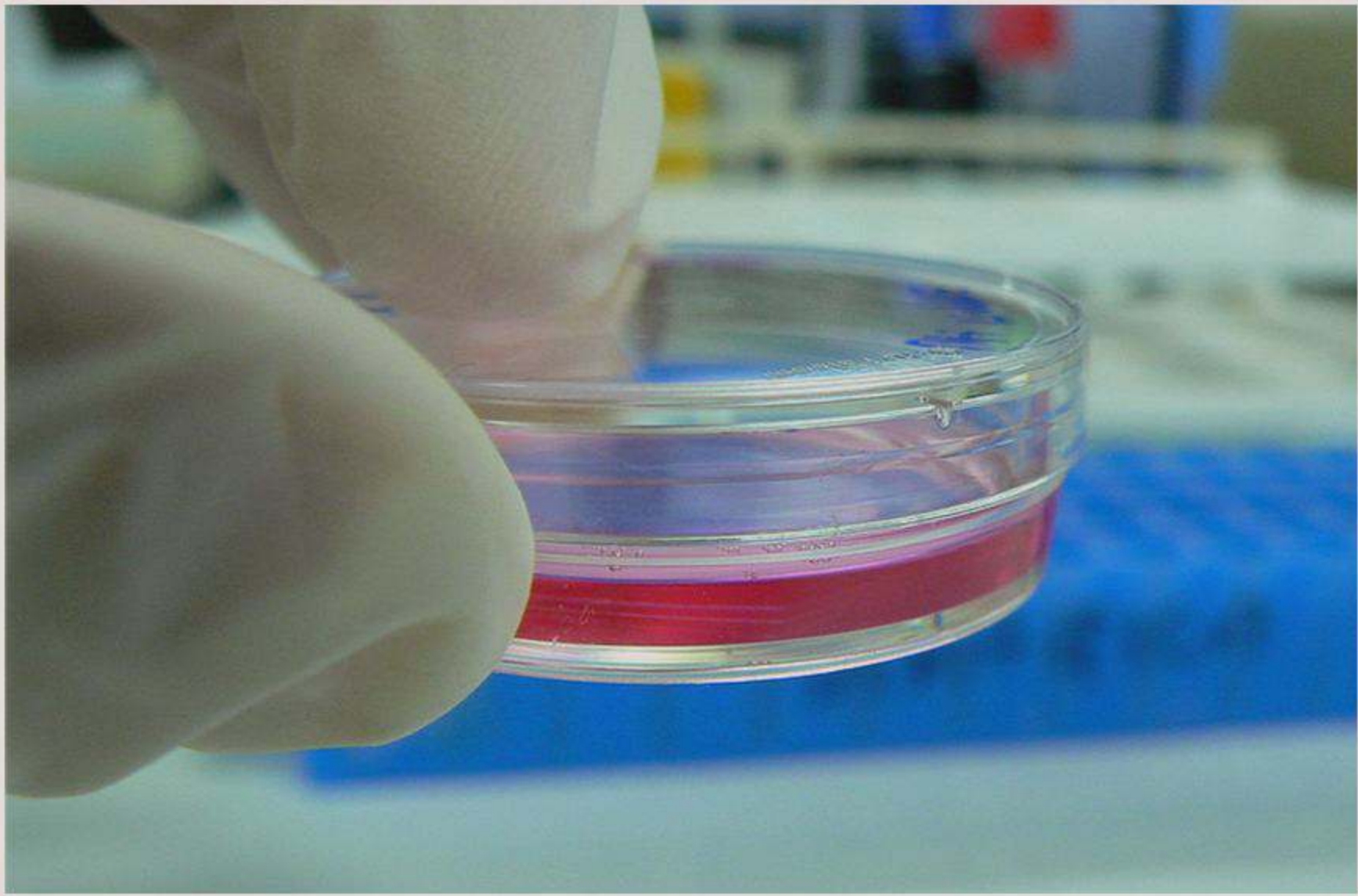
**Yüksek riskli 15 hasta
Spesifik immünglobulin veriliyor.
2 hasta ex.**

Kontrol grubu yok!

Gül,

SUMMARY: Cr

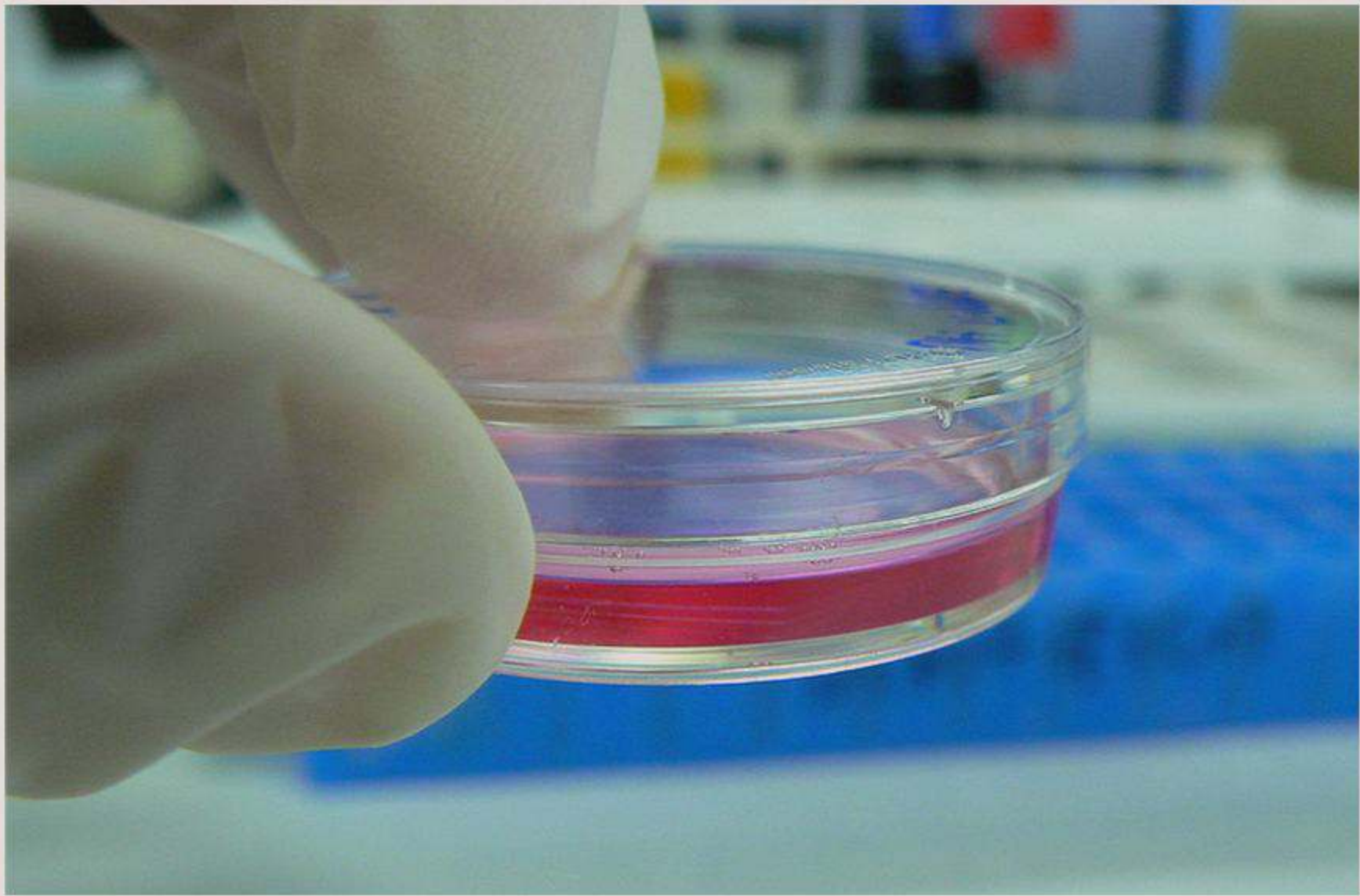
the family *Bunyaviridae*, virus of Turkey, the number of patients with CCHF has increased since 2002. Here, we aimed to treat patients with CCHF with CCHFV hyperimmunoglobulin. We prepared a CCHFV hyperimmunoglobulin from individuals who survived CCHF infection. A total of 26 CCHF patients were enrolled in this study. For CCHFV hyperimmunoglobulin administration, a Kubar Unit (KU) was defined. As a standard therapeutic approach, 400 KU of hyperimmunoglobulin were given to each patient as a single dose before viral load was detected. We used one-step real-time reverse transcriptase-PCR to monitor the viral load of CCHF patients. According to the one-step real-time PCR results, 15 patients with a viral load of 10^8 copies/mL or more were defined as high risk. In this high-risk group, the survival rate was found to be 86.6% (13/15) and 2 patients died despite CCHFV hyperimmunoglobulin administration. CCHF is a very serious and highly fatal infection, particularly for patients in the defined high-risk group. Prompt administration of CCHFV hyperimmunoglobulin might be a very promising new treatment approach, especially for high-risk individuals.



The Treatment of Crimean-Congo Hemorrhagic Fever With High-dose Methylprednisolone, Intravenous Immunoglobulin, and Fresh Frozen Plasma

Erol Erduran, MD,* Aysenur Bahadir, MD,* Nil Palancı, MD,† and Yusuf Gedik, MD†

- **Pediyatrik hasta grubu, KTÜ, Trabzon**
- **2010 -2011 yıllarında 12 çocuk hasta**
 - Yüksek doz metilprednizolon
 - IVIG
 - Taze donmuş plazma ile tedavi edildi.
- **Sonuç başarılı, ancak çalışmada kontrol grubu yok.**



Evaluation of Antiviral Efficacy of Ribavirin, Arbidol, and T-705 (Favipiravir) in a Mouse Model for Crimean-Congo Hemorrhagic Fever

Lisa Oestereich^{1,2*}, Toni Rieger^{1,2*}, Melanie Neumann³, Christian Bernreuther⁴, Maria Lehmann^{1,2}, Susanne Krasemann³, Stephanie Wurr^{1,2}, Petra Emmerich^{1,2}, Xavier de Lamballerie⁵, Stephan Ölschläger^{1,2*}, Stephan Günther^{1,2*}

1 Department of Virology, Bernhard-Nocht-Institute for Tropical Medicine, Hamburg, Germany, 2 German Centre for Infection Research (DZIF), Hamburg, Germany

3 Mouse Pathology Core Facility, University Medical Center Hamburg-Eppendorf, Hamburg, Germany, 4 Institute of Neuropathology, University Medical Center Hamburg-Eppendorf, Hamburg, Germany, 5 Aix Marseille Université, IRD French Institute of Research for Development, EHESP French School of Public Health, UMR_D 190 "Emergence des Pathologies Virales", Marseille, France

- Transgenik fare modelinde
 - Ribavirin
 - Arbidol
 - Favipiravir etkinliğinin araştırılması



Metod

- Fareler intraperitoneal (i.p.) yolla KKKA virüsü ile enfekte edildi.
- İnfekte edilen farelere etken maddeler **8 gün** süreyle uygulandı
- Hastalık belirti ve bulguları yönünden **14 gün** izlendi
 - Ciddi hastalık belirtisi (*kanama, abdominal distansiyon, konvülzyon, ishal, agoni, 2 gün içinde %15 üzerinde kilo kaybı*) görülen fareler ekplore edilerek incelendi.
- Biyokimyasal ve virolojik incelemeler için 1-4 gün arayla periyodik venöz kan örnekleri alındı
- Deney sonunda sağ kalan fareler ekplore edilerek histopatolojik ve virolojik incelemeler yapıldı

KKKA virüsü - Letal doz

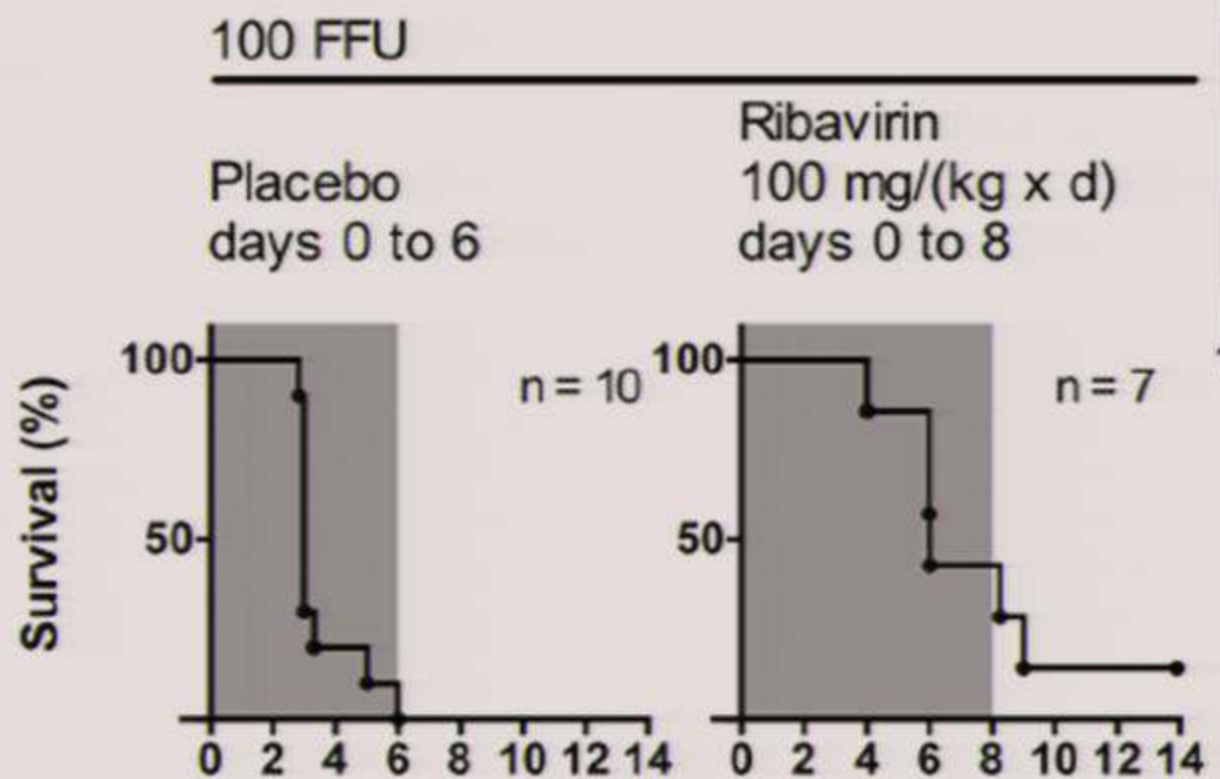
İnokulmdaki virüs miktarı FFU	Farelerden ölüm oranı (Ölen/infekte edilen)	İnokulum sonrasında yaşam süresi
0,3	4/5	
1	5/5	
3	4/5	
10	6/8	
100	13/13	3-6 gün
1 000	8/8	3-6 gün
10 000	3/3	2 gün

Ribavirin toksisite testleri

LD50 = 220 mg/kg/gün

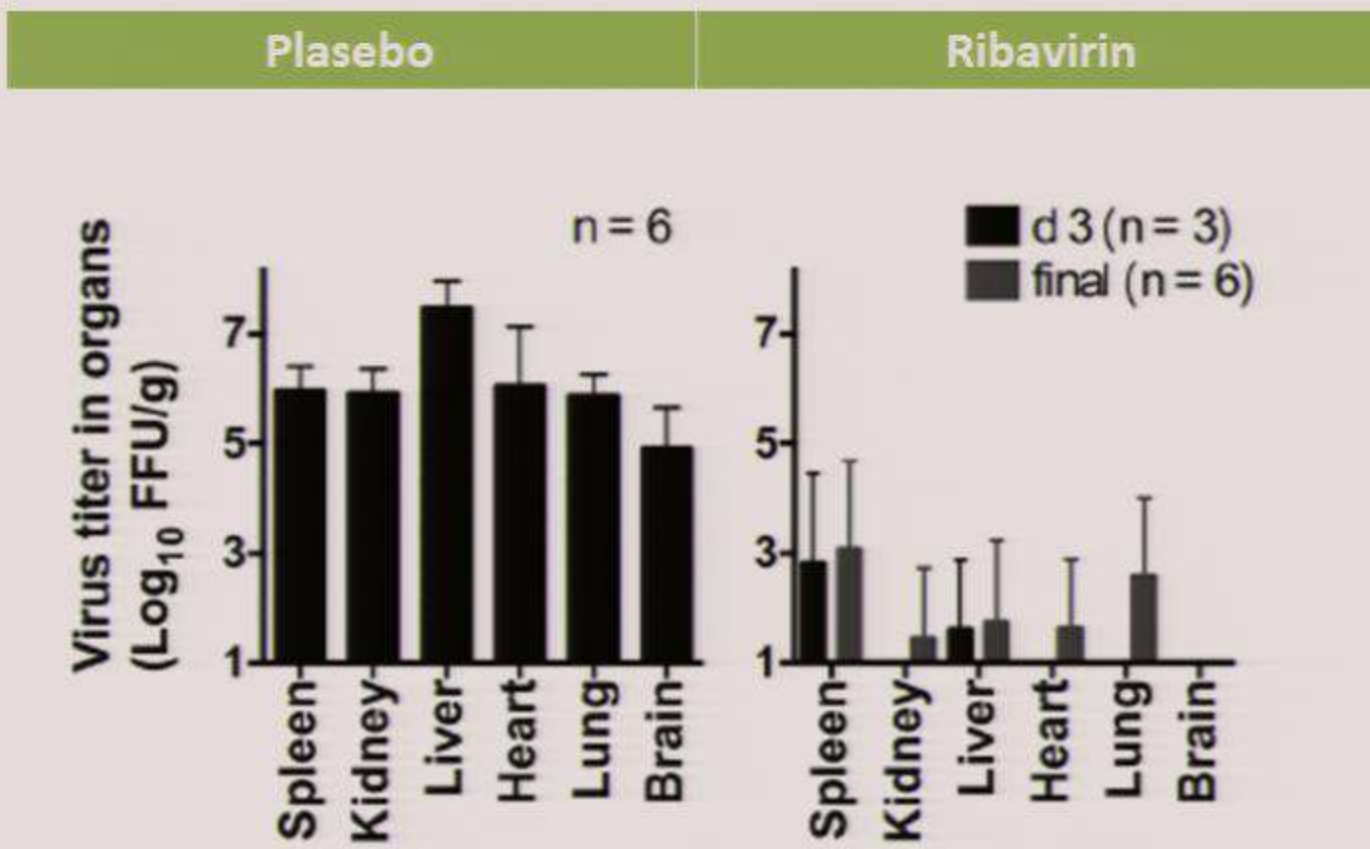
Ribavirin 100 mg/kg/gün	100 FFU virüs inoküle edildikten 1 saat sonra intraperitoneal (tek doz) başlandı ve 8 gün süreyle verildi
Plasebo (Serum fizyolojik)	100 FFU virüs inoküle edildikten 1 saat sonra intraperitoneal (tek doz) başlandı ve 8 gün süreyle verildi

	Ribavirin	Plasebo	P
Sağ kalım oranı (yaşayan/enfekte edilen)	1/7	0/10	P = 0,4
Ortalama yaşam süresi	6 gün	3 gün	p = 0.0007
			p = 0.001
			p = 0.006
			p = 0.0007
			p = 0.002
			p > 0.001



	Ribavirin	Plasebo	P
Sağ kalım oranı (yaşayan/enfekte edilen)	1/7	0/10	P = 0,4
Ortalama yaşam süresi	6 gün	3 gün	p = 0.0007
AST seviyesinde azalma (2. gün)			p =0.001
ALT seviyesinde azalma (2. gün)			p = 0.006
Serum viral yükü azalma (2. gün)			p = 0.0007
Ağırlık (3. gün)			p = 0.002
Karaciğer ve dalakta viral yük			p>0.001

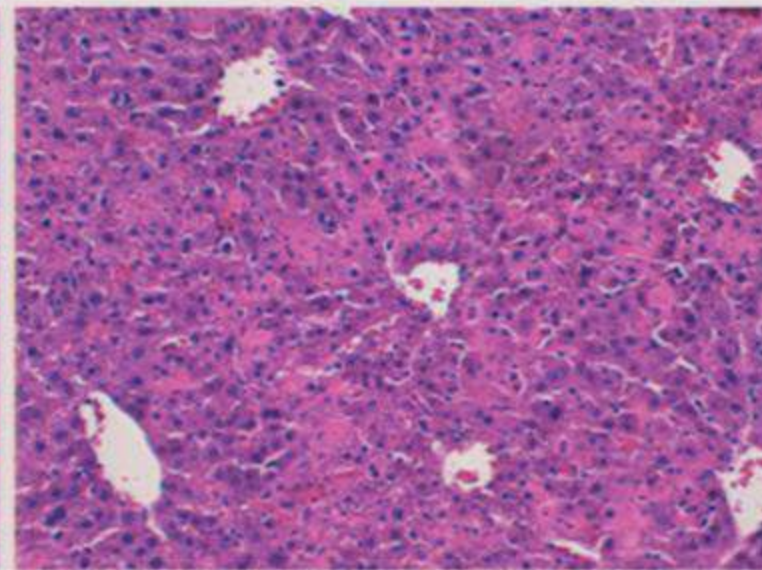
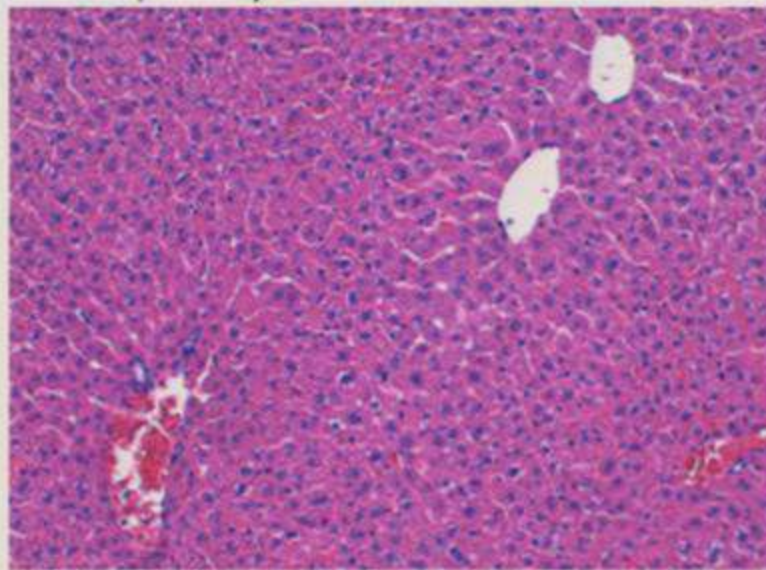
Organlardaki virüs yükü



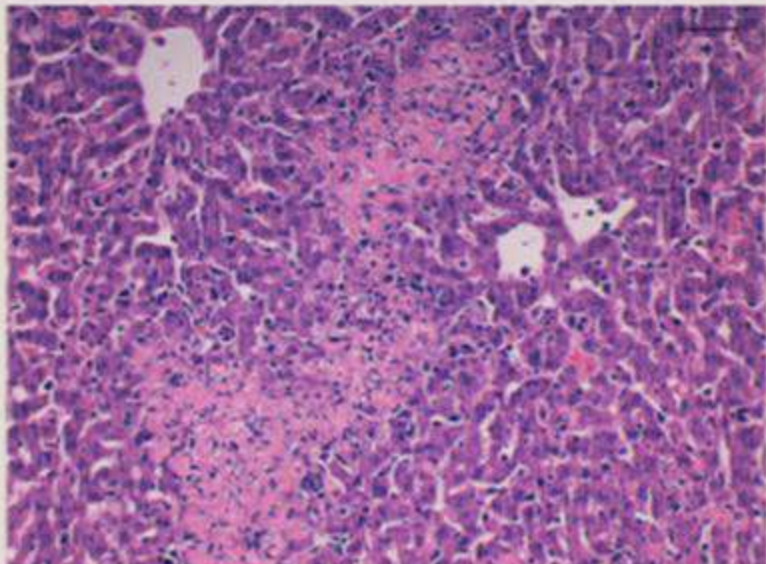
Naïve

Infected

Liver (H&E)



Infected + ribavirin



Histopatolojik inceleme

Plasebo – Ribavirin

	Ribavirin tedavisi alan fareler
3. Gün ölen fareler	Yaygın ancak küçük nekroz odakları
4- 9 gün içinde ölen fareler	Geniş köprüleşmiş hepatoselüler nekroz alanları

KKKA - Transgenik fare modelinde Ribavirin

- Virüs yükünü azalttı
- Hastalığın progresyonunu geciktirdi
- Monosit – makrofaj aktivasyonunu önleyemedi
- Terminal karaciğer nekrozunu önleyemedi
- Ölümü geciktirdi ancak önleyemedi.

KKKA - Transgenik Fare Modelinde Arbidol

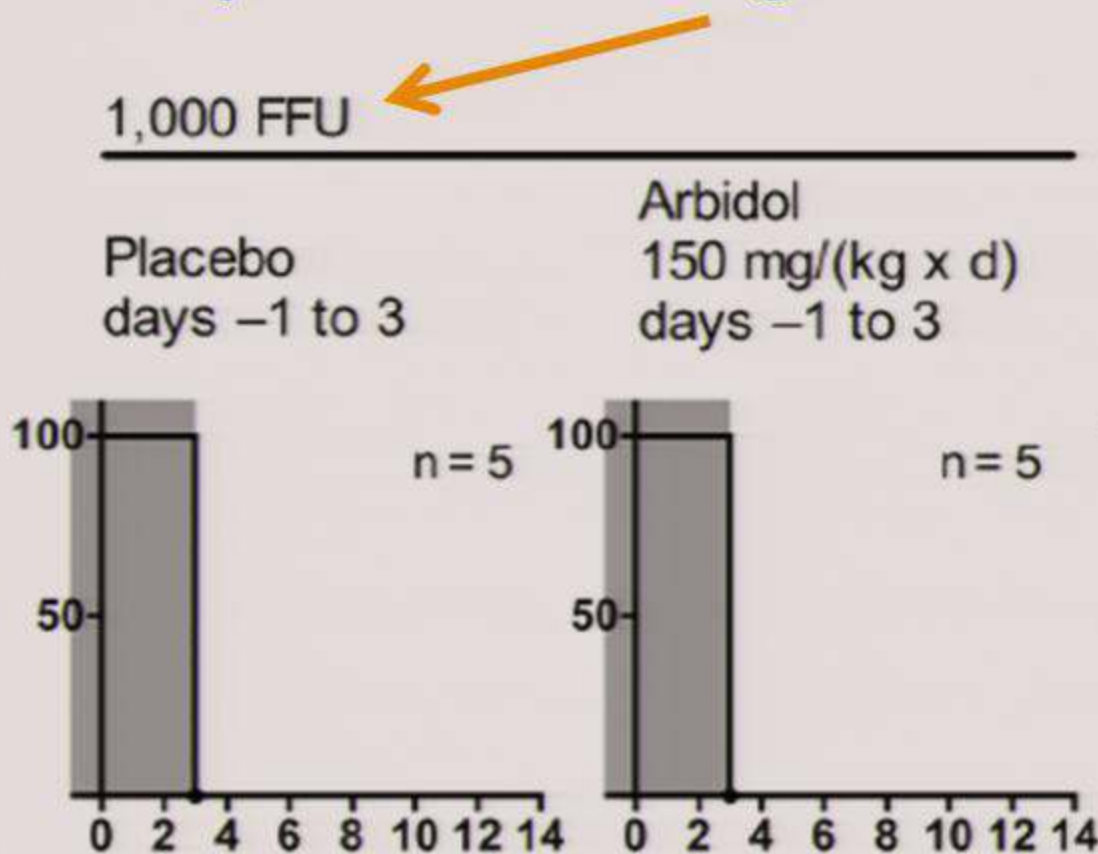
Arbidol toksisite testleri

0, 25, 75, 150, 300, 600 mg/kg/gün 8 gün süreyle.
Hiçbir dozda toksik belirti yok

Arbidol 75 mg/gün	1000 FFU virüs inoküle edilmeden 1 gün önce başlanıldı (<i>tek doz</i>). 8 gün süreyle devam edildi (oral yoldan, mide probuyla)
Arbidol 100 mg/gün	1000 FFU virüs inoküle edilmeden 1 gün önce başlanıldı (<i>tek doz</i>). 8 gün süreyle devam edildi (oral yoldan, mide probuyla)
Plasebo (metil selüloz)	1000 FFU virüs inoküle edilmeden 1 gün önce başlanıldı (<i>tek doz</i>). 8 gün süreyle devam edildi (oral yoldan, mide probuyla)

KKKA - Transgenik Fare Modelinde Arbidol

- Yaşam süresi ve Sağ kalım oranı placebo ile benzer



KKKA - Transgenik Fare Modelinde Arbidol

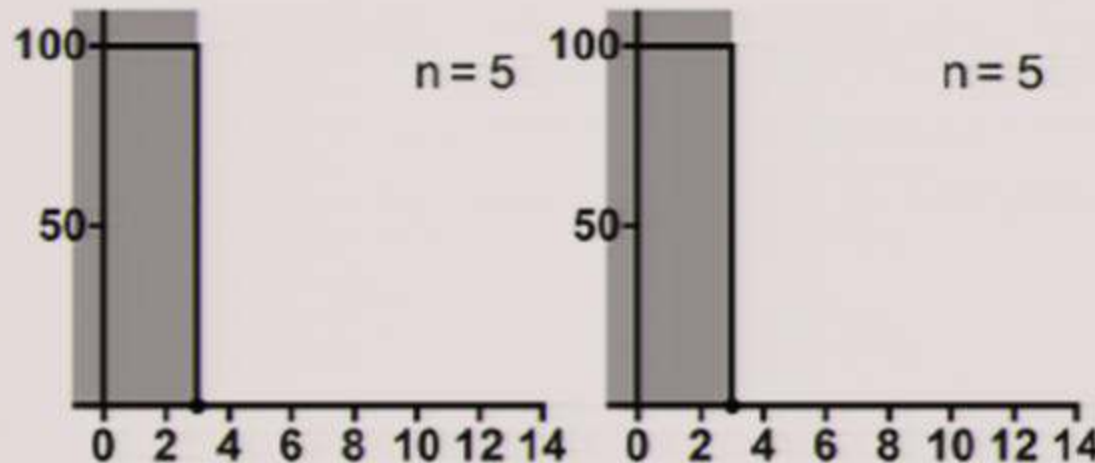
- Yaşam süresi ve Sağ kalım oranı placebo ile benzer

1,000 FFU



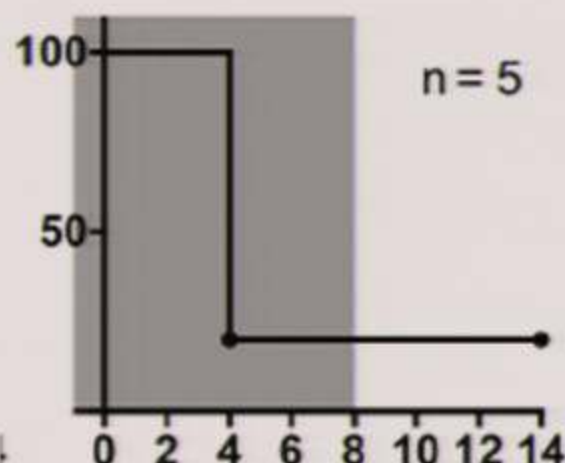
Placebo
days -1 to 3

Arbidol
150 mg/(kg x d)
days -1 to 3



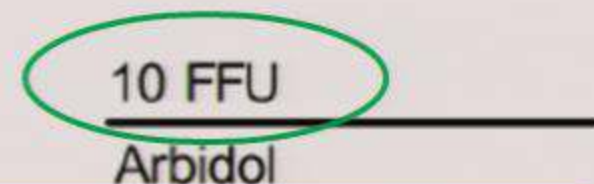
10 FFU

Arbidol
150 mg/(kg x d)
days -1 to 8



KKKA - Transgenik Fare Modelinde Arbidol

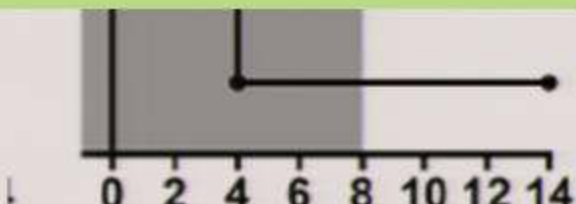
- Yaşam süresi ve Sağ kalım oranı placebo ile benzer



Transgenik fare modelinde

ARBİDOL

KKKA virüsüne etkili değildir

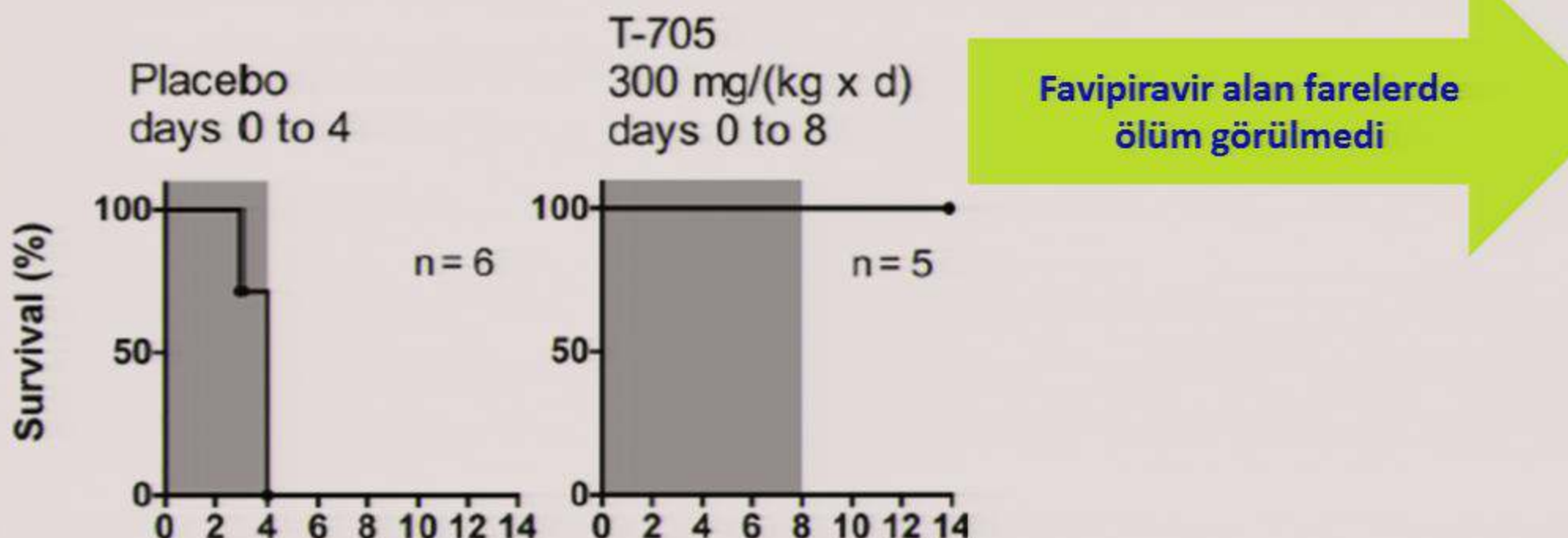


KKKA - Transgenik Fare Modelinde Favipiravir (T-705)

Favipiravir (T-705)	Favipiravir uygulama yolu
300 mg/kg/gün	300 FFU virüs inoküle edildi. Favipiravir aynı gün başlanıldı (iki doz). 8 gün süreyle oral yoldan (mide probuyla) verildi
Plasebo (metil selüloz)	300 FFU virüs inoküle edildi. Favipiravir aynı gün başlanıldı (iki doz). 8 gün süreyle oral yoldan (mide probuyla) verildi

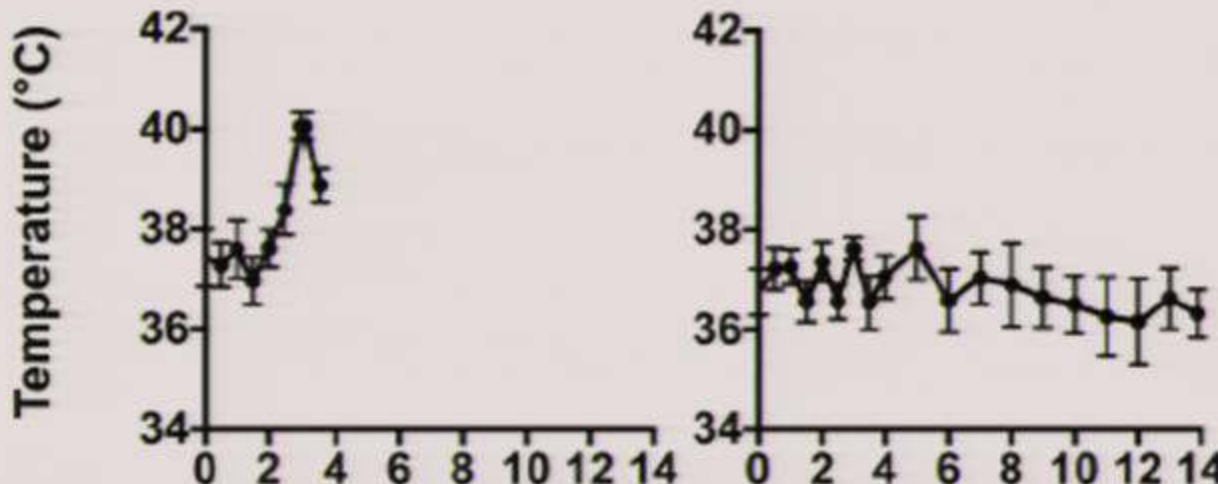
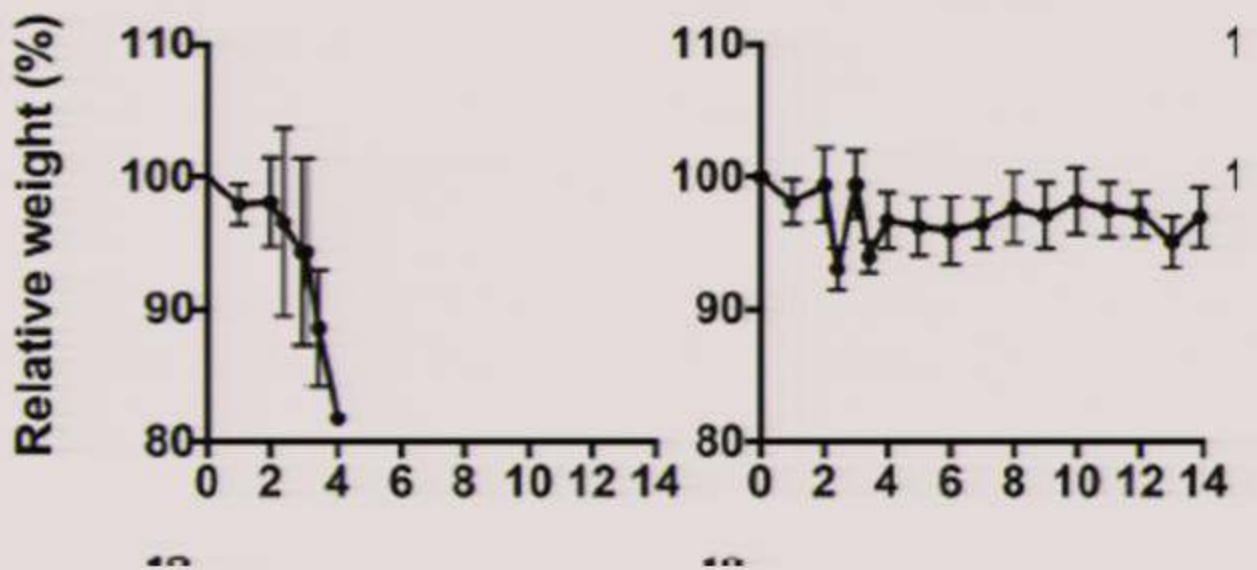
KKKA - Transgenik Fare Modelinde Favipiravir (T-705)

Favipiravir (T-705)	Favipiravir uygulama yolu
300 mg/kg/gün	300 FFU virüs inoküle edildi. Favipiravir aynı gün başlanıldı (iki doz). 8 gün süreyle oral yoldan (mide probuyla) verildi
Plasebo (metil selüloz)	300 FFU virüs inoküle edildi. Favipiravir aynı gün başlanıldı (iki doz). 8 gün süreyle oral yoldan (mide probuyla) verildi



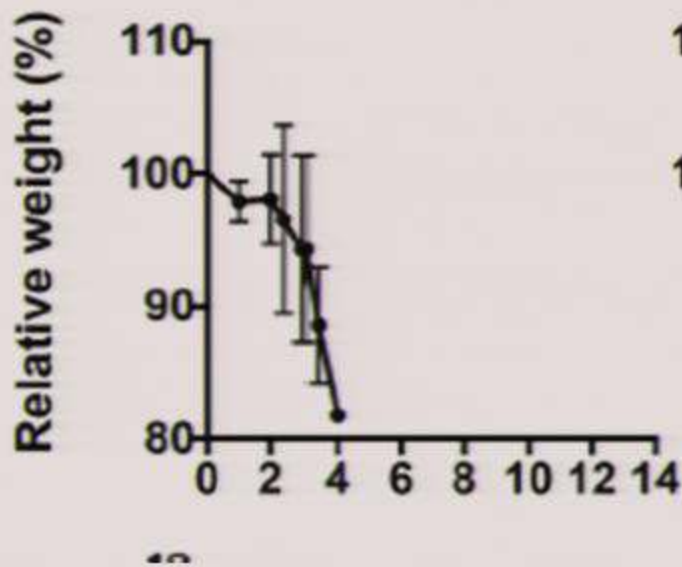
Plasebo

Favipiravir 300mg/kg/gün

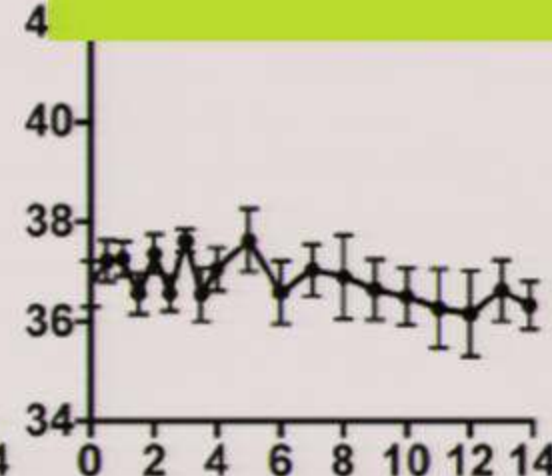
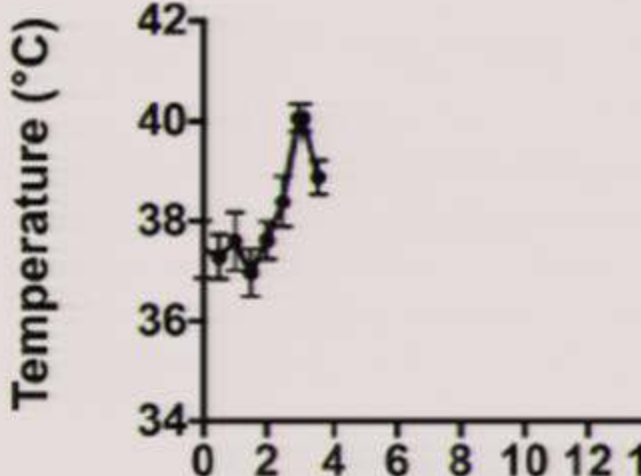


Plasebo

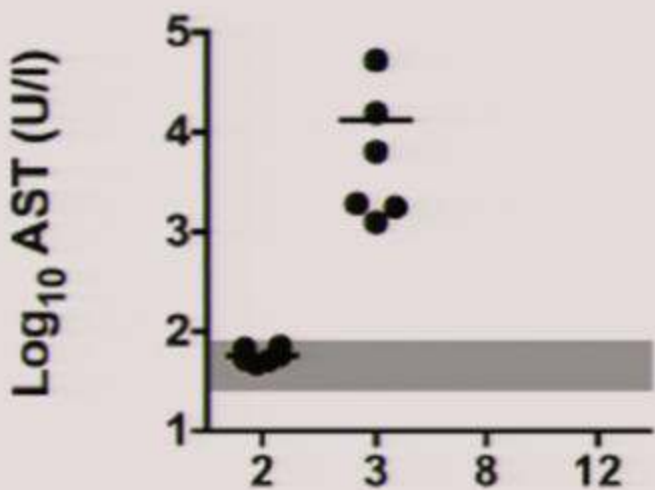
Favipiravir 300mg/kg/gün



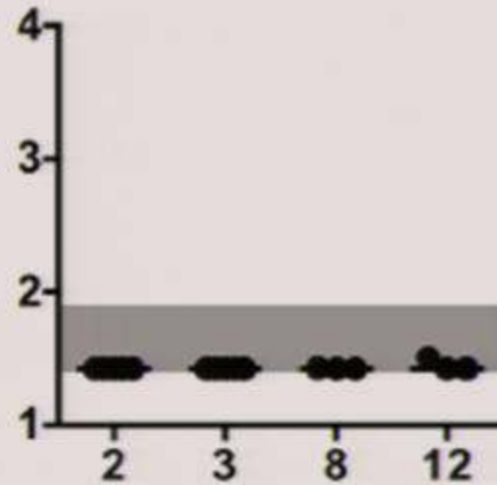
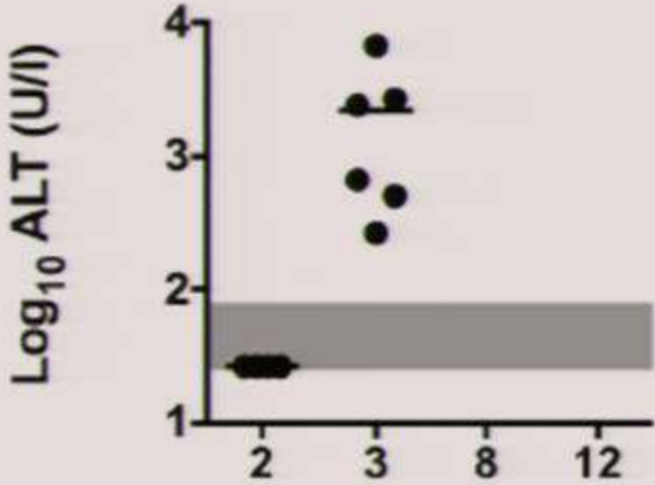
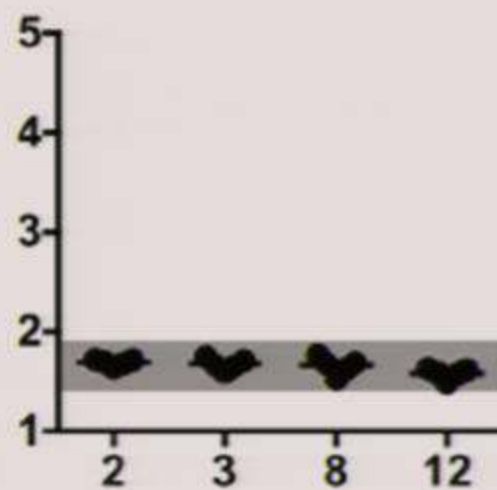
Favipiravir alan farelerde
semptom görülmedi



Plasebo

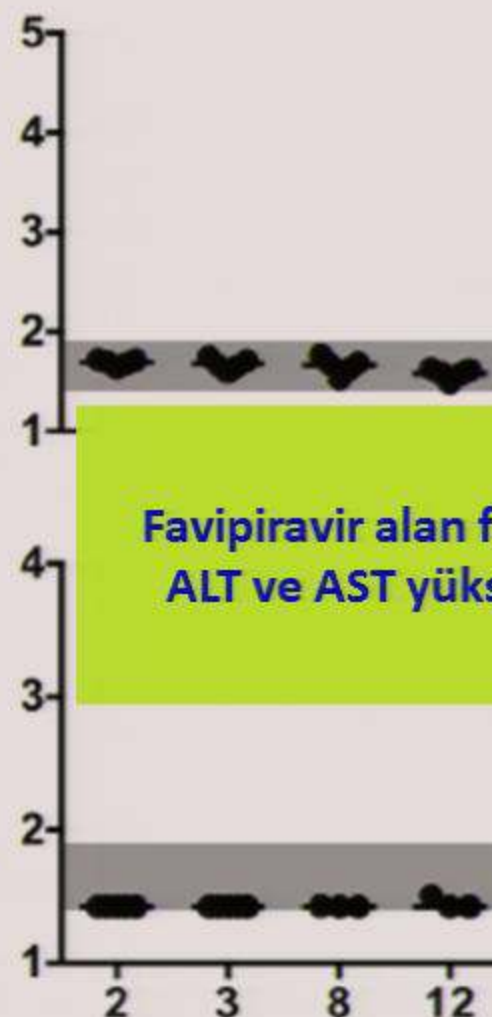
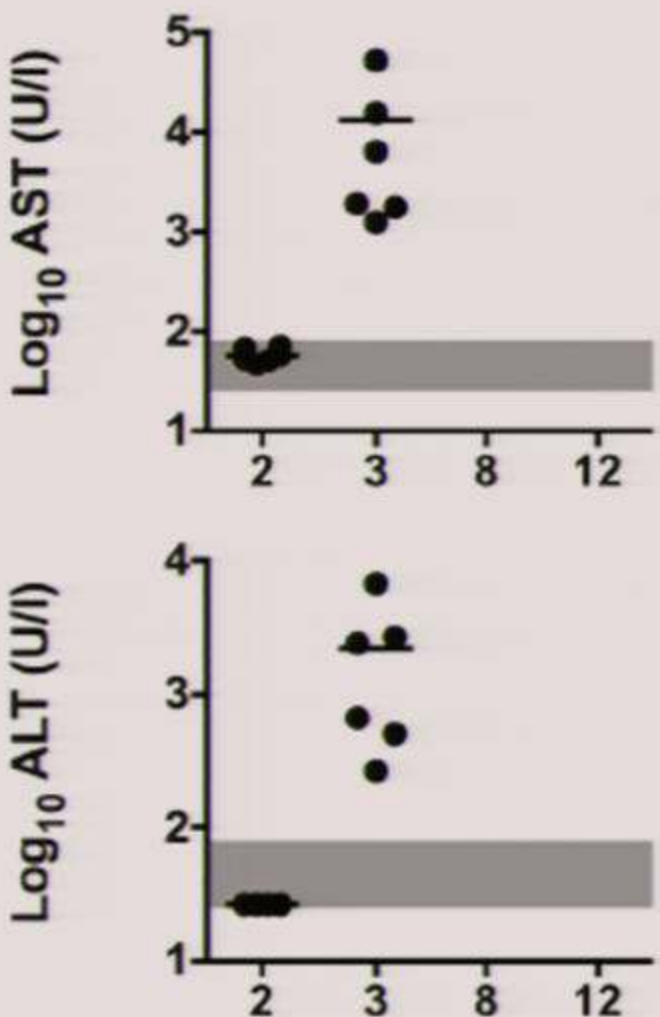


Favipiravir 300mg/kg/gün



Plasebo

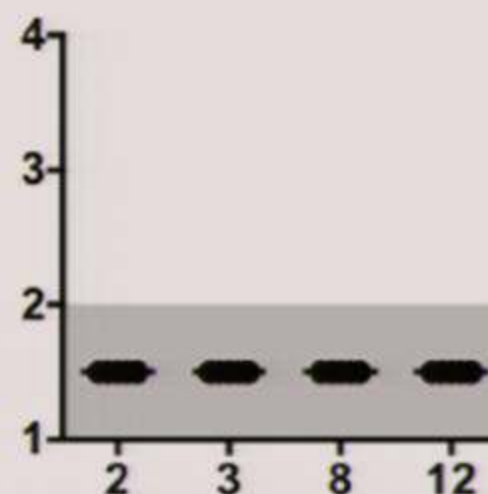
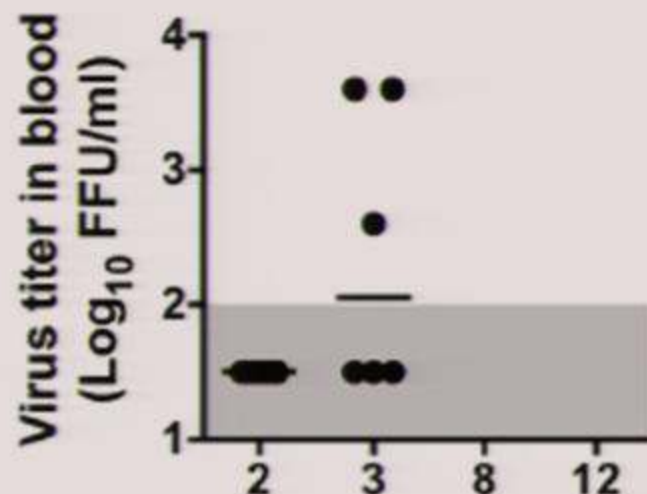
Favipiravir 300mg/kg/gün



Favipiravir alan farelerde
ALT ve AST yükselmeye

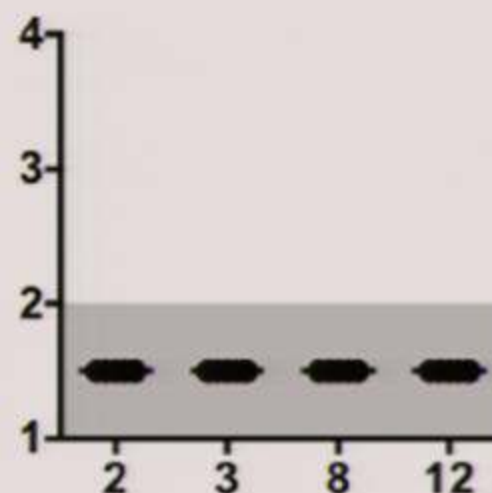
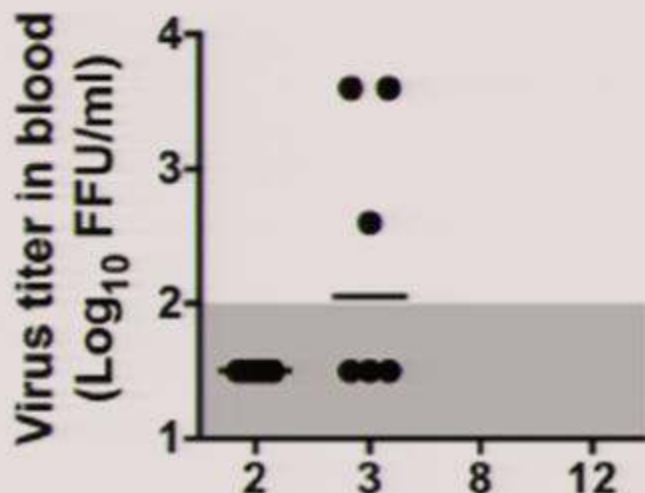
Plasebo

Favipiravir 300mg/kg/gün



Plasebo

Favipiravir 300mg/kg/gün

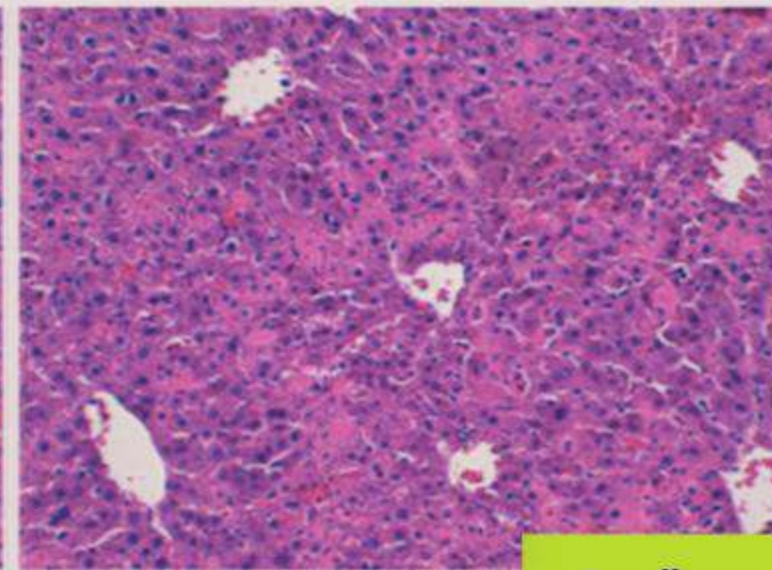
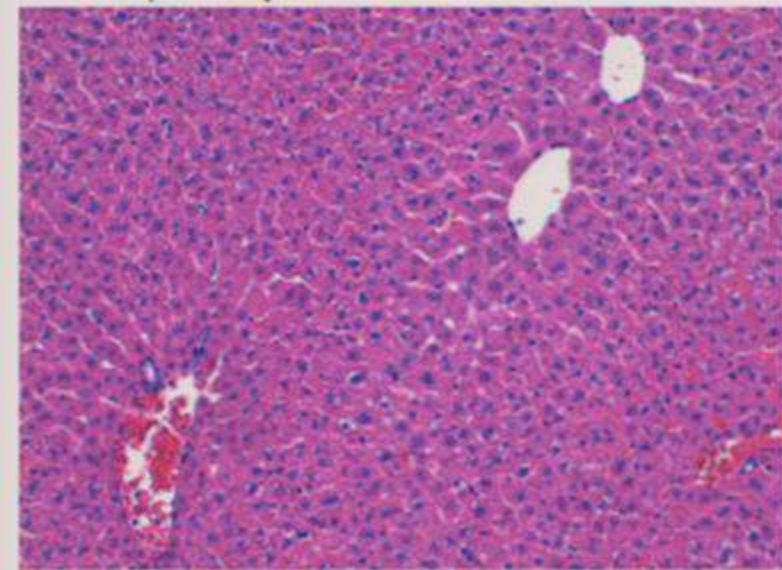


Favipiravir alan farelerin
serumunda ve organlarında
virüs saptanmadı

Naïve

Infected

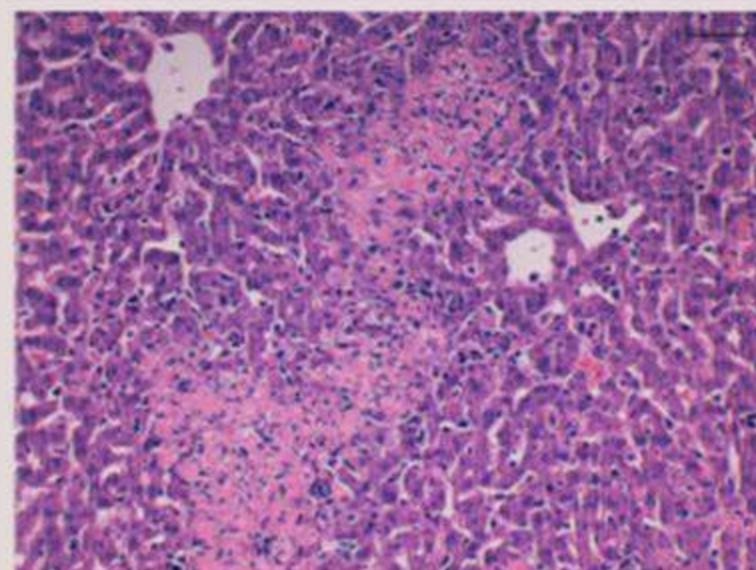
Liver (H&E)



Infected + ribavirin

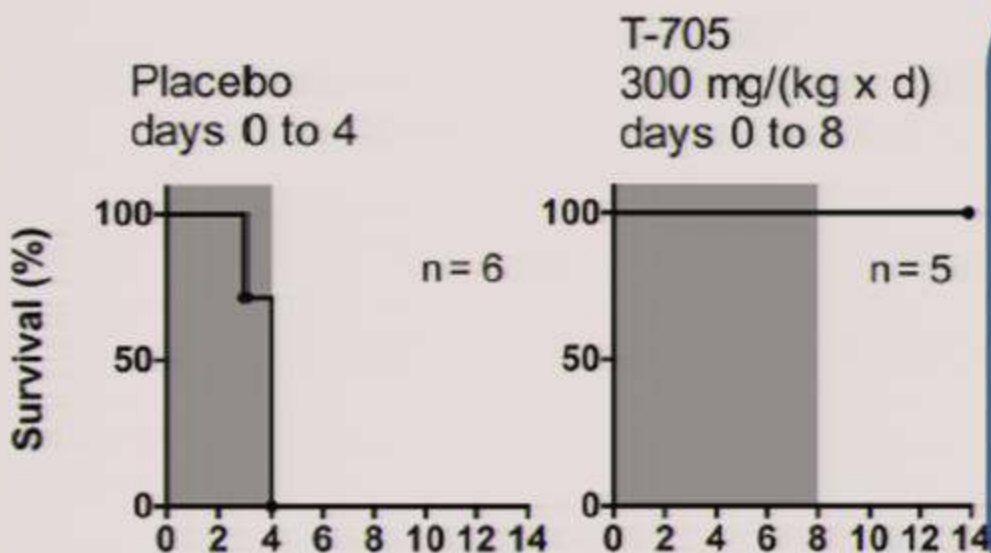
Infected + T-705

3. gün yapılan histopatolojik incelemede hemen hemen normal karaciğer bulguları



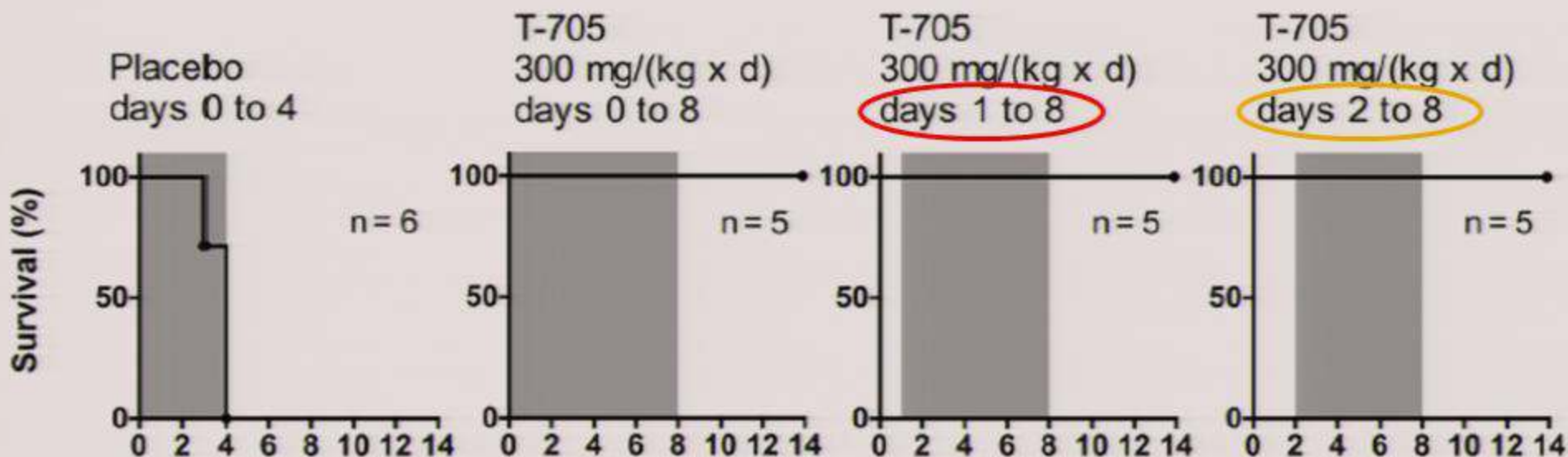
İnfekte + Favipavir (T-705)

Favipiravir (T-705) “Geç” uygulama



Favipiravir (T-705)

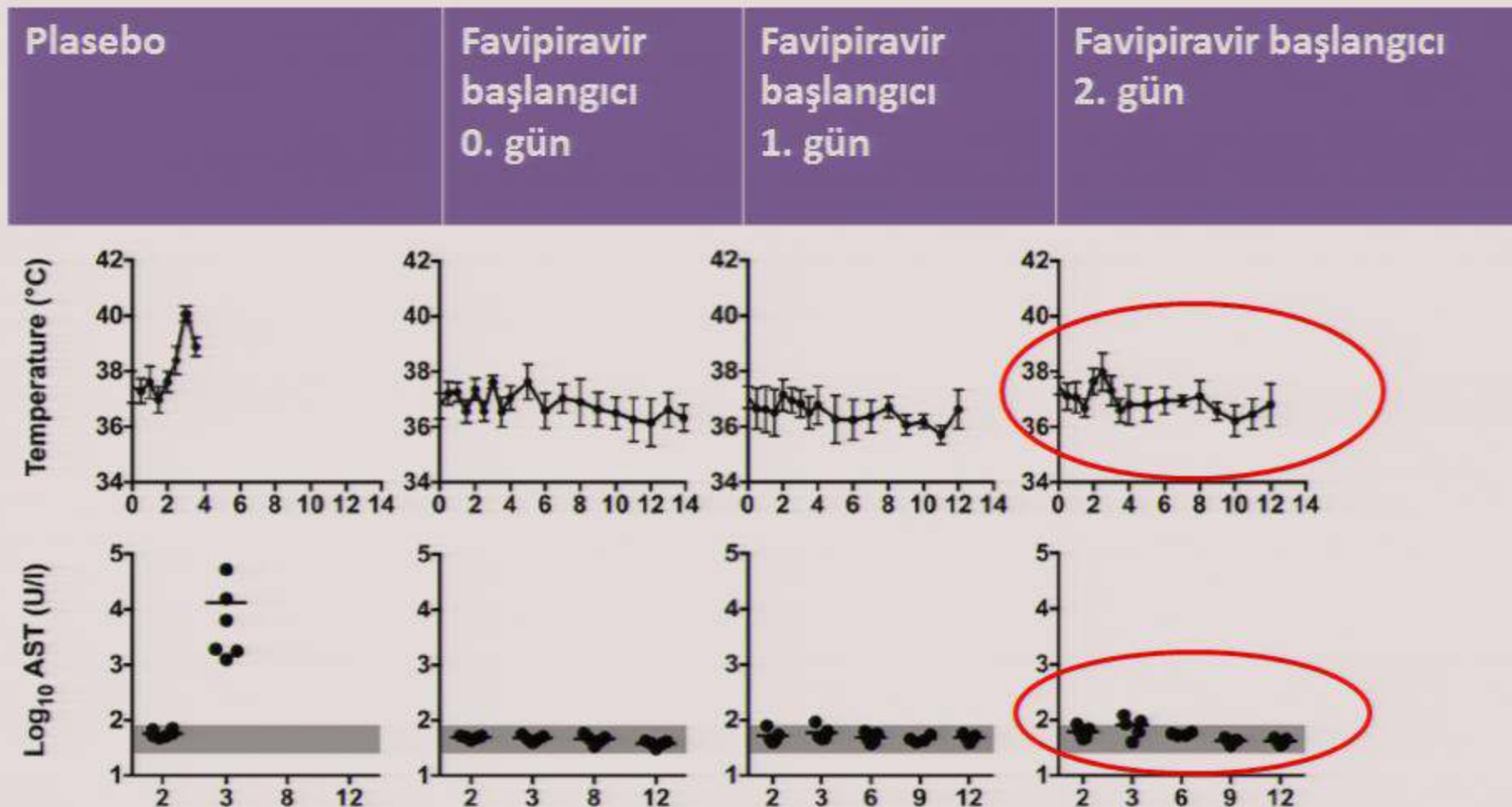
“Geç” uygulama



Favipiravir (T-705) “Geç” uygulama

İnokülasyondan sonra Favipiravir başlama zamanı	21. günde serumda KKKA virüsüne karşı antikor pozitifliği
0.gün	1/10 (%10)
1. gün	10/10 (%100)
2. gün	

Favipiravir (T-705) "Geç" uygulama



Favipiravir (T-705) - Optimal Doz

Favipiravir (T-705)

Plasebo (metil selüloz)

30 mg/kg/gün

15 mg/kg/gün

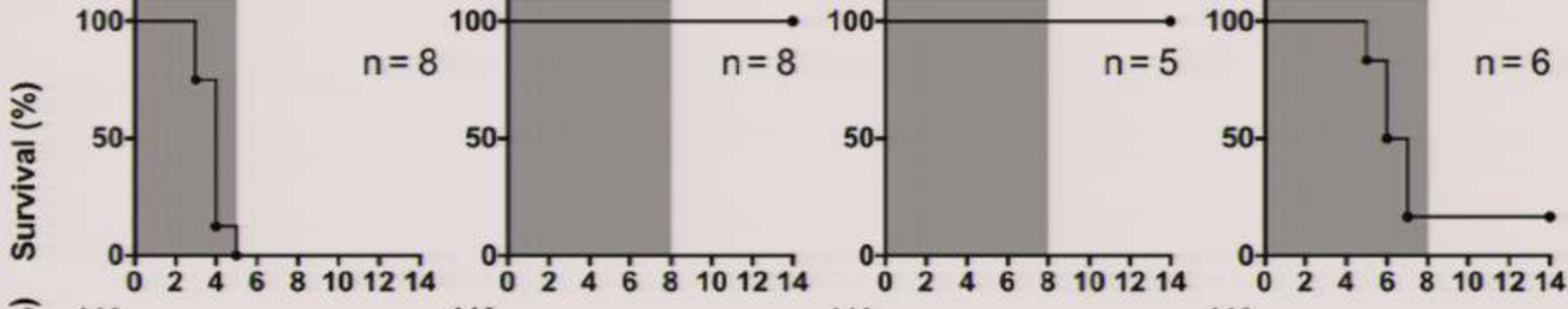
7,5 mg/kg/gün

Placebo
days 0 to 5

T-705
30 mg/(kg x d)
days 0 to 8

T-705
15 mg/(kg x d)
days 0 to 8

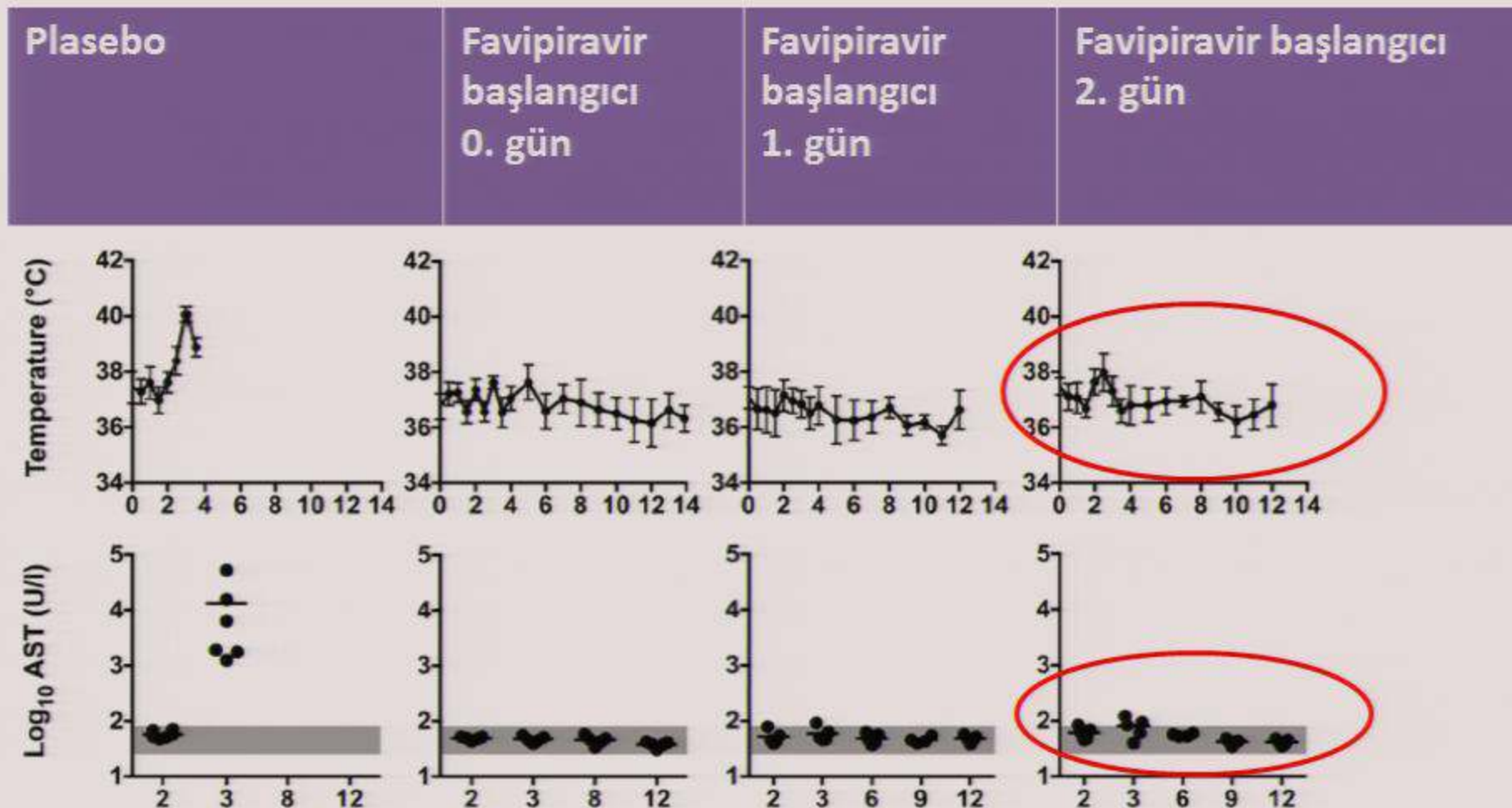
T-705
7.5 mg/(kg x d)
days 0 to 8



Favipiravir (T-705) “Geç” uygulama

İnokülasyondan sonra Favipiravir başlama zamanı	21. günde serumda KKKA virüsüne karşı antikor pozitifliği
0.gün	1/10 (%10)
1. gün	10/10 (%100)
2. gün	

Favipiravir (T-705) "Geç" uygulama



Favipiravir (T-705) “Geç” uygulama

İnokülasyondan sonra Favipiravir başlama zamanı	21. günde serumda KKKA virüsüne karşı antikor pozitifliği
0.gün	1/10 (%10)
1. gün	10/10 (%100)
2. gün	

Favipiravir (T-705) - Optimal Doz

Favipiravir (T-705)

Plasebo (metil selüloz)

30 mg/kg/gün

15 mg/kg/gün

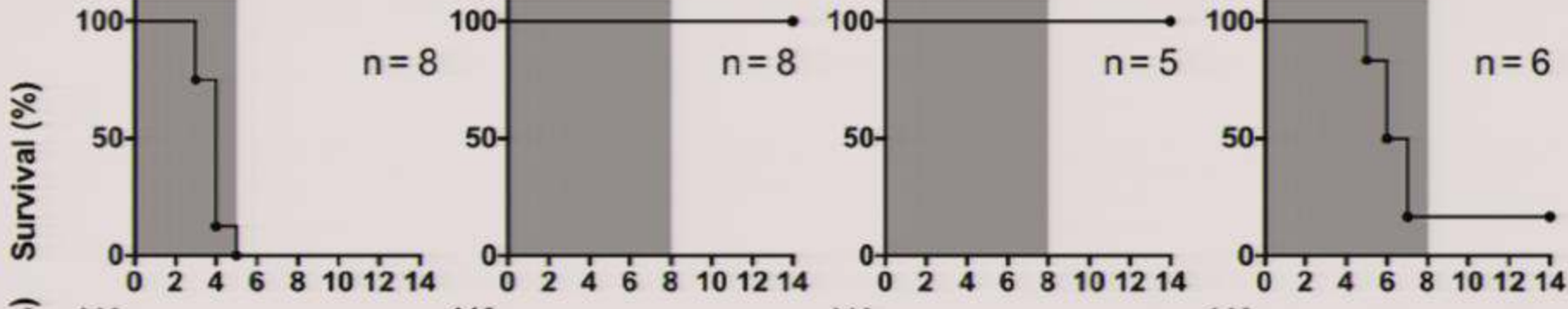
7,5 mg/kg/gün

Placebo
days 0 to 5

T-705
30 mg/(kg x d)
days 0 to 8

T-705
15 mg/(kg x d)
days 0 to 8

T-705
7.5 mg/(kg x d)
days 0 to 8

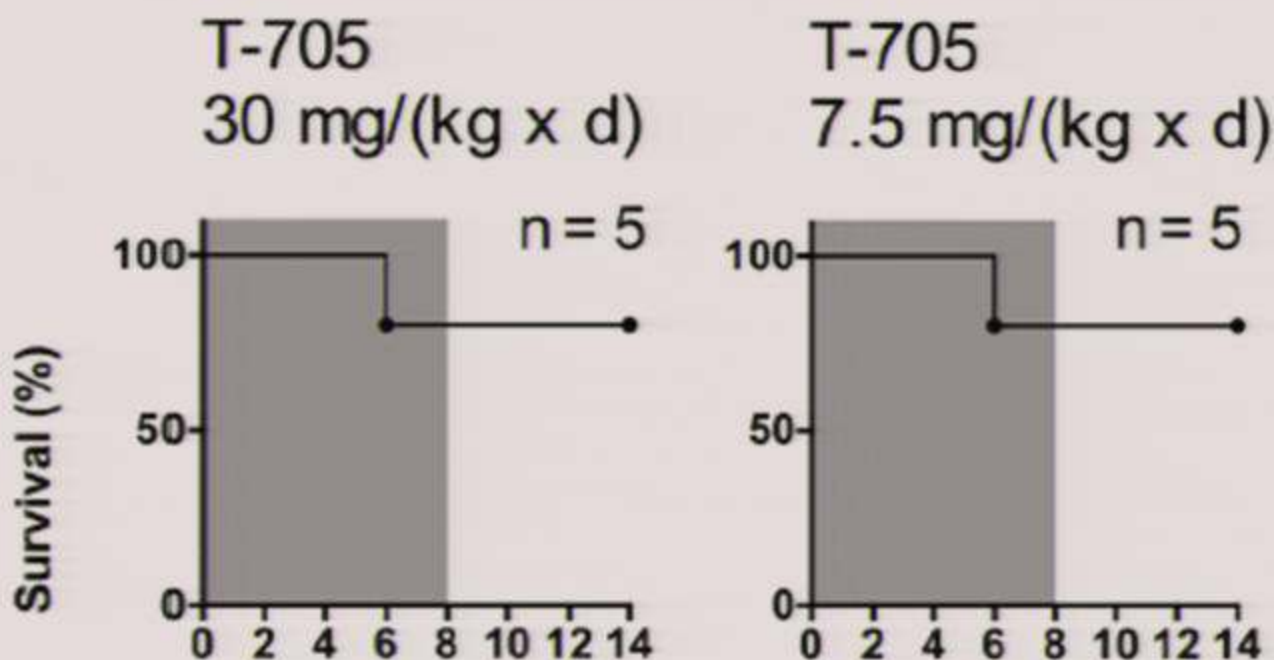


KKKA - Transgenik fare modelinde Favipiravir (T-705)

- İnokülasyon ile aynı gün başlanılan 300 mg Favipiravir
 - Enfeksiyon gelişimini önledi.
 - Hastalık belirti ve bulguları oluşmadı.
- Geç başlanılan (1. veya 2. gün) Favipiravir
 - Enfeksiyon gelişti (*serolojik yanıt*)
 - Hastalık belirti ve bulgularını büyük ölçüde görülmeli
 - Fatal seyir görülmeli.

Ribavirin + Favipiravir kombinasyonu

Ribavirin 100 mg/(kg x d)



Ribavirin + Favipiravir kombinasyonu

Ribavirin

Monoterapi

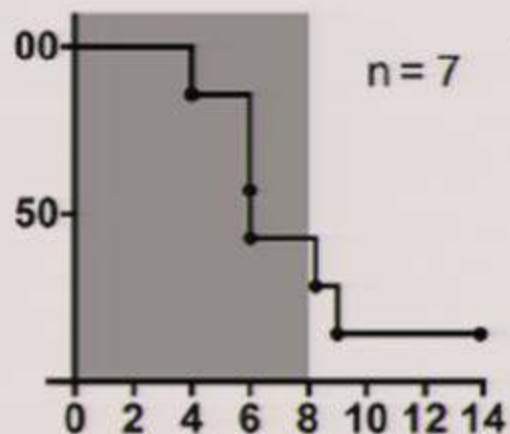
100 mg/kg/gün

Favipiravir

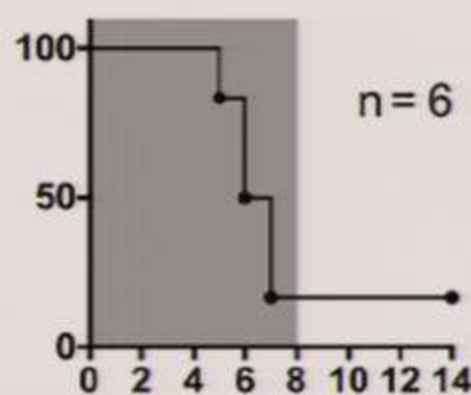
Monoterapi

7,5 mg/kg/gün

Ribavirin
100 mg/(kg x d)
days 0 to 8



T-705
7.5 mg/(kg x d)
days 0 to 8



KKKA - Transgenik fare modelinde Favipiravir (T-705)

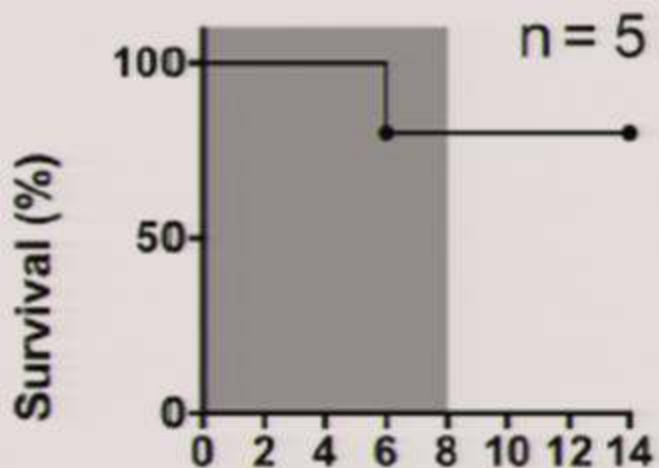
- İnokülasyon ile aynı gün başlanılan 300 mg Favipiravir
 - Enfeksiyon gelişimini önledi.
 - Hastalık belirti ve bulguları oluşmadı.
- Geç başlanılan (1. veya 2. gün) Favipiravir
 - Enfeksiyon gelişti (*serolojik yanıt*)
 - Hastalık belirti ve bulgularını büyük ölçüde görülmeli
 - Fatal seyir görülmeli.

Ribavirin + Favipiravir kombinasyonu

Ribavirin 100 mg/(kg x d)

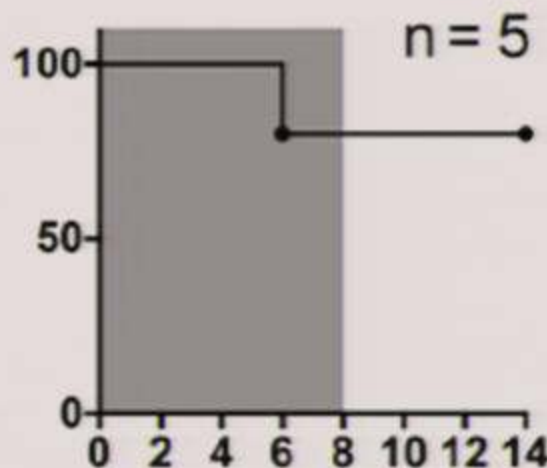
T-705

30 mg/(kg x d)



T-705

7.5 mg/(kg x d)



Ribavirin + Favipiravir kombinasyonu

Ribavirin

Monoterapi

100 mg/kg/gün

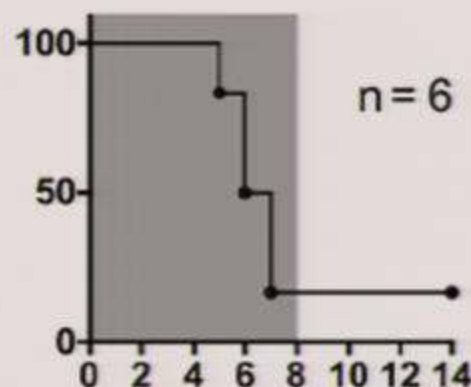
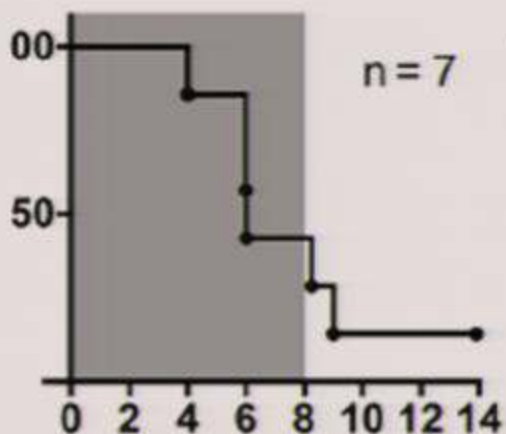
Favipiravir

Monoterapi

7,5 mg/kg/gün

Ribavirin
100 mg/(kg x d)
days 0 to 8

T-705
7.5 mg/(kg x d)
days 0 to 8



Ribavirin + Favipiravir kombinasyonu

Ribavirin

Monoterapi

100 mg/kg/gün

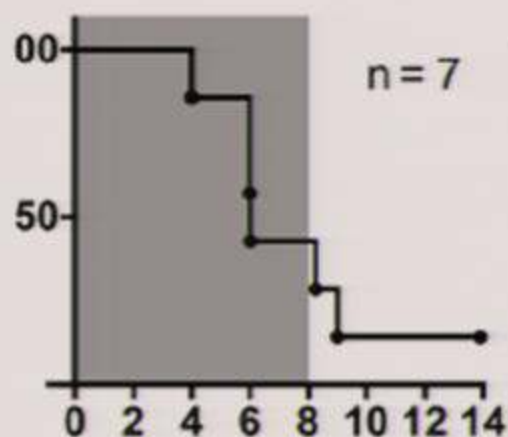
Favipiravir

Monoterapi

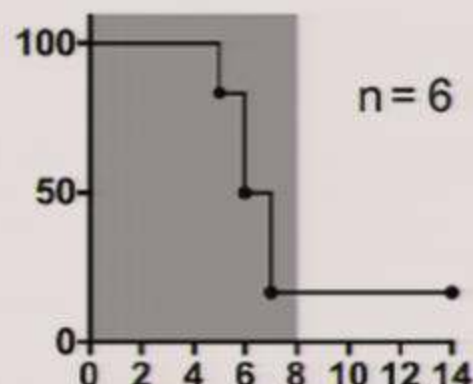
7,5 mg/kg/gün

Ribavirin + Favipiravir

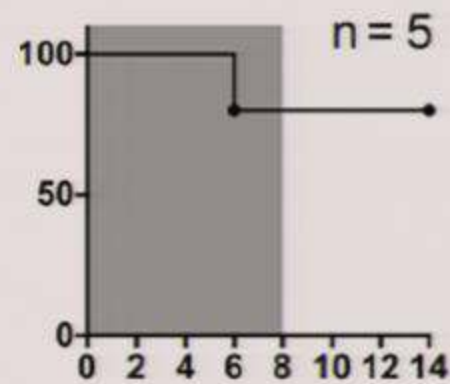
Ribavirin
100 mg/(kg x d)
days 0 to 8



T-705
7.5 mg/(kg x d)
days 0 to 8



T-705
7.5 mg/(kg x d)



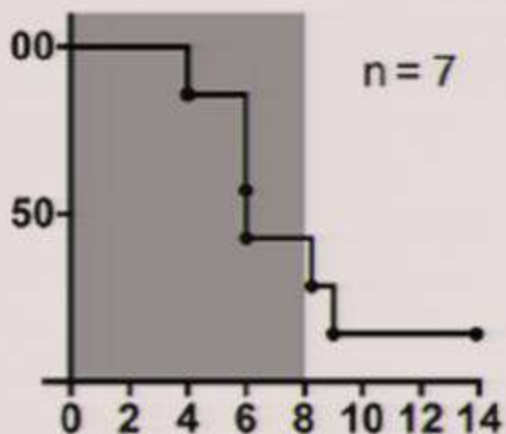
Ribavirin + Favipiravir kombinasyonu

Ribavirin

Monoterapi

100 mg/kg/gün

Ribavirin
100 mg/(kg x d)
days 0 to 8

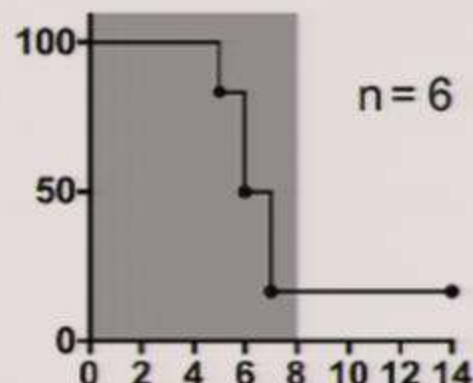


Favipiravir

Monoterapi

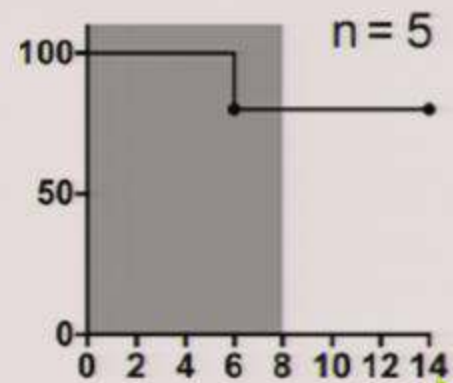
7,5 mg/kg/gün

T-705
7.5 mg/(kg x d)
days 0 to 8



Ribavirin + Favipiravir

T-705
7.5 mg/(kg x d)



Ribavirin + Favipiravir
SİNERJİSTİK etki göstermiştir.

A Novel Vaccine against Crimean-Congo Haemorrhagic Fever Protects 100% of Animals against Lethal Challenge in a Mouse Model

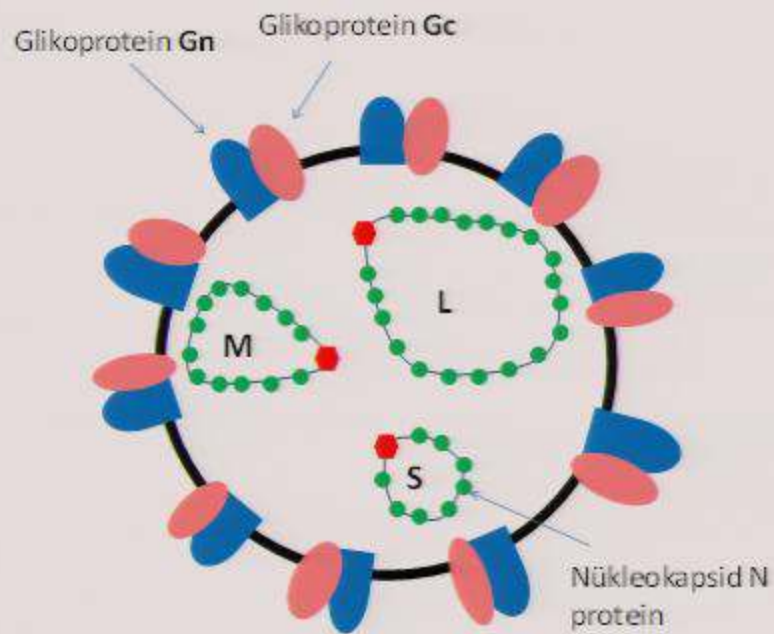
Karen R. Buttigieg, Stuart D. Dowall, Stephen Findlay-Wilson, Aleksandra Miloszewska, Emma Rayner, Roger Hewson*, Miles W. Carroll

Microbiology Services Research, Public Health England, Porton Down, Wiltshire, United Kingdom

Abstract

Crimean-Congo Haemorrhagic Fever (CCHF) is a severe tick-borne disease, endemic in many countries in Africa, the Middle East, Eastern Europe and Asia. Between 15–70% of reported cases are fatal. There is no approved vaccine available, and preclinical protection *in vivo* by an experimental vaccine has not been demonstrated previously. In the present study, the attenuated poxvirus vector, Modified Vaccinia virus Ankara, was used to develop a recombinant candidate vaccine expressing the CCHF virus glycoproteins. Cellular and humoral immunogenicity was confirmed in two mouse strains, including type I interferon receptor knockout mice, which are susceptible to CCHF disease. This vaccine protected all recipient animals from lethal disease in a challenge model adapted to represent infection via a tick bite. Histopathology and viral load analysis of protected animals confirmed that they had been exposed to challenge virus, even though they did not exhibit clinical signs. This is the first demonstration of efficacy of a CCHF vaccine.

- **Modifiye vaksiniya Ankara** (*Modified vaccinia Ankara*) çiçek aşısı suşuna KKKA virüsünün M genomu yerleştiriliyor.
- M segmenti yüzey glikoproteini (Gn ve Gc) sentezini düzenler.
- Gn ve Gc glikoproteinleri virüsün konak hücreye tutunmasında rol alır.
- Konak hücresinden Gn ve Gc'ye karşı antikor yanıtı oluşur.



Test edilen aşılar

- Modifiye vaksiniya Ankara-KKKA virüsü glikoproteini içeren suş (**MVA-GP**)
- Modifiye vaksiniya Anakara (**MVA**) suşu
- **Plasebo** (SF)

Denekler



- Transgenik fareler (5-8) haftalık.
- **0. ve 14. gün** iki doz aşısı yapılıyor.
- Aşılanan fareler **28. gün** (*rapelden 14 gün sonra*) KKKA virüsü ile intraperitoneal yoldan enfekte ediliyor.
- **42. gün** izlem sonlandırılıyor.

Aşı susu	İçerdiği viral yük	Aşı volümü ve veriliş yolu
MVA-GP	10^7 pfu	100 µl İM yolla
MVA	10^7 pfu	100 µl İM yolla
Plasebo (SF)	-	100 µl İM yolla

Rapel dozdan 7 gün sonra KKKA virüsüne karşı hücresel immün yanıt

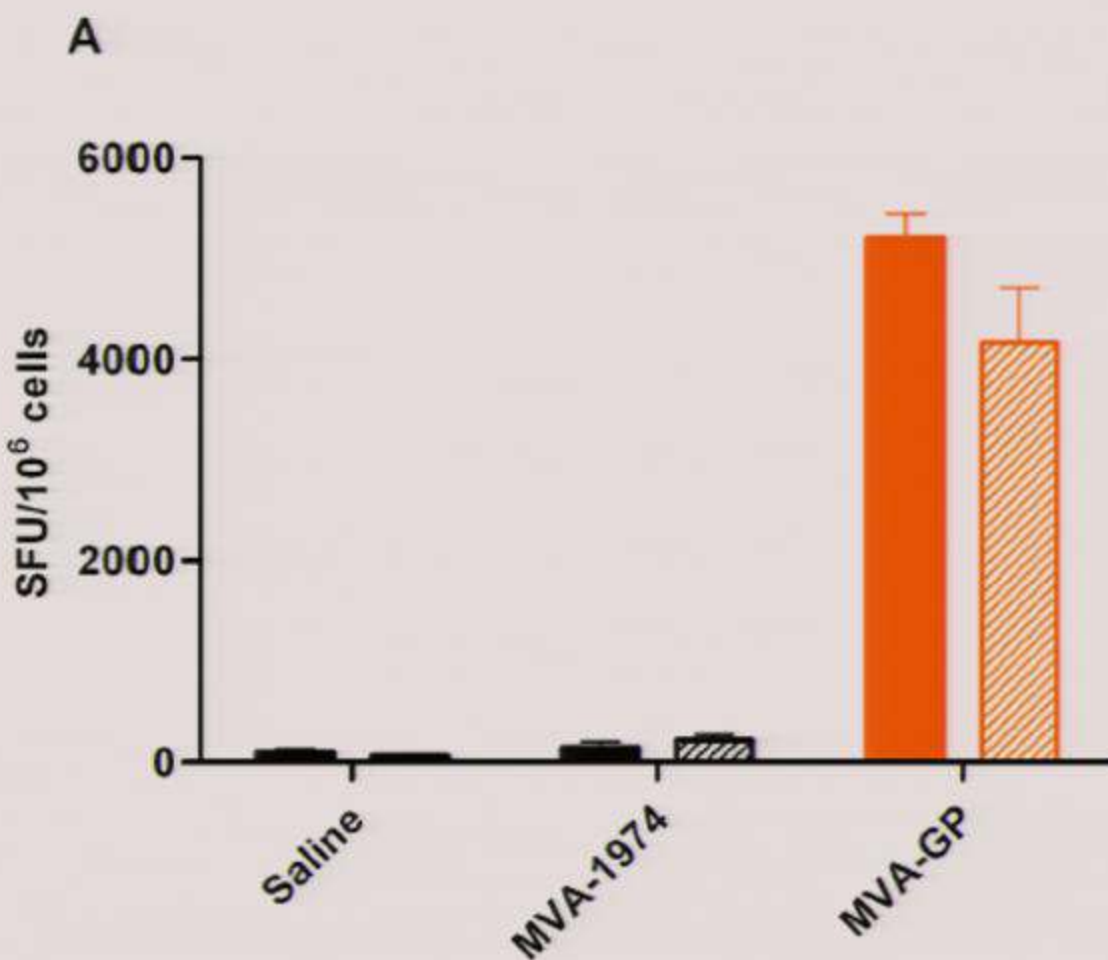


Figure 3. IFN- γ ELISpot responses from vaccinated A129 and 129Sv/Ev mice, 7 days after booster vaccination. Splenocytes

Rapel dozdan 14 gün sonra KKKA virüsüne karşı humoral immün yanıt

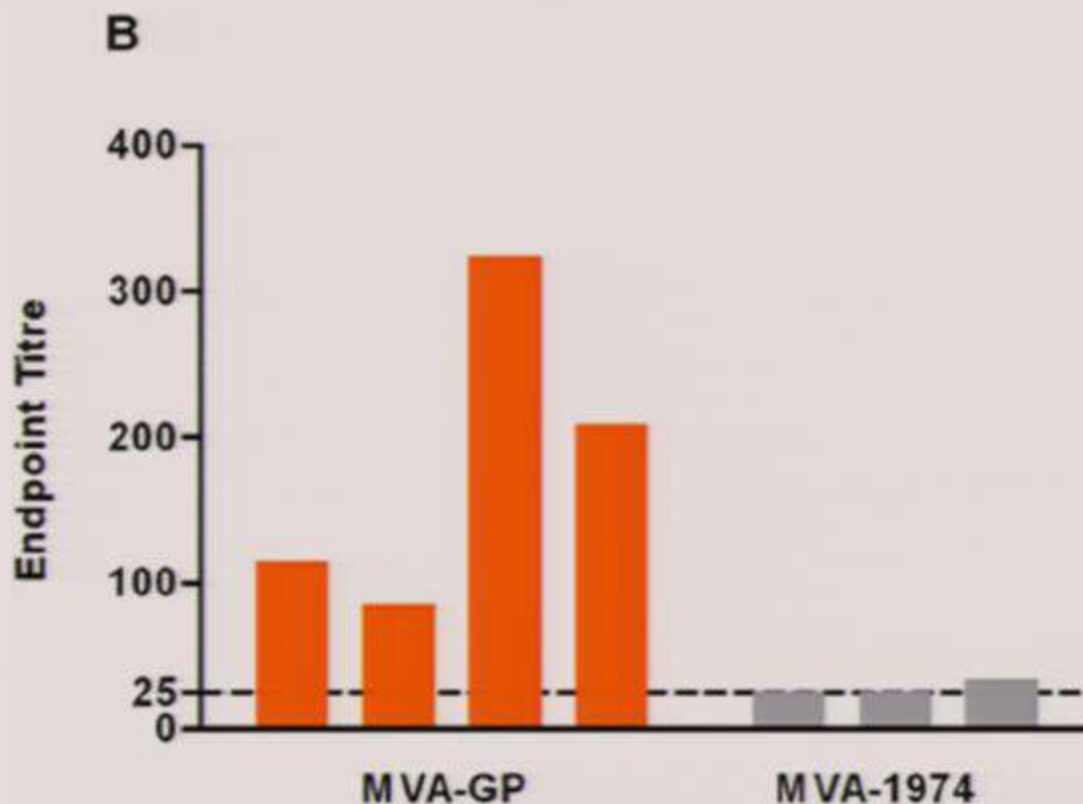
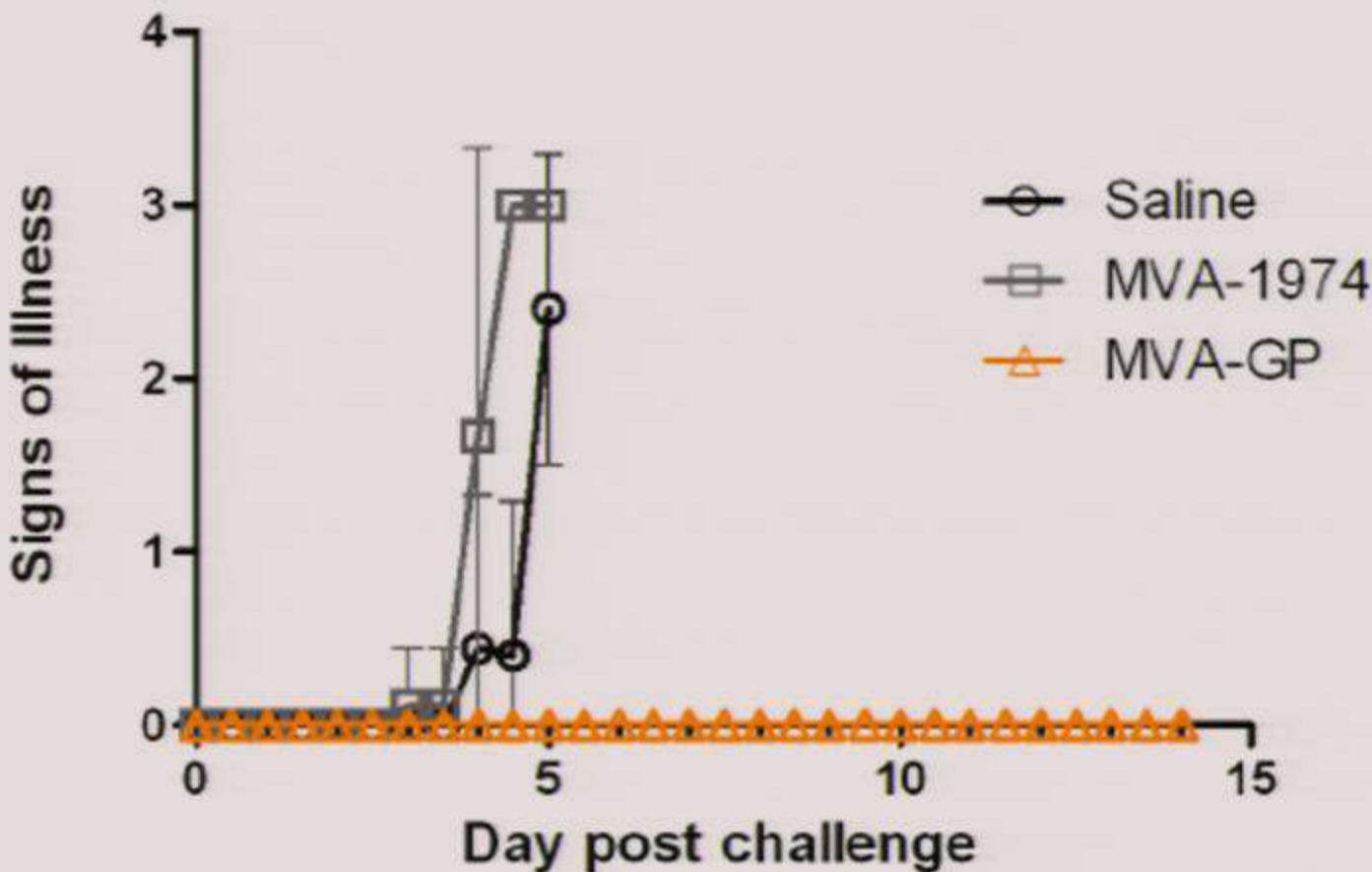
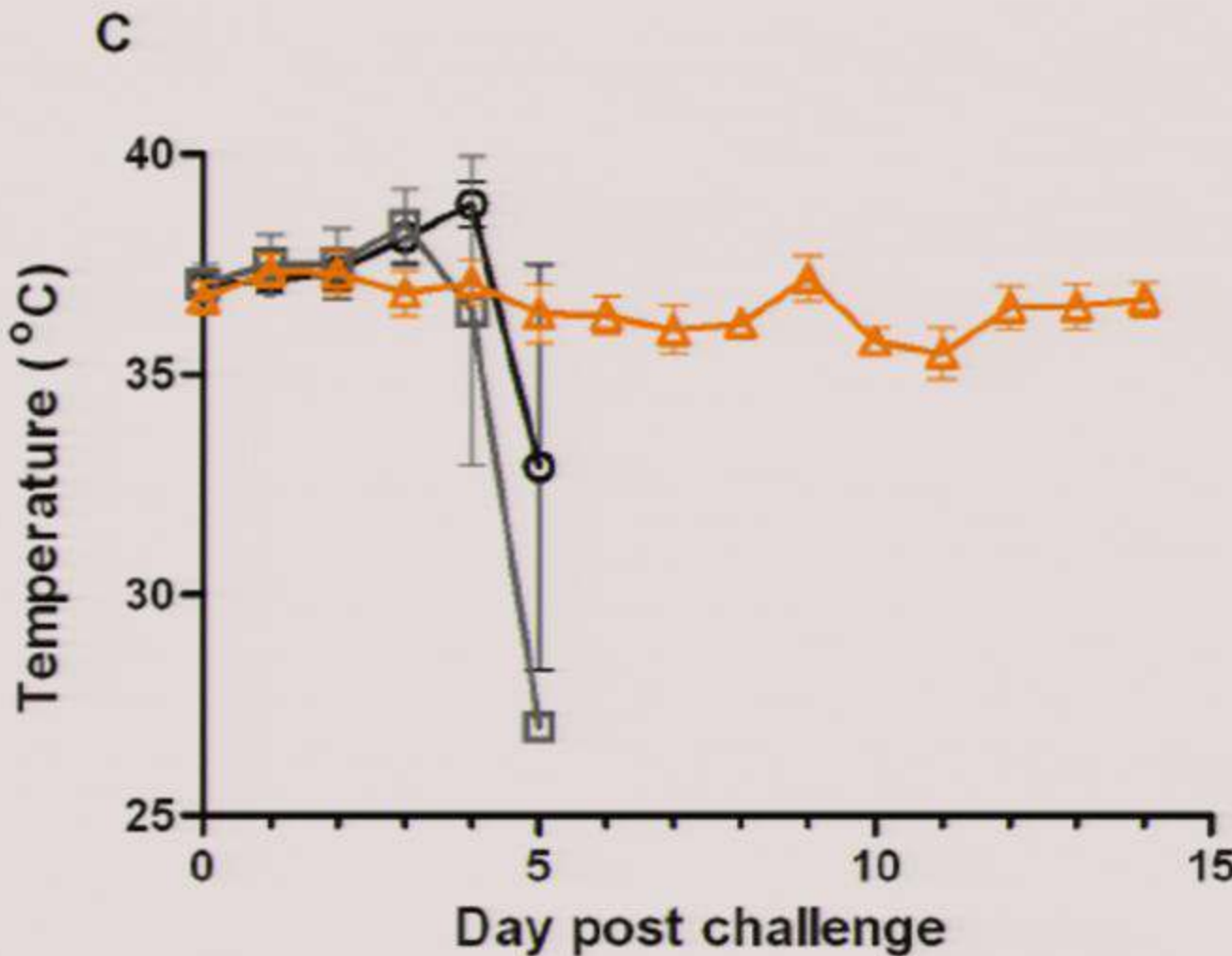


Figure 5. ELISA analysis of antibodies from A129 mice, 14 days after booster vaccination. Pooled sera from A129 mice, 14 days after booster vaccination with MVA-GP (orange) or MVA 1974 (grey), were

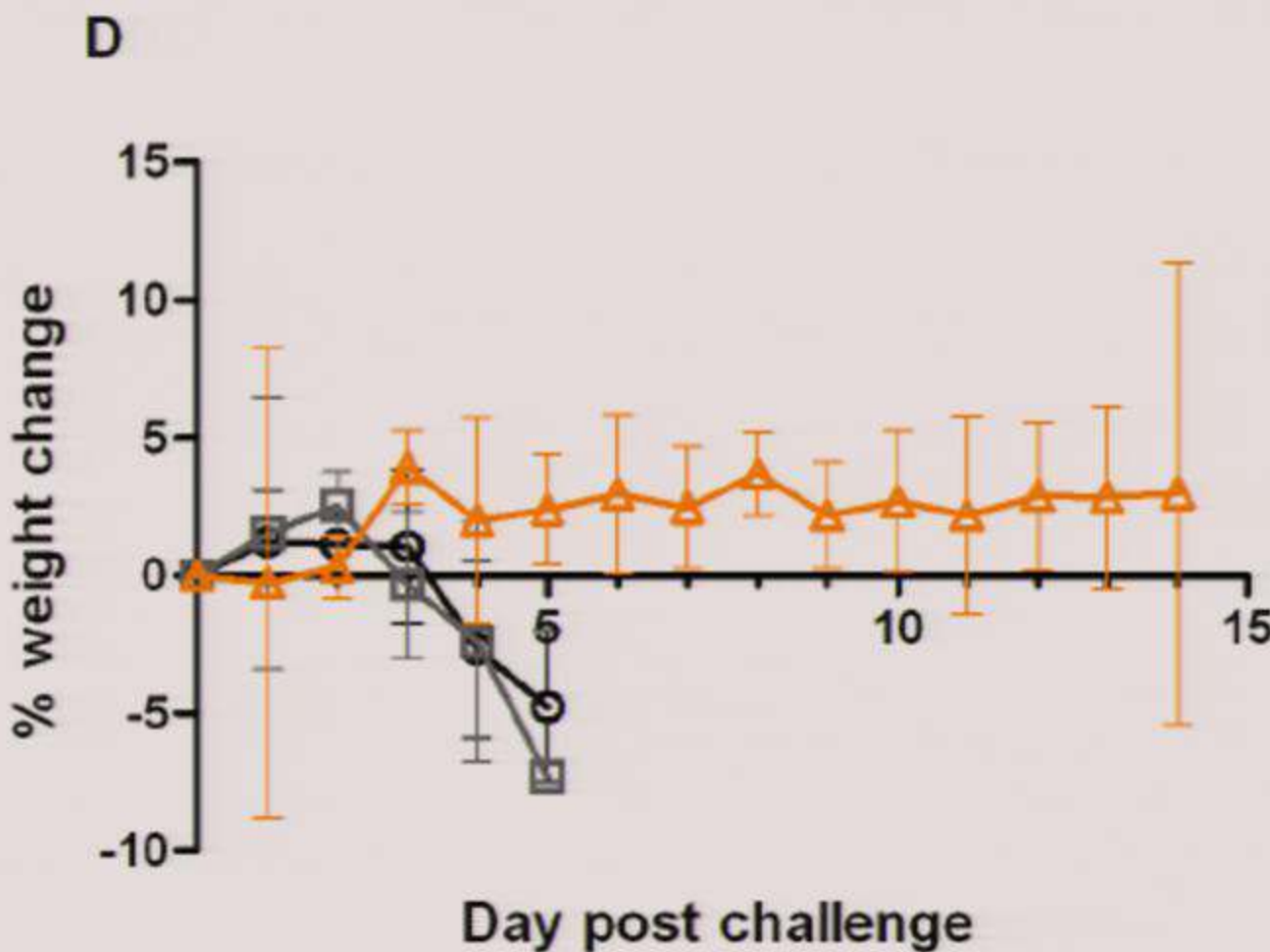
Virüs inokülasyonundan sonra hastalık belirtileri



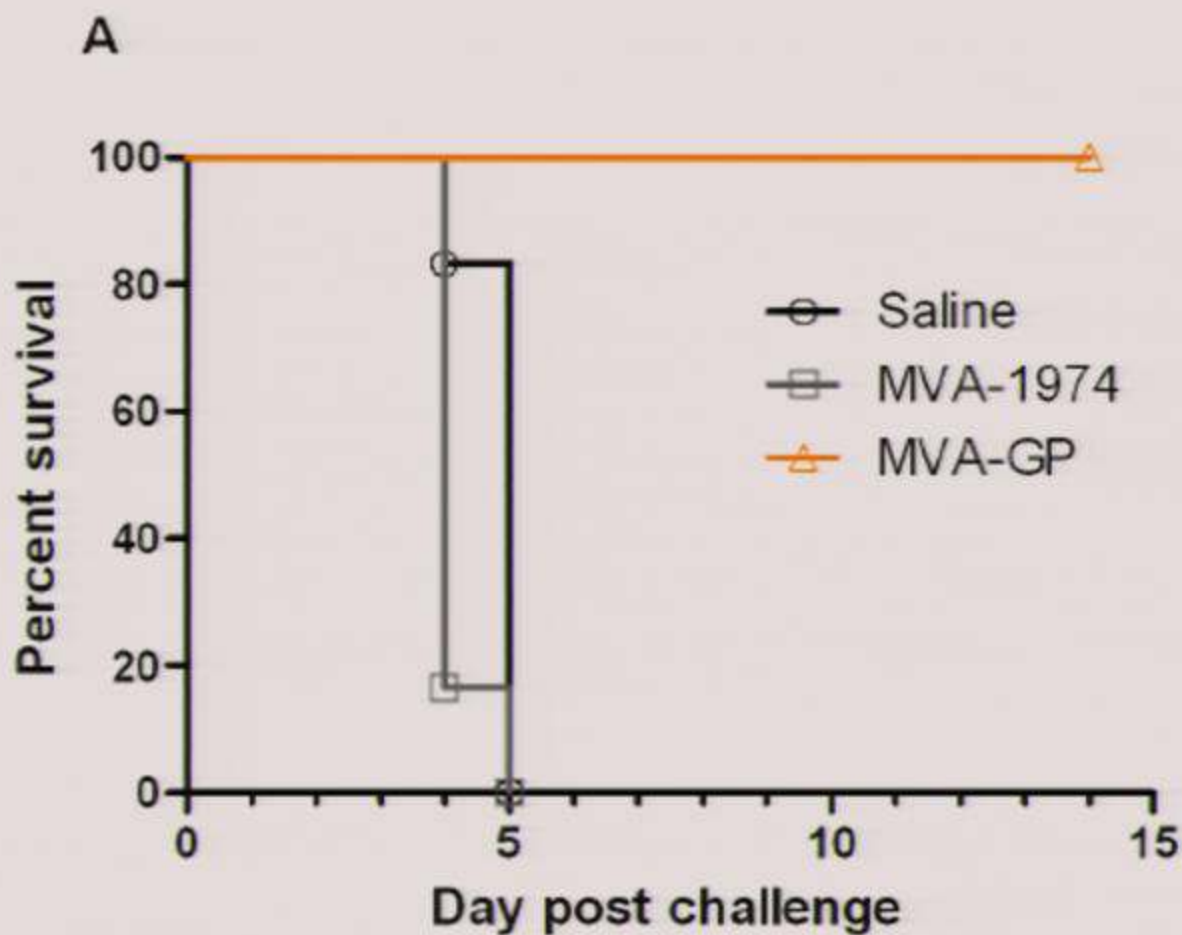
Virüs inokülasyonundan sonra ateş



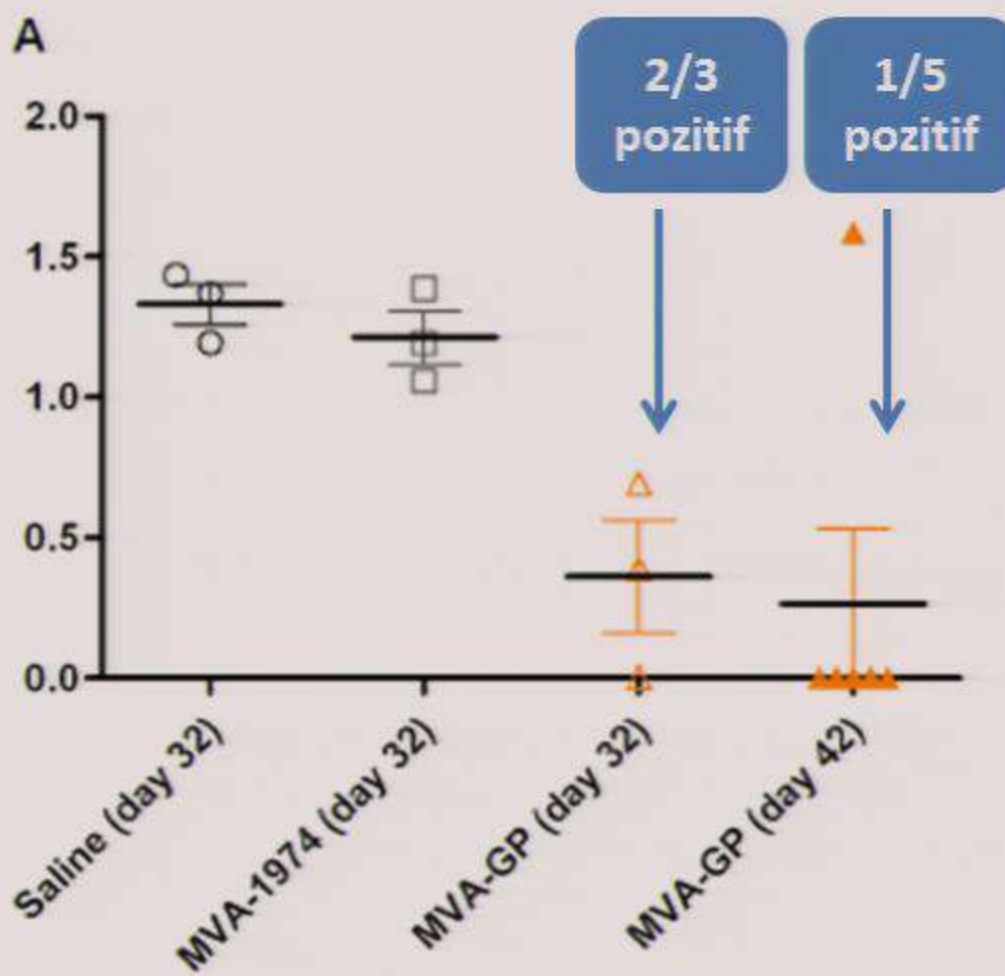
Virüs inokülasyonundan sonra vücut ağırlığı



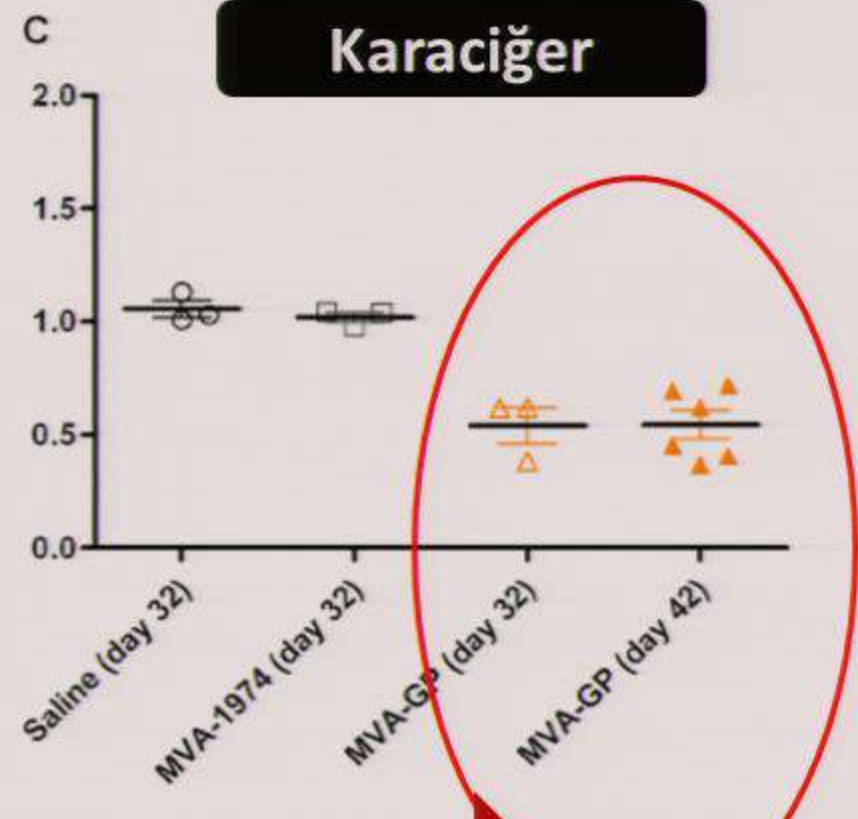
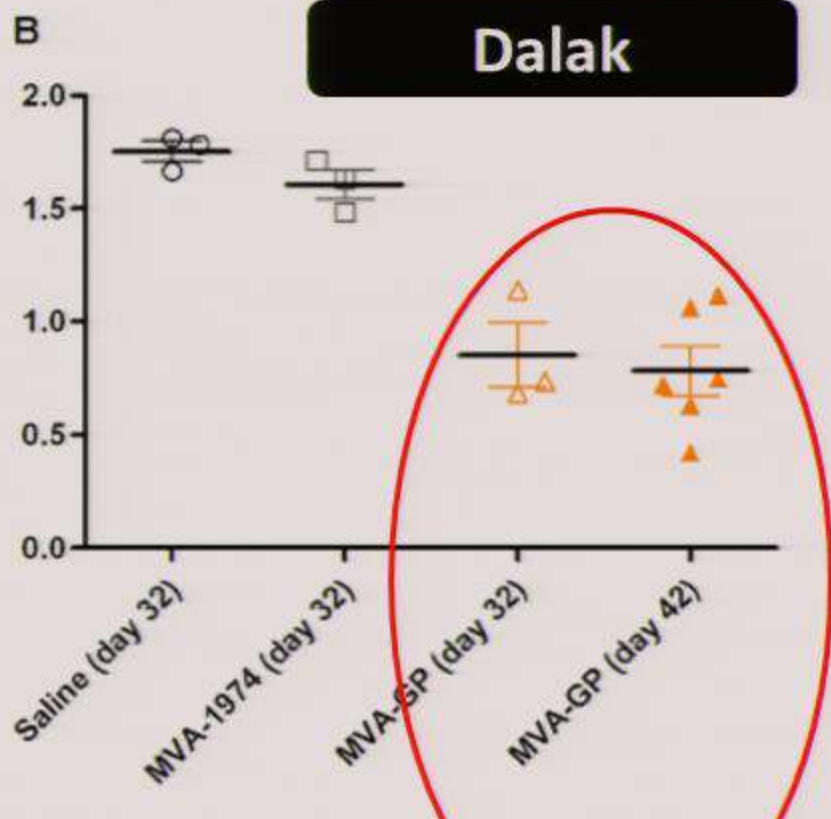
Virüs inokülasyonundan sonra sağ kalım



İnokülasyon sonrası kanda viral RNA



İnokülasyon sonrası dokularda viral RNA



Tüm dokularda viral RNA pozitif

Kan ve dokulardaki viral RNA infektif mi?

- Dokulardan hazırlana süspansiyonlar hüce kültürüne ekliyor.
- 48 saat sonunda sitopatik etki yok
- Daha uzun inkübasyon????

KKKA virüs Aşısı

- MVA-GP aşısı denek farelerde hastalık gelişimini önlüyor.
- Fatalite görülmüyor.
- Ancak aşının bu başarısına rağmen kan ve dokularda viral RNA saptanıyor.

Hantavirüs



Hantaan virüs (HNTV)	İnsanlarda RSKA	Kemirici (<i>Apodemus agrarius</i> – Asya tipi)	Asya
Amur virüs (AMRV)	İnsanlarda RSKA	Kemirici (<i>Apodemus peninsulae</i>)	Asya
Seoul virus (SEOV)	İnsanlarda RSKA	Kemirici (<i>Rattus norvegicus</i>)	Tüm dünya
Puumala virüs (PUUV)	İnsanlarda RSKA	Kemirici (<i>Myodes glareolus</i>)	Batı Avrupa, Türkiye
Dobrova virüs (DOBV)	İnsanlarda RSKA	Kemirici (<i>Apodemus flavicollis</i>)	Doğu Avrupa, Türkiye
Saaremaa virüs (SAAV)	İnsanlarda RSKA	Kemirici (<i>Apodemus agrarius</i> - Avrupa tipi)	Avrupa
Tula virüs (TULV)	İnsanlarda RSKA	Kemirici (<i>Microtus arvalis</i>)	Avrupa
Sin Nombre virüs	İnsanlarda HPS	Kemirici (<i>Peromyscus maniculatus</i>)	Kuzey Amerika
Andes virüs (ANDV)	İnsanlarda HPS	Kemirici (<i>Oligoryzomys longicaudatus</i>)	Güney Amerika

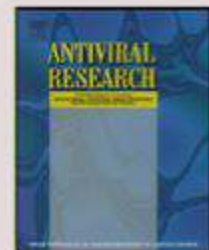


Hantavirüs - Tedavi

- **Destek tedavisi**
 - Hipotansiyon ve şoktan korumak için sıvı elektrolit replasmanı
 - Kanama kontrolü için destek tedavisi (*taze donmuş plazma, trombosit, kan transfüzyonu*)
 - Böbrek yetmezliğinde hemodializ
- **Spesifik Tedavi**
 - Antiviral tedavi
 - İmmünglobülin tedavisi

Hantavirüs - RİBAVİRİN

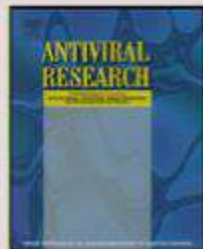
- Çin'de 1985-1987 yılları arasında
 - Randomize, çift kör ve placebo kontrollü bir çalışmada serolojik olarak doğrulanmış 242 RSKA olgusuna
 - **Plasebo veya intravenöz Ribavirin** (*yükleme dozu 33 mg/kg, ilk 4 gün 16 mg/kg her 6 saatte bir, sonraki 3 gün 8 mg/kg her 8 saatte bir*).
- Hastalığın ilk 7 günü içerisinde başlanan İV ribavirin tedavisinin mortaliteyi 7 kat azaltığı saptanmıştır



Experience with intravenous ribavirin in the treatment of hemorrhagic fever with renal syndrome in Korea[☆]

Janice M. Rusnak^{a,*}, William R. Byrne^a, Kyung N. Chung^b, Paul H. Gibbs^c, Theodore T. Kim^b, Ellen F. Boudreau^a, Thomas Cosgriff^a, Philip Pittman^a, Katie Y. Kim^d, Marianne S. Erlichman^e, David F. Rezvani^f, John W. Huggins^g

- **Kore'de yapılan kohort çalışmada 1987-2005 yılları arasında iv Ribavirin alan 33 RSKA olgusu ribavirin tedavisi almayan tarihsel kontroller ile kıyaslanmıştır.**



Experience with intravenous ribavirin in the treatment of hemorrhagic fever with renal syndrome in Korea[☆]

Janice M. Rusnak^{a,*}, William R. Byrne^a, Kyung N. Chung^b, Paul H. Gibbs^c, Theodore T. Kim^b, Ellen F. Boudreau^a, Thomas Cosgriff^a, Philip Pittman^a, Katie Y. Kim^d, Marianne S. Erlichman^e, David F. Rezvani^f, John W. Huggins^g

- Kore'de yapılan kohort çalışmada 1987-2005 yılları arasında iv Ribavirin alan 33 RSKA olgusu ribavirin tedavisi almayan tarihsel kontroller ile kıyaslanmıştır.**

	Tarihsel kontrol	Ribavirin alanlar
Oligüri sikliği	% 39-69	% 3
Hemodiyaliz sikliği	% 40	% 0

Hantavirüs – Ribavirin

- **Avrupa** ülkelerinde RSKA olgularında ribavirin kullanımı konusunda yayın yok.
 - Asya'da etkenler HNTV ve SEOV
 - Avrupa'da etkenler PUVV ve DOBV

Hantavirüs - Ribavirin

- ABD
 - 1999-2001
 - HPS şüpheli olgulara
 - Randomize çift kör **plasebo X iv ribavirin**
 - 24. olguda çalışma sonlandırılıyor
 - Ribavirin etkili değil !!



In Vitro and *In Vivo* Activity of Ribavirin against Andes Virus Infection

David Safronetz¹, Elaine Haddock¹, Friederike Feldmann², Hideki Ebihara¹, Heinz Feldmann^{1,3*}

¹Laboratory of Virology, Division of Intramural Research, National Institute of Allergy and Infectious Diseases, National Institutes of Health, Hamilton, Montana, United States of America, ²Office of Operations and Management, Division of Intramural Research, National Institute of Allergy and Infectious Diseases, National Institutes of Health, Hamilton, Montana, United States of America, ³Department of Medical Microbiology, University of Manitoba, Winnipeg, Manitoba, Canada

- ***In vitro* model**

- ANDV ile enfekte edilen Vero 6 hücre kültürlerine Ribavirin uygulanıyor
- Amaç üremenin inhibisyonunun değerlendirmek

In Vitro and *In Vivo* Activity of Ribavirin against Andes Virus Infection

David Safronetz¹, Elaine Haddock¹, Friederike Feldmann², Hideki Ebihara¹, Heinz Feldmann^{1,3*}

¹Laboratory of Virology, Division of Intramural Research, National Institute of Allergy and Infectious Diseases, National Institutes of Health, Hamilton, Montana, United States of America, ²Office of Operations and Management, Division of Intramural Research, National Institute of Allergy and Infectious Diseases, National Institutes of Health, Hamilton, Montana, United States of America, ³Department of Medical Microbiology, University of Manitoba, Winnipeg, Manitoba, Canada

- **İnvivo (Hamster) modeli**
 - ANDV ile enfekte edilen kobaylara Ribavirin profilaksi (oral veya intarperitoneal) uygulanıyor
- Amaç;
 - Ribavirine ne zaman başlanmalı?
 - Hangi dozda verilmeli
 - Ne kadar sürdürülmeli?

In Vitro and *In Vivo* Activity of Ribavirin against Andes Virus Infection

David Safronetz¹, Elaine Haddock¹, Friederike Feldmann², Hideki Ebihara¹, Heinz Feldmann^{1,3*}

¹Laboratory of Virology, Division of Intramural Research, National Institute of Allergy and Infectious Diseases, National Institutes of Health, Hamilton, Montana, United States of America, ²Office of Operations and Management, Division of Intramural Research, National Institute of Allergy and Infectious Diseases, National Institutes of Health, Hamilton, Montana, United States of America, ³Department of Medical Microbiology, University of Manitoba, Winnipeg, Manitoba, Canada

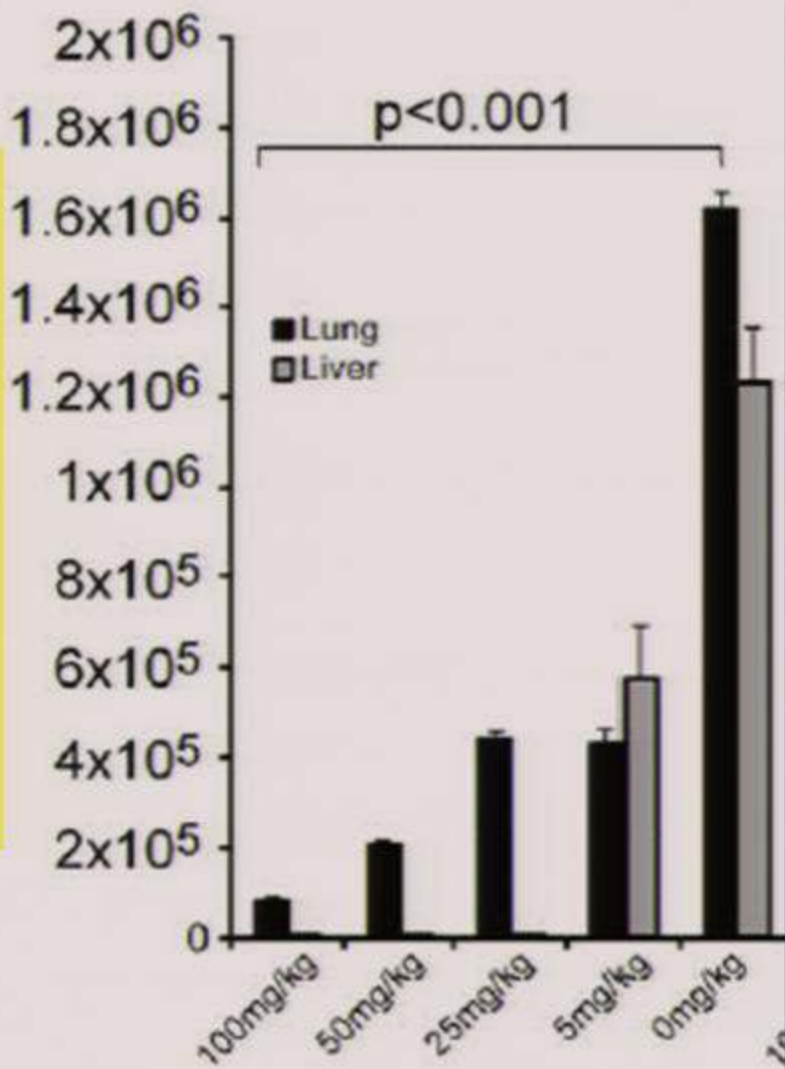
- **İnvivo (Hamster) modeli**

- ANDV ile enfekte edilen kobaylara Ribavirin profilaksi (oral veya intraperitoneal) uygulanıyor

Temas sonrası durum	Sağ kalım oranı
Ribavirin ilk gün başlandı 10 gün verildi (oral veya intraperitoneal)	% 100 sağ kalım, semptom yok
Ribavirin 3. gün başlandı	% 100 sağ kalım
Ribavirin 5. gün başlandı	% 17 Sağ kalım
Ribavirin 7. gün başlandı	% 0 Sağ kalım

B

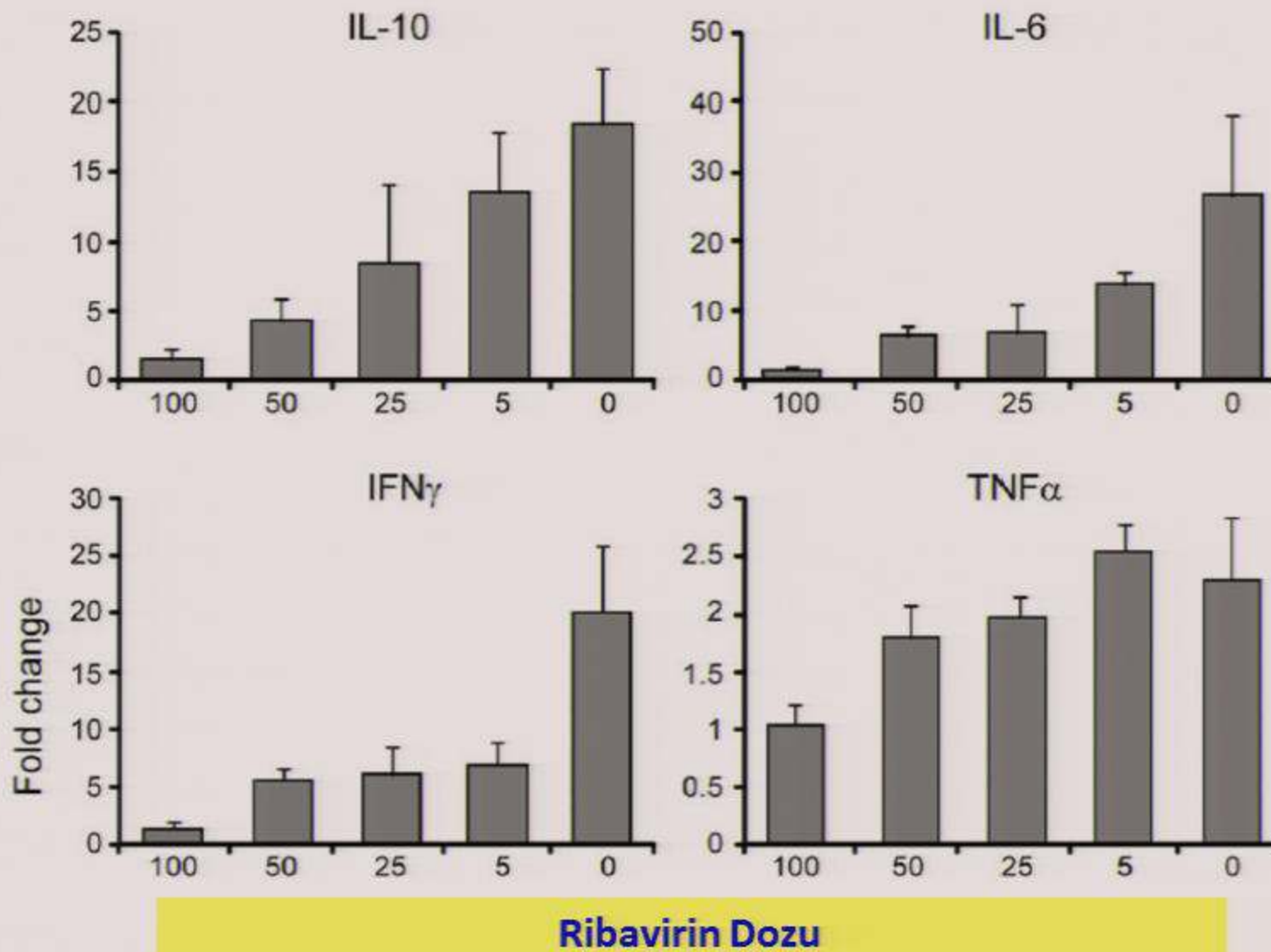
Viral
Yük



Ribavirin etkinliği
doz bağımlı

Ribavirn dozu	Sağ kalım ve Semptom
5 mg/kg	Fatalite yok Hafif enfeksiyon bulguları var
25 mg/kg	
50 mg/kg	
100 mg/kg	Semptom yok

**Sitokin düzeyleri
temas sonrası 8.gün**



Ribavirn dozu	Sağ kalım ve Semptom
5 mg/kg	Fatalite yok Hafif enfeksiyon bulguları var
25 mg/kg	
50 mg/kg	
100 mg/kg	Semptom yok

Hantavirüs – Ribavirin

- **Ribavirinin etki mekanizması ??**
 - İonozin monofosfat dehidrogenaz (IMPDH) enzim inhibisyonu.
 - Viral RNA polimeraz inhibisyonu
 - Ölümçül RNA mutasyonuna yol açmak

Vero E6 hücre kültüründe ANDV'e karşı Ribavirin etkinliği

Table 1. Qualitative assessment of antiviral activity in a novel comet assay *.

Concentration	Day 4	Day 5	Day 6	Day 7	Day 8	Day 9	Day 10
ANDV alone	-	+++	+++	+++	+++	+++	+++
10 µg/mL	-	-	-	++	++	++	++
20 µg/mL	-	-	-	+	+	++	++
30 µg/mL	-	-	-	-	-	+	+
40 µg/mL	-	-	-	-	-	-	-
50 µg/mL	-	-	-	-	-	-	-
60 µg/mL	-	-	-	-	-	-	-
70 µg/mL	-	-	-	-	-	-	-

* -, no comets formed; +, few comets formed; ++, comets formed not equal to ANDV; +++, comets equal to ANDV alone.

ANDV ile enfekte edilen Suriye (Syrian) hamsterlerinde Ribavirin etkinliği

- Hamsterler intranasal yolla ANDV ile enfekte ediliyor.
- Temas sonrası ilk günden itibaren 21 gün süreyle **Ribavirin** veriliyor (*günde iki kez intraperitoneal*)
- Temas sonrası 35 gün izlem



ANDV ile Enfekte Edildi		
Günlük Ribavirin dozu	Uygulama süresi	
50 mg/kg	21 gün süreyle	
100 mg/kg	21 gün süreyle	
200 mg/kg	21 gün süreyle	5. Günde toksisite belirtileri
Plasebo verildi	21 gün süreyle	

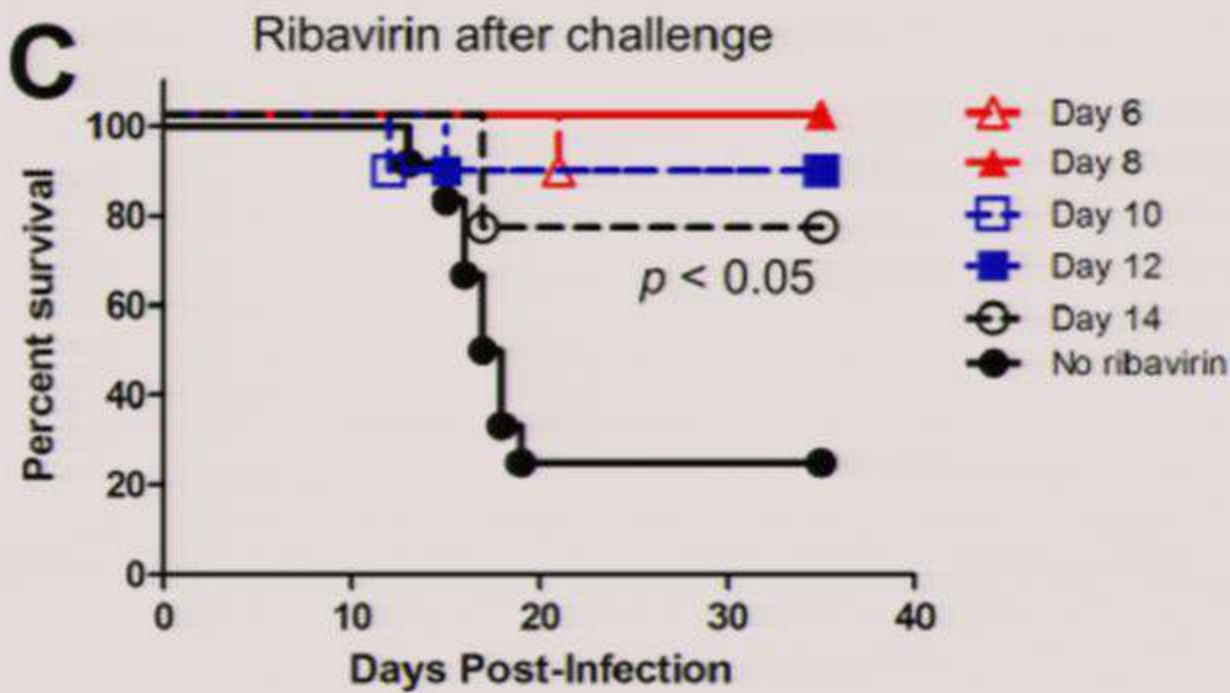
Enfekte EDİLMEYEN Kontrol Grubu		
Günlük Ribavirin dozu	Uygulama süresi	
50 mg/kg	21 gün süreyle	
100 mg/kg	21 gün süreyle	
200 mg/kg	21 gün süreyle	5. Günde toksisite belirtileri
Plasebo verildi	21 gün süreyle	

ANDV ile Enfekte Edildi			
Günlük Ribavirin dozu	Uygulama süresi		
50 mg/kg	21 gün süreyle	Semptom yok	P=0,02
100 mg/kg	21 gün süreyle	Semptom yok	P=0,03
Plasebo verildi	21 gün süreyle	Letal HPS gelişti (12-24 gün içerisinde)	

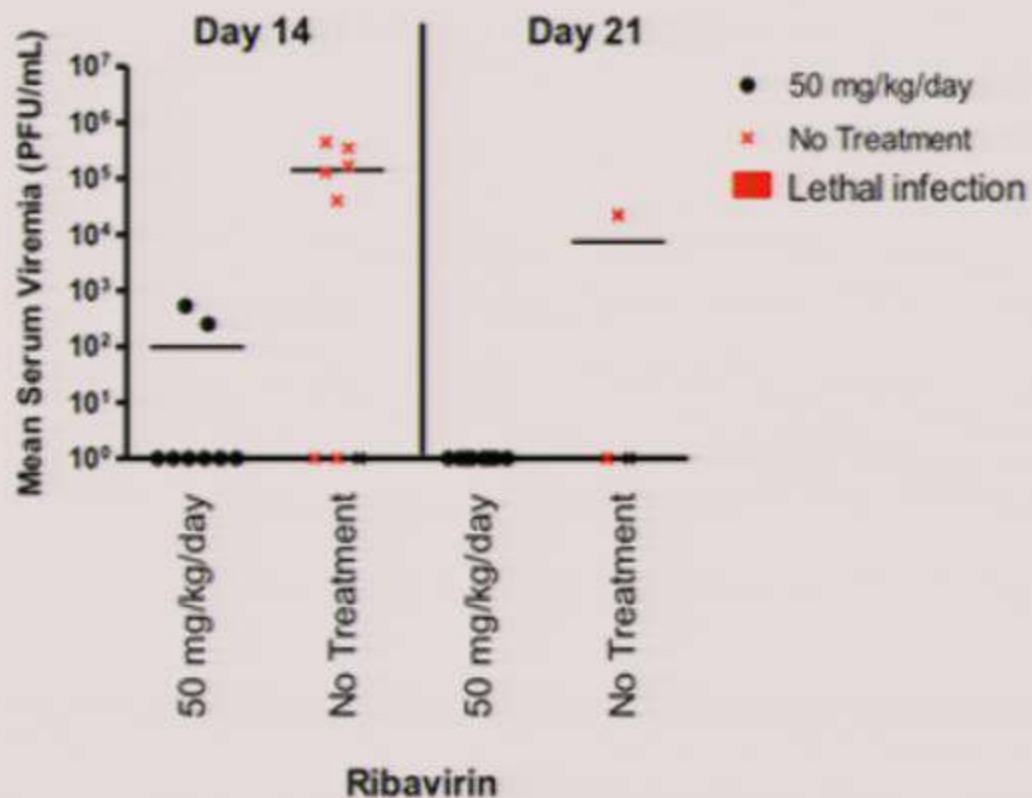
Enfekte EDİLMEYEN Kontrol Grubu (RİBAVİRİN YAN ETKİ ?)

Günlük Ribavirin dozu	Uygulama süresi	
50 mg/kg	21 gün süreyle	Semptom yok
100 mg/kg	21 gün süreyle	Semptom yok
Plasebo verildi	21 gün süreyle	Semptom yok

- Diğer bir grupta **Ribavirin 50 mg/kg/gün** dozunda temas sonrası **6, 8, 10, 12** ve **14.** günlerde başlanıyor.
- Ribavirin alan grupta fatalite daha az

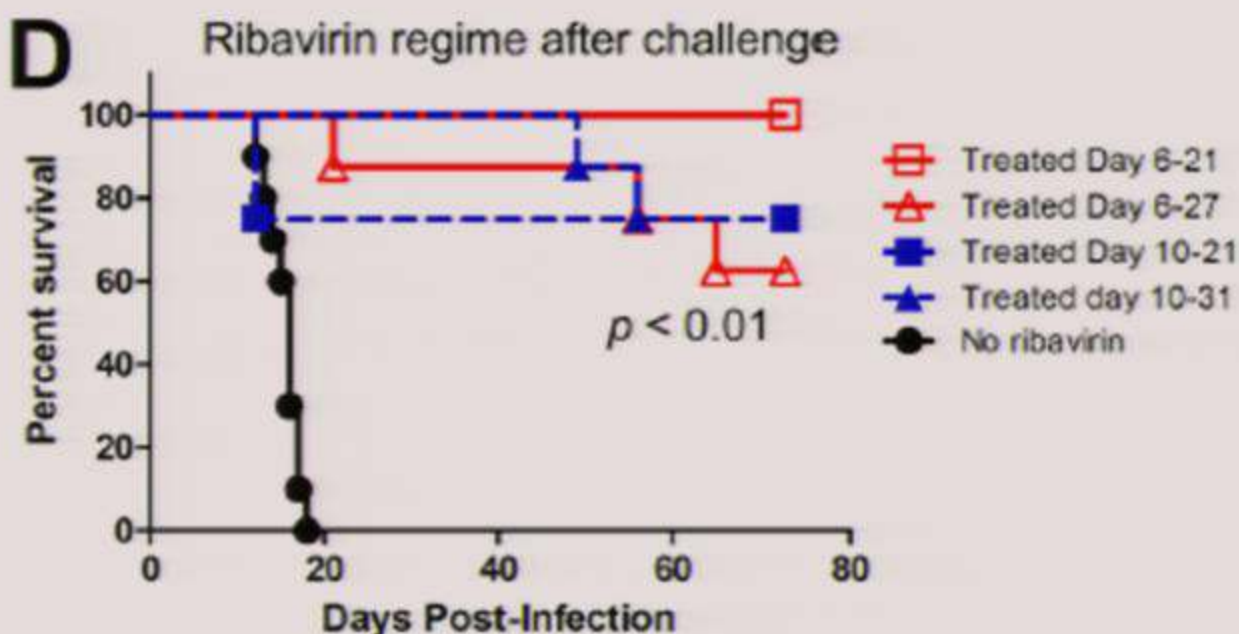


- Temas sonrası 14. ve 21. günlerde hamsterlerden serum alınıyor ve viral yük inceleniyor.
 - 100 mg/kg/gün Ribavirin alanlarda virüs negatif
 - 50 mg/kg/gün Ribavirin alanlarda



“Erken” veya “Geç” Ribavirin tedavisi

- Temas sonrası **6. veya 10. günde** Ribavirin başlanıyor.
- Kısa (14 gün) veya uzun (21 gün) veriliyor.
- Ribavirin alan grupta sağ kalım daha fazla.



Çalışmanın sonucu

- Temas sonrası 35. günde tüm hamsterlerin serumunda ANDV'e karşı antikor pozitifti. *Tüm hamsterlerde ANDV enfeksiyonu gelişti*
- ANDV ile temastan sonraki **ilk 10 gün** içerisinde başlanan Ribavirin (50mg/kg/gün) HPS gelişimini engelledi
- Hamsterlerde ilk semptomlar yaklaşık **15-16 günde** görüldü
- Ölüm ortalama **18. günde** gelişti
- *Ribavirin temas sonrasında en geç 10 gün içerisinde başlanmalı ve en az 11 gün sürdürülmelidir.*

Antiviral Efficacy of Favipiravir against Two Prominent Etiological Agents of Hantavirus Pulmonary Syndrome

David Safronetz,^a Darryl Falzarano,^a Dana P. Scott,^b Yousuke Furuta,^c Heinz Feldmann,^a Brian B. Gowen^d

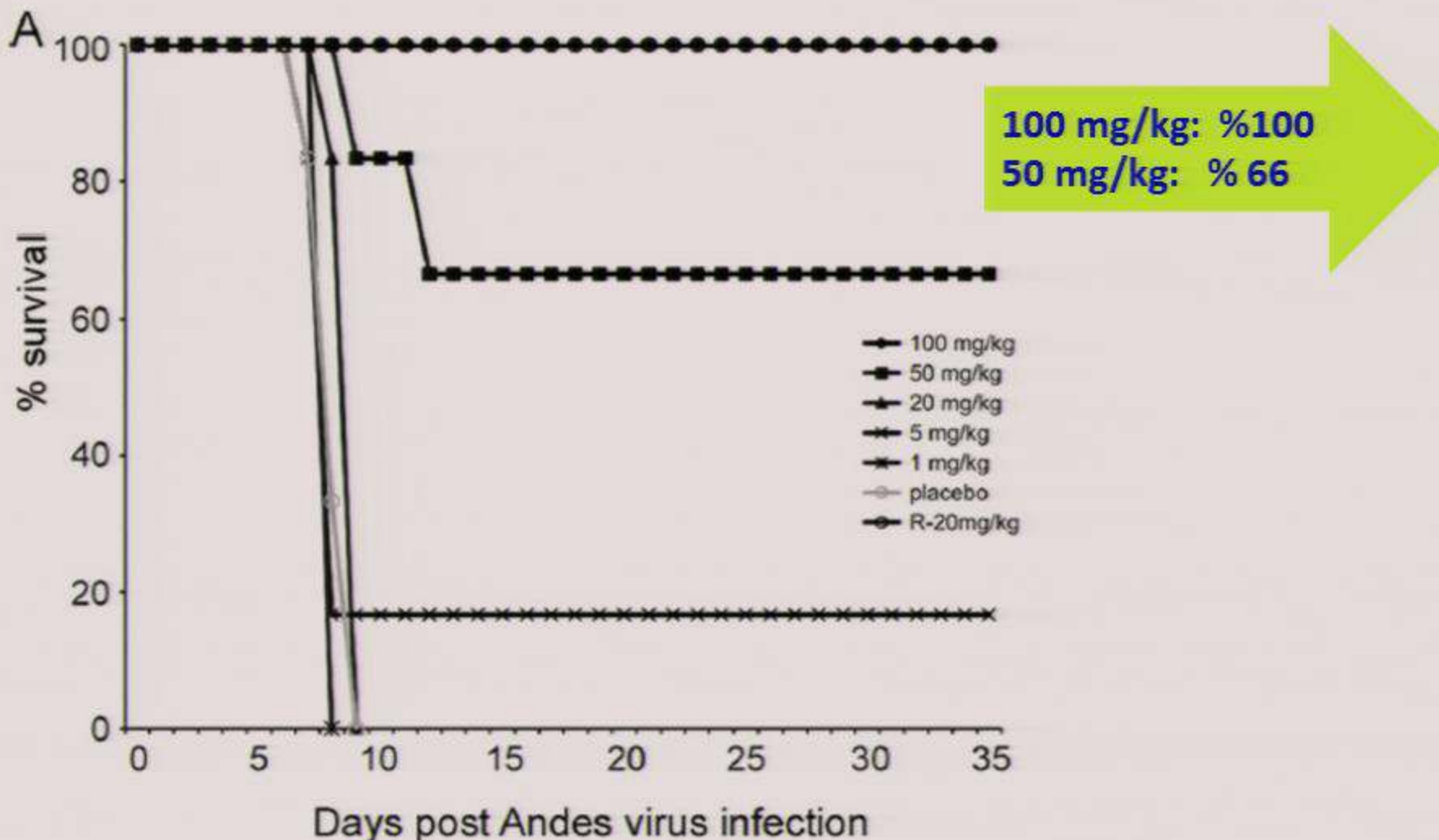
Laboratory of Virology^a and Rocky Mountain Veterinary Branch, Division of Intramural Research,^b National Institute of Allergy and Infectious Diseases, National Institutes of Health, Hamilton, Montana, USA; T-705 Project, Toyama Chemical Company, Ltd, Tokyo, Japan^c; Department of Animal, Dairy, and Veterinary Sciences, Utah State University, Logan, Utah, USA^d

- 4-6 haftalık Suriye hamsteri.
- İtra-peritoneal yoldan
 - **Andes virus (ANDV)** veya
 - **SinNombre virüs (SNV)** inoküle ediliyor.
- Favipiravir virüs inokülasyonundan **1 gün sonra** oral yoldan (günde iki kez) **14 gün süreyle** veriliyor



ANDV – Favipiravir

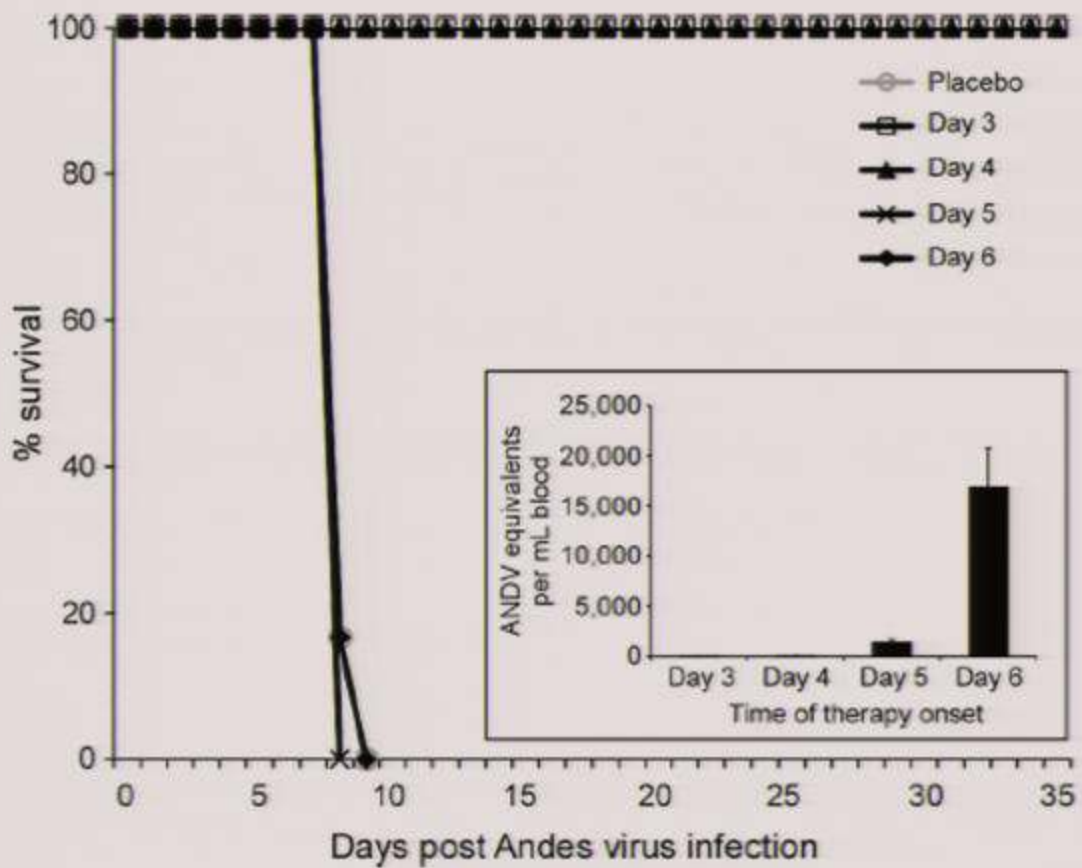
Sağ kalım



İnokülyondan 8 gün sonra kanda viral yük



“Geç” başlanan Favipiravir - ANDV



İlk 4 gün içerisinde
başlanılan Favipiravir
fataliteyi önlüyor.

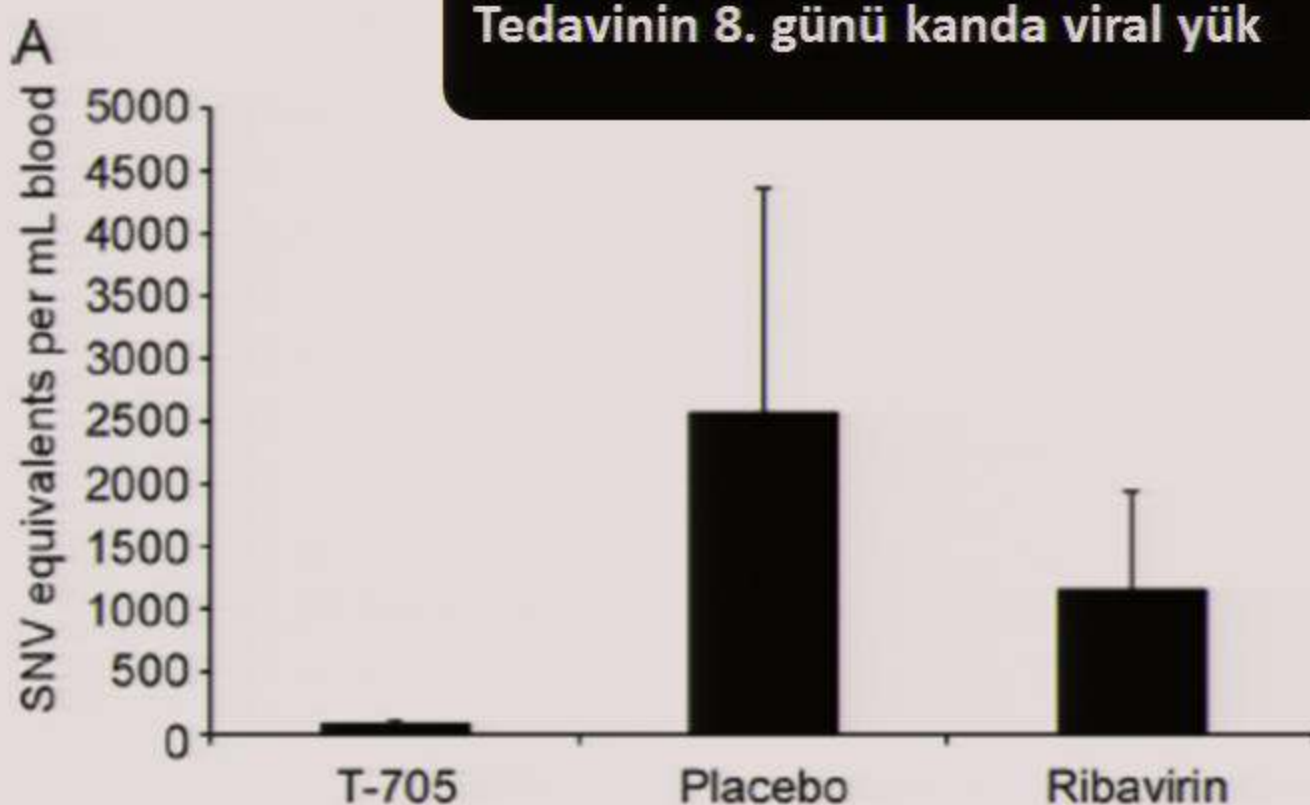
İnokülasyondan
6-7 gün sonra solunum sıkıntısı,
9 gün sonra ölüm

FIG 4 Efficacy of delayed T-705 therapy. Five groups of 6 hamsters were infected with a lethal dose of Andes virus. On each of days 3, 4, 5, and 6 postinfection, T-705 therapy (a 300-mg/kg loading dose, followed by daily treatment with 200 mg/kg) was initiated for a single group of animals. The fifth

SNV

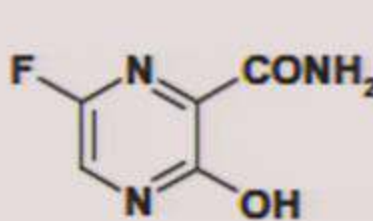
Favipiravir X Ribavirin

- Favipiravir 100 mg/kg/gün
- Ribavirin 20 mg/kg/gün !!!

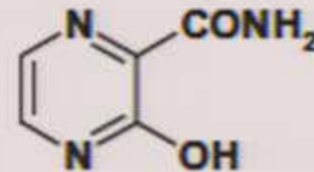


Favipiravir (T-705)

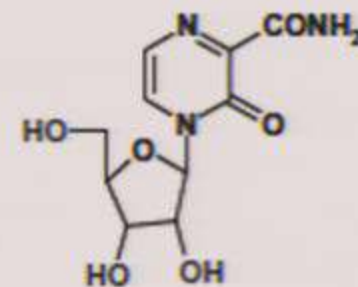
- İnfluenza için geliştirilen bir ilaç.
- Kimyasal yapı .
 - *6-fluoro-3-hydroxy-2-pyrazinecarboxamide*
(C5H4FN3O2)



Favipiravir (T-705)



T-1105



T-1106

Fig. 1. Chemical structure of favipiravir (T-705), T-1105 and T-1106.

Favipiravir (T-705)

- **Etki mekanizması**
 - Viral RNA polimerazı inhibe eder
 - Konak hücresindeki DNA veya RNA polimeraza etkili değil
- İnfluenza için dünya genelinde 1400 kişide denendi. Tolerans iyi.
- Japonya Faz 3 çalışması tamamlandı
- ABD'de Faz 2 çalışmaları sürüyor.

Favipiravir

- **İn vitro etkili olduğu virüsler:**
 - *Junin virus,*
 - *Rift Valley Fever virus,*
 - *Yellow fever virus,*
 - *West Nile virus,*
 - *Western equine encephalitis virus,*
 - *Foot-and-mouth disease virus,*
 - *Norovirus*

Broad Spectrum Antiviral Activity of Favipiravir (T-705):
Protection from Highly Lethal Inhalational Rift Valley
Fever

Amy L. Caroline¹, Diana S. Powell¹, Laura M. Bethel¹, Tim D. Oury², Douglas S. Reed^{1,3},
Amy L. Hartman^{1,4*}



An aerial photograph of a coastal town, likely Alanya, Turkey. The town is built on a rocky peninsula that extends into the Mediterranean Sea. The buildings are mostly white with red roofs, typical of the region. The town is surrounded by lush green hills. In the foreground, there is a rocky shore with some small buildings and a parking area. The water is a deep blue.

Teşekkürler...